

ISSN 0002-3078

АЗЕРБАЙДЖАНССР ЕЛМЛӘР АНАДЕМИЯСЫ  
АДЕМИЯНАУК АЗЕРБАЙДЖАНСКОЙ ССР

# МӘРҮЗӘЛӘР ДОКЛАДЫ

том XL чилд

1984.12

АзМН

ДАН Азерб. ССР публикует краткие сообщения об оригинальных, нигде не печатанных ранее, результатах научных исследований, представленные академиками АН Азерб. ССР, которые тем самым берут на себя ответственность за научные достоинства представляемой статьи.

В «Докладах» не публикуются крупные статьи, механически разделенные на ряд отдельных сообщений, статьи полемического характера, без новых фактических сообщений, статьи полемического характера, без новых фактических данных, статьи с описанием промежуточных опытов, без определенных выводов и обобщений, чисто методические статьи, если предлагаемый метод не является принципиально новым, а также статьи по систематике растений и животных (за исключением описания особо интересных для науки находок).

Будучи органом срочной информации, журнал «ДАН Азерб. ССР» принимает и отбирает к печати статьи, объем которых допускает их публикацию в установленные решением Президиума АН Азерб. ССР сроки.

В связи со всеми перечисленными ограничениями отклонение статьи редакцией «Доклады АН Азерб. ССР» означает только, что она не согласуется с требованиями и возможностями этого журнала и не исключает ее публикации в других изданиях.

#### ПРАВИЛА ДЛЯ АВТОРОВ

Редакция журнала «Доклады АН Азерб. ССР» просит авторов руководствоваться приведенными правилами и надеется, что авторы ознакомятся с ними прежде, чем пришлют статью в редакцию.

Статьи, присланные без соблюдения этих правил, к рассмотрению не принимаются.

1. Статьи, направляемые в редакцию, должны иметь представление члена АН СССР или академика АН Азерб. ССР, если оно требуется (см. выше).

Статьи с просьбой направить их на представление редакцией не принимаются.

2. Статья публикуется по мере поступления. Единственным поводом для внеочередной публикации является исключительная важность сообщения и соображения приоритета. Для этого необходимо специальное решение редколлегии.

3. Как правило, редакция направляет представленные статьи на рецензию.

4. «Доклады» помещают не более трех статей одного автора в год. Это правило не распространяется на членов АН СССР, академиков Академии наук Азерб. ССР.

5. Авторы должны определить раздел, в который следует поместить статью, а также дать индекс статьи по Универсальной десятичной классификации (УДК). К статье прилагается отпечатанный на машинке реферат в двух экземплярах, предназначенный для передачи в один из реферативных журналов ВИНИТИ.

6. В конце статьи нужно указать полное название учреждения, в котором выполнено исследование, фамилии всех авторов а также полный почтовый адрес и номер телефона (служебный и домашний) каждого соавтора.

Кроме того, авторский коллектив должен указать лицо, с которым редакция будет вести переговоры и переписку.

7. Возвращение рукописи автору на доработку не означает, что статья принятая к печати. После получения доработанного текста рукопись вновь рассматривается редакцией. Доработанный текст автор должен вернуть вместе с первоначальным экземпляром статьи, а также ответом на все замечания. Датой поступления считается день получения редакцией окончательного варианта статьи.

8. В «Докладах» публикуются статьи, занимающие не более  $\frac{1}{4}$  авторского листа (6 страниц машинописи). В этот объем входят текст, таблицы, библиография (не больше 15 источников) и рисунки, число которых не должно превышать четырех, включая и обозначения «а», «б» и т. д. в том числе вклейки на мелованной бумаге. Вклейки даются только для микрофотографий большого увеличения. Штриховые рисунки (карты, схемы и т. п.) на вклейках не печатаются, а даются на кальке. Текст и графический материал представляются в двух экземплярах. Повторение одних и тех же данных в тексте, таблицах и графиках недопустимо. Рисунки должны быть выполнены четко, в формате, обеспечивающем ясность передачи всех деталей. Фотографии представляются на глянцевой бумаге. Подпись к рисункам должны быть напечатаны в 2-х экземплярах через два интервала на отдельной странице. На обороте рисунков мягким карандашом указываются фамилии авторов, название статьи и номер рисунка.

(Продолжение на третьей странице обложки)

АЗЭРБАЙЧАН ССР ЕАМЛЭР АКАДЕМИЈАСЫ  
АКАДЕМИЯ НАУК АЗЕРБАЙДЖАНСКОЙ ССР

# МЭРҮЗЭЛЭР ДОКЛАДЫ

ТОМ XL ЧИЛД

№ 12

## РЕДАКЦИОННАЯ КОЛЛЁГИЯ:

Э. Ю. Салаев (главный редактор), Г. Б. Абдуллаев, М. Т. Абасов,  
 Ах. А. Ализаде (зам. главного редактора), В. С. Алиев, Г. А. Алиев,  
 Дж. А. Алиев, И. Г. Алиев, Дж. Б. Гулиев, И. А. Гулиев,  
 М. З. Джафаров, Ф. Г. Максудов, А. А. Надиров,  
 Ю. М. Сенцов (зам. главного редактора),  
 М. А. Усейнов, Г. Г. Зейналов (ответств. секретарь).

УДК 517.51:519.5

МАТЕМАТИКА

Р. О. ЭФЕНДИЕВ

ОБ УСЛОВИЯХ СХОДИМОСТИ ЛИНЕЙНЫХ ОПЕРАТОРОВ  
К ПРОИЗВОДНЫМ

(Представлено академиком АН Азербайджанской ССР И. И. Ибрагимовым)

Пусть  $K$ —фиксированное целое неотрицательное число. Будем придерживаться следующих обозначений:  $R$ —вся вещественная ось,  $C_R^{(k)}$ —множество  $k$  раз непрерывно дифференцируемых на  $R$  функций,  $M_R^{(k)}$ —класс линейных операторов, переводящих выпуклые  $(k-1)$ -го порядка на  $R^1$  функции в неотрицательные,  $\rho(x)$ —такая непрерывная на  $R$  функция, что  $\rho(x)=1$ ,  $\rho(x) \uparrow$  на  $R_+$ ,  $\rho(x) \downarrow$  на  $R_-$ ,  $\lim_{x \rightarrow \pm\infty} \rho(x) = +\infty$ .

Введем следующие классы функций:

$$C_p^{(k)} = \{f \in C_R^{(k)} \mid |f^{(k)}(x)| < m_f \rho(x)\},$$

где  $m_f$ —постоянная, своя для каждой функции  $f(x)$ ,

$$\widetilde{C}_p^{(k)} = \left\{ f \in C_p^{(k)} \mid \exists \lim_{x \rightarrow \pm\infty} \frac{f^{(k)}(x)}{\rho(x)} = l_f \right\},$$

$$\widehat{C}_p^{(k)} = \{f \in \widetilde{C}_p^{(k)} \mid l_f = 0\},$$

$$B_p = \{g : R \rightarrow R \mid |g(x)| < m_g \rho(x)\},$$

где  $m_g$ —постоянная, своя для каждой функции  $g(x)$ . Ясно, что введением нормы  $\|g\|_{B_p} = \sup_{x \in R} \frac{|g(x)|}{\rho(x)}$   $B_p$  превращается в линейное норми-

рованное пространство. Для удобства вместо  $C_p^{(0)}$ ,  $\widetilde{C}_p^{(0)}$ ,  $\widehat{C}_p^{(0)}$  будем писать просто  $C_p$ ,  $\widetilde{C}_p$ ,  $\widehat{C}_p$ . Отметим, что класс операторов  $M_R^{(0)}$  совпадает с классом линейных положительных операторов (л. п. о.). Справедливы следующие утверждения.

Теорема 1. Пусть система трех  $k$  раз непрерывно дифференцируемых на  $R$  функций  $\{f_i(x)\}_{i=1}^3$  такова, что

$$\{f_i^{(r)}(x)\}_{i=1}^r \quad (r = 2, 3) - T\text{-системы}^3 \text{ на } R, \quad (1)$$

$$\lim_{x \rightarrow \pm\infty} \frac{f_i^{(r)}(x)}{1 + |f_3^{(r)}(x)|} = 0, \quad i = 1, 2, \quad (2)$$

$$\lim_{x \rightarrow \pm\infty} \frac{f_3^{(r)}(x)}{\rho(x)} = m_{t_r} \neq 0, \quad (3)$$

<sup>1</sup> Функцию называют выпуклой  $(k-1)$ -го порядка на некотором множестве, если на этом множестве  $f^{(k)}(x) > 0$  (см., напр., [9,10]).

<sup>2</sup> Определение  $T$ -системы см., например, в [1-3].

Если для последовательности  $L_n(C_p^{(k)} \rightarrow B_p)$  операторов класса  $M_R^{(k)}$  выполнены условия

$$\lim_{n \rightarrow \infty} \|L_n(f_i(t); x) - f_i^{(k)}(x)\|_{B_p} = 0, \quad i = 1, 2, 3, \quad (4)$$

то соотношение

$$\lim_{n \rightarrow \infty} \|L_n(f(t); x) - f^{(k)}(x)\|_{B_p} = 0 \quad (5)$$

будет справедливо для  $\forall f(x) \in \bar{C}_p^{(k)}$ .

Теорема 2. В условиях теоремы 1 для  $\forall f(x) \in C_p^{(k)}$  соотношение (5), вообще говоря, не будет иметь места.

Сначала мы покажем, что теоремы 1, 2 справедливы при  $k=0$ . Для этого нам понадобятся две вспомогательные леммы.

Лемма 1. Если выполнены условия теоремы 1 при  $k=0$ , то для любых конечных  $a$  и  $b$  соотношение  $\lim_{n \rightarrow \infty} \|L_n(f(t); x) - f(x)\|_{B_p, [a, b]} = 0$ ,

где  $\|\cdot\|_{B_p, [a, b]}$  означает, что  $\sup$  в норме берется по  $x \in [a, b]$ , будет справедливо для  $\forall f(x) \in C_p$ .

Доказывается эта лемма известным методом П. П. Коровкина [1] и [8]. Ввиду громоздкости опускаем это доказательство.

Лемма 2. Если  $\{f_i(x)\}_{i=1}^2$  —  $T$ -система на  $R$ , то для  $\forall a \in R$ , удовлетворяющего условию  $f_i(a) \neq 0$ ,  $i = 1, 2$ , существует полином

$$\Phi(x) = \sum_{i=1}^2 a_i f_i(x), \quad \Phi(a) = 0, \quad \Phi(x) > 0 \text{ при } x < a.$$

Доказательство. Рассмотрим функцию  $F(x) = \frac{f_2(a)}{f_1(a)} f_1(x) - f_2(x)$ . Ясно, что  $F(a) = 0$ . Поскольку  $\{f_i(x)\}_{i=1}^2$  —  $T$ -система на  $R$ , то других корней  $F(x)$  не имеет. Поэтому полином

$$\Phi(x) = \begin{cases} F(x), & \text{если } F(x) > 0 \text{ при } x < a, \\ -F(x), & \text{если } F(x) < 0 \text{ при } x < a, \end{cases}$$

будет искомым.

Доказательство теоремы 1 ( $k=0$ ). Пусть  $f(x) \in \bar{C}_p$ . Тогда в силу (2), (3) для  $\forall \epsilon > 0$ ,  $\exists x_1 > 0$ , что для  $\forall x$ ,  $|x| > x_1$ , справедливы соотношения

$$|f(x)| < \epsilon p(x), \quad (6)$$

$$|f_i(x)| < \epsilon p(x), \quad i = 1, 2, \quad (7)$$

$$p(x) < s_0 f_3(x), \quad (8)$$

где  $s_0$  — некоторая постоянная. Очевидно, что

$$\begin{aligned} \|L_n(f(t); x) - f(x)\|_{B_p} &< \|L_n(f(t); x) - f(x)\|_{B_p, [-x_1, x_1]} + \\ &+ \sup_{|x| > x_1} \frac{|L_n(f(t); x)|}{p(x)} + \sup_{|x| > x_1} \frac{|f(x)|}{p(x)}. \end{aligned}$$

Первое слагаемое справа стремится к нулю по лемме 1, а третье меньше  $\epsilon$  в силу (6). Для оценки второго слагаемого в силу (6) и (8) заметим, что

$$|f(x)| < \frac{M(x_1)}{d_\Phi(x_1)} \Phi(x) + \epsilon s_0 f_3(x), \quad x \in R,$$

где полином  $\Phi(x) = \sum_{i=1}^2 a_i f_i(x)$  для  $a > x_1$  из леммы 2,  $d_\Phi(x_1) = \min_{x \in [-x_1, x_1]} d_\Phi(x)$

$\Phi(x), M(x_1) = \max_{x \in [-x_1, x_1]} |f(x)|$ . Тогда

$$\begin{aligned} \sup_{|x| > x_1} \frac{|L_n(f(t); x)|}{p(x)} &\leq \frac{M(x_1)}{d_\Phi(x_1)} \sum_{i=1}^2 a_i \|L_n(f_i(t); x) - f_i(x)\|_{B_p} + \\ &+ \frac{M(x_1)}{d_\Phi(x_1)} \sum_{i=1}^2 a_i \sup_{|x| > x_1} \frac{|f_i(x)|}{p(x)} + \epsilon s_0 \|L_n(f_3(t); x) - f_3(x)\|_{B_p}. \end{aligned}$$

Если в последнем неравенстве учсть (3), (4), (7), то соотношение (5) для  $\forall f(x) \in \bar{C}_p$  будет доказано. Если  $f(x)$  — произвольная функция из  $\bar{C}_p$ , то достаточно рассмотреть функцию  $D(x) = m_1 f(x) - l_1 f_3(x)$ .

Доказательство теоремы 2 ( $k=0$ ). В силу (3)  $\lim_{x \rightarrow \pm\infty} |f_3(x)| = +\infty$ . Поэтому  $\exists x_0 > 0$ , что для  $\forall x \geq x_0$ ,  $f_3(x)$  сохраняет постоянный знак, не обращаясь в нуль. Определим последовательность операторов  $L_n$  по формуле

$$L_n(f(t); x) = \begin{cases} f(x) + \frac{p(x)}{p(x_0 + n + 1)} l(f(t); x), & x \in [x_0, x_0 + n], \\ f(x), & x \in [x_0, x_0 + n], \end{cases}$$

где  $l(f(t); x) = \frac{f_3(x)}{f_3(x+1)} f(x+1) - f(x)$ . Очевидно, что операторы

построенной последовательности, которая удовлетворяет условиям (4), являются л. п. о. и действуют из  $C_p$  в  $B_p$ . Однако для функции  $f_*(x) = \frac{1}{2m_1} f_3(x) \cos(x - x_0)$  пространства  $C_p$  имеем

$$\begin{aligned} \|L_n(f_*(t); x) - f_*(x)\|_{B_p} &\geq \sup_{x \in [x_0, x_0 + n]} \frac{|l(f_*(t); x)|}{p(x_0 + n + 1)} > \\ &> \frac{|l(f_*(t); x_0 + n)|}{p(x_0 + n + 1)} = \frac{1}{|m_1|} \frac{|f_3(x_0 + n)|}{p(x_0 + n + 1)}, \end{aligned}$$

что вместе с (3) завершает доказательство теоремы 2.

Отметим, что в двух вышеизложенных доказательствах мы использовали метод А. Д. Гаджиева [4—7].

Доказательство теорем 1, 2 ( $k > 1$ ). Факторизуем пространство  $C_p^{(k)}$  следующим образом. Две функции  $f, g \in C_p^{(k)}$  будем называть эквивалентными, если  $f^{(k)}(x) = g^{(k)}(x)$ . Разобьем  $C_p^{(k)}$  на классы, относя в один класс эквивалентные между собой функции. Класс эквивалентности функции  $f(x)$  будем обозначать  $[f]$ . Теперь можно написать равенство

$$[f] = \partial^{-k} \partial^k f,$$

где  $\partial^k$  — оператор взятия  $k$ -й производной, а  $\partial^{-k}$  — обратный ему оператор, действующий из множества  $k$ -х производных функций из  $C_p$  в множество классов эквивалентности  $[C_p^{(k)}]$ . Имеем

$$L_n[f] = L_n \partial^{-k} \partial^k f = L_n^* f,$$

где  $f^{(k)}(x) = \varphi(x) \in C_p$ , а операторы  $L_n^* = L_n \partial^{-k}$  как операторы, определенные на множестве  $\kappa$ -х производных функций из  $C_p^{(\kappa)}$  (или что тоже на множестве  $C_p$ ), действуют в  $B_p$  и являются л. п. о. Действительно, если  $\varphi(x) > 0$ , т. е.  $f^{(k)}(x) > 0$ , то в силу принадлежности операторов  $L_n$  классу  $M_R^{(k)}$   $L_n[f] \geq 0$ , т. е.  $L_n^* \varphi \geq 0$ . Теперь если положить  $\varphi_i(x) = f_i^{(k)}(x)$ ,  $i = 1, 2, 3$ , то условия (4) записутся так:

$$0 = \lim_{n \rightarrow \infty} \|L_n[f_i] - f_i^{(k)}(x)\|_{B_p} = \lim_{n \rightarrow \infty} \|L_n^* \varphi_i - \varphi_i\|_{B_p}.$$

Очевидно, что теоремы 1, 2 при  $\kappa \geq 1$  сведены к уже доказанному частному случаю, когда  $\kappa = 0$ .

В заключение приведем еще одну, почти очевидную теорему.

**Теорема 3.** Если выполнены условия теоремы 1, то для  $\forall f \in C_p^{(\kappa)}$  справедливо соотношение

$$\lim_{n \rightarrow \infty} \|L_n(f(t); (x) - f^{(k)}(x))\|_{B_{p_1}} = 0,$$

если только  $\lim_{x \rightarrow \pm\infty} \frac{p(x)}{p_1(x)} = 0$ .

#### Литература

1. Коровкин П. П. Линейные операторы и теория приближений. — М.: Физматгиз, 1959.
2. Крейн М. Г., Нудельман А. А. Проблема моментов Маркова и экстремальные задачи. — М.: Наука, 1973.
3. Карлин С., Стадден В. Чебышевские системы и их применение в анализе и статистике. — М.: Наука, 1976.
4. Гаджиев А. Д. — Докл. АН СССР, 1974, т. 218, № 5, с. 1001—1004.
5. Гаджиев А. Д. — Матем. заметки, 1976, т. 20, вып. 5, с. 781—786.
6. Гаджиев А. Д. — Изв. АН АзССР. Сер. физ.-техн. и матем. наук, 1975, № 5, с. 41—45.
7. Гаджиев А. Д. — В сб.: Современные проблемы теории функций. Баку, 1980, с. 104—108.
8. Ермаков П. В. — В сб.: Исследования по современным проблемам конструктивной теории функций. Баку, 1965, с. 146—151.
9. Кудрявцев Г. И.: Тр./Калинин. гос. пед. ин-т, 1970, вып. 1, с. 122—126.
10. Popoviciu T. Sur l'approximation des fonctions convexes d'ordre supérieur. — Mathematica, cluj, 1935, 10, 49—54.

Институт математики и механики  
АН АзССР

Поступило 20. IV 1982

Р. О. Эфендиев

#### ХЭТТИ ОПЕРАТОРЛАРЫН ТӨРӘМӘЈЕ ЙЫГЫЛМАСЫ ШӘРТЛӘРИ ҺАГГЫНДА

Мәгәләдә чәкили фәзаларда хэтти операторларын төрәмәје йығылмасы һагында өзөвлөлөр тә'жүн едилмиш йығылма шәртләри үмумиләшдирилмишdir.

R. O. Efendiev

#### ON THE CONVERGENCE CONDITIONS OF LINEAR OPERATORS TO THEIR DERIVATIVES

The results obtained earlier by the author are generalized to the convergence of linear operators to their derivatives in the norm of linear weighted functional spaces.

В. Б. ШАХМУРОВ

#### ТЕОРЕМЫ О НЕПРЕРЫВНОСТИ И КОМПАКТНОСТИ ОПЕРАТОРА ВЛОЖЕНИЯ В АБСТРАКТНЫХ АНИЗОТРОПНЫХ ПРОСТРАНСТВАХ

(Представлено академиком АН Азербайджанской ССР И. И. Ибрагимовым)

Теоремы вложения в анизотропных пространствах довольно широко изучены в работе [1], в абстрактных пространствах типа С. Л. Соболева — в [2—10].

В данной статье доказываются теоремы о непрерывности и компактности вложения в абстрактных анизотропных пространствах, которые возникают при исследовании теорий краевых задач для дифференциально-операторных уравнений в частных производных.

Введем некоторые определения.

**Определение 1.** Оператор  $A$  называется позитивным в банаховом пространстве  $E$ , если  $\overline{D(A)} = E$  и  $\|(A+S)^{-1}\|_{B(E)} \leq M(1+S)^{-1}$ ,  $S \geq 0$ , где  $B(E)$  — класс линейных ограниченных операторов, действующих из  $E$  в  $E$ . Известно, что существуют дробные степени оператора  $A$ .

**Определение 2.** Через  $L_p(\Omega; E)$  обозначим пространство функций  $f$  со значениями из  $E$  с нормой

$$\|f\|_{L_p(\Omega; E)}^p = \int \|\bar{f}(x)\|_E^p dx < \infty, \quad \Omega \subset R^n, \quad 1 < p < \infty.$$

Пусть  $E_0$  и  $E$  — банаховы пространства и  $E_0$  непрерывно и плотно вложено в  $E$ .

**Определение 3.**  $W_p^1(\Omega; E_0, E) = \{f; f \in L_p(\Omega; E_0), D_x^{1_k} f = \frac{\partial^{1_k} f}{\partial x^{1_k}} \in L_p(\Omega; E), \|f\|_{W_p^1(\Omega; E_0, E)}^p = \|f\|_{L_p(\Omega; E_0)} + \sum_{k=1}^n \|D_x^{1_k} f\|_{L_p(\Omega; E)}^p < \infty\}$ .

**Определение 4.**  $E(A^\theta) = \{u; u \in D(A^\theta), \|u\|_{E(A^\theta)}^2 = \|A^\theta u\|_E^2 + \|u\|_E^2 < \infty\}$ . Через  $[E_0, E]_\theta$ ,  $0 < \theta < 1$ , и  $[E_0, E]_0^1$ ,  $0 < \theta < 1$ , обозначим интерполяционные пространства между  $E_0$  и  $E$ , определенные соответственно в [2] и [3].

**Лемма 1.** Пусть  $\Omega \subset R^n$  — область, удовлетворяющая сильному условию 1-го рода, т. е.  $\Omega \subset \bar{A}(l, h)$  [1]. Тогда существует линейный ограниченный оператор продолжения из  $W_p^1(\Omega; E_0, E)$  в  $W_p^1(R^n; E_0, E)$ .

Пусть  $H_0$  и  $H$ —гильбертовы пространства.

**Теорема 1.** Пусть  $\Omega \in \bar{A}(l, h)$ ,  $H_0$  непрерывно и плотно вложено в  $H$ . Тогда при  $|(\alpha + m) : l| = \sum_{k=1}^n \frac{\alpha_k + m_k}{l_k} \leq 1$ ,  $\alpha = (\alpha_1, \dots, \alpha_n)$ ,  $m = (m_1, \dots, m_n)$ ,  $l = (l_1, \dots, l_n)$ , имеет место непрерывное вложение

$$D^a W_p^1(\Omega; H_0, H) \cup W_p^m(\Omega; [H_0, H]_{|\alpha|}, H), D^a = \frac{\partial^a}{\partial x_1^{\alpha_1} \cdots \partial x_n^{\alpha_n}}.$$

**Доказательство.** В силу условий теоремы и [3] существует самосопряженный положительно определенный оператор, для которого  $H_0 = H(A)$  и  $\|Au\|_H^2 = \|u\|_{H_0}^2$  при  $\forall u \in H_0$ . Кроме того, в силу эквивалентности интерполяционных пространств  $[H_0, H]_\theta$  и  $[H_0, H]_0$

$$[H_0, H]_0 = [H(A), H]_0 = [H(A), H]_0' = H(A^{1-\theta}).$$

Отсюда получаем, что для доказательства теоремы 1 достаточно доказать оценку

$$\|D^a u\|_{L_p(\Omega; [H_0, H]_{|\alpha|})} + \sum_{k=1}^n \|D_k^{\alpha_k} (D^a u)\|_{L_p(\Omega; H)} \leq$$

$$< c \left\{ \|A^{1-|\alpha|} D^a u\|_{L_p(\Omega; H)} + \sum_{k=1}^n \|D_k^{\alpha_k} (D^a u)\|_{L_p(\Omega; H)} \right\}_{L_p(\Omega; H)} < c \|u\|_{W_p^1(\Omega; H(A), H)}, \quad (1)$$

при  $\forall u \in W_p^1(\Omega; H_0, H) = W_p^1(\Omega; H(A), H)$ .

Сначала докажем оценку (1) в случае  $\Omega = R^n$ , т. е. докажем при  $\forall u \in W_p^1(R^n; H(A), H)$  оценку

$$\|A^{1-|\alpha|} D^a u\|_{L_p(R^n; H)} + \sum_{k=1}^n \|D_k^{\alpha_k} (D^a u)\|_{L_p(R^n; H)} \leq c \|u\|_{W_p^1(R^n; H(A), H)}. \quad (2)$$

Так как  $\|A^{1-|\alpha|} D^a u\|_{L_p(R^n; H)} = c \|F^{-1} A^{1-|\alpha|} \xi_1^{\alpha_1} \cdots \xi_n^{\alpha_n} F u\|_{L_p(R^n; H)}$ ,

$$\begin{aligned} \sum_{k=1}^n \|D_k^{\alpha_k} (D^a u)\|_{L_p(R^n; H)} &= c \sum_{k=1}^n \|F^{-1} \xi_1^{\alpha_1} \cdots \xi_{k-1}^{\alpha_{k-1}} \xi_k^{\alpha_k+m_k} \times \\ &\quad \times \xi_n^{\alpha_n} F u\|_{L_p(R^n; H)} \\ \|u\|_{W_p^1(R^n; H(A), H)} &= c \left( \|F^{-1} A F u\|_{L_p(R^n; H)} + \sum_{k=1}^n \|F^{-1} |\xi_k|^{\alpha_k} F^{-2} u\|_{L_p(R^n; H)} \right), \end{aligned} \quad (3)$$

где  $F$ —преобразование Фурье.

Используя оценки  $\left\| \left( A + \sum_{k=1}^n |\xi_k|^{\alpha_k} \right)^{-1} \right\| \leq M \left( 1 + \sum_{k=1}^n |\xi_k|^{\alpha_k} \right)^{-1}$

$\xi_1^{\alpha_1} \cdots \xi_n^{\alpha_n} \leq c \left( 1 + \sum_{k=1}^n |\xi_k|^{\alpha_k} \right)$  при  $|\alpha : l| < 1$ , легко доказываем, что

$$\begin{aligned} \xi_1^{\alpha_1} \cdots \xi_n^{\alpha_n} \left( A^{1-|\alpha|} \sum_{k=1}^n \left( A + |\xi_k|^{\alpha_k} \right)^{-1} \right)^{-1} &\leq \sum_{k=1}^n \xi_1^{\alpha_1} \cdots \xi_{k-1}^{\alpha_{k-1}} \xi_k^{\alpha_k+m_k} \cdots \xi_n^{\alpha_n} \left( A + \right. \\ &\quad \left. + \sum_{k=1}^n |\xi_k|^{\alpha_k} \right)^{-1} \end{aligned}$$

являются мультипликаторами в пространстве  $L_p(R^n; H)$  [10]. Отсюда и из оценки (3) вытекает (2).

Из леммы 1 следует, что  $\forall u \in W_p^1(\Omega; H_0, H)$  можно представить в виде  $u = p \cdot \mathbf{P}u$ , где  $\mathbf{P}$ —оператор продолжения из  $W_p^1(\Omega; H_0, H)$  в  $W_p^1(R^n; H_0, H)$  и из  $W_p^m(\Omega; [H_0, H]_{|\alpha|}, H)$  в  $W_p^1(R^n; [H_0, H]_{|\alpha|}, H)$ ,  $p$ —оператор сужения из  $R^n$  в  $\Omega$ . Тогда при  $\forall u \in W_p^1(\Omega; H_0, H)$  имеем

$$\begin{aligned} \|D^a u\|_{W_p^m(\Omega; [H_0, H]_{|\alpha|}, H)} &= \|D^a p \cdot \mathbf{P}u\|_{W_p^m(\Omega; [H_0, H]_{|\alpha|}, H)} \leq \\ &\leq c \|\mathbf{P}u\|_{W_p^1(R^n; H_0, H)} \leq c \|u\|_{W_p^1(\Omega; H_0, H)}. \end{aligned}$$

Используя теорию мультипликаторов Фурье и свойства позитивных операторов, получаем следующую теорему.

**Теорема 2.** Пусть  $\Omega \in \bar{A}(l, h)$ ,  $A$ —позитивный оператор в  $H$ . Тогда при  $|\alpha + m| : l | < 1$  имеет место непрерывное вложение

$$D^a W_p^1(\Omega; H(A), H) \cup W_p^m(\Omega; H(A^{1-|\alpha|}), H).$$

С помощью схемы, использованной при доказательстве теоремы 1, и свойств самосопряженных операторов доказываются

**Лемма 2.** Пусть выполнены условия теоремы 1. Тогда при  $\alpha = (\alpha_1, \dots, \alpha_n)$ ,  $l = (l_1, \dots, l_n)$ ,  $|\alpha : l| < 1$ ,  $0 < \theta < 1 - |\alpha : l|$ , и при любом  $\forall u \in W_p^1(\Omega; H_0, H)$  имеет место оценка

$$\|D^a u\|_{L_p(\Omega; H_0, H)} \leq c \left\{ h^{\theta(1-|\alpha|)} \|u\|_{W_p^1(\Omega; H_0, H)} + \right. \\ \left. + h^{-(1-\theta)(1-|\alpha|)} \|u\|_{L_p(\Omega; H)} \right\}, \quad 0 < h < h_0.$$

**Лемма 3.** Пусть  $\Omega \in \bar{A}(l, h)$ ,  $A$ —позитивный оператор в  $H$ . Тогда при  $|\alpha : l| < 1$ ,  $0 < \theta < 1 - |\alpha : l|$ ,  $0 < h < h_0$  и  $\forall u \in W_p^1(\Omega; H(A), H)$  имеет место оценка

$$\|A^{1-|\alpha|-\theta} D u\|_{L_p(\Omega; H)} \leq c \left\{ h^{\theta(1-|\alpha|)} \|u\|_{W_p^1(\Omega; H(A), H)} + \right. \\ \left. + h^{-(1-\theta)(1-|\alpha|)} \|u\|_{L_p(\Omega; H)} \right\}.$$

**Теорема 3.** Пусть  $\Omega \in \bar{A}(l, h)$ ,  $H_0$  компактно вложено в  $H$ . Тогда при  $m_i < l_i$ ,  $i = \overline{1, n}$ ,  $m = (m_1, \dots, m_n)$ ,  $l = (l_1, \dots, l_n)$ ,  $0 < \theta < 1$ , вложение  $W_p^1(\Omega; H_0, H) \cup W_p^m(\Omega; [H_0, H]_0, H)$  компактно.

**Доказательство.** Из леммы 2 следует, что при  $\forall u \in W_p^m(\Omega; H_0, H)$  имеет место оценка

$$\|u\|_{L_p(\Omega; [H_0, H]_0)} \leq c \left\{ h^\theta \|u\|_{W_p^1(\Omega; H_0, H)} + h^{-(1-\theta)} \|u\|_{L_p(\Omega; H)} \right\}. \quad (4)$$

Далее, используя лемму 1 и теорию мультиликаторов Фурье в пространстве  $L_p(\Omega; H)$ , получаем оценку

$$\sum_{k=1}^n \|D_k^{m_k} u\|_{L_p(\Omega; H)} \leq c \left\{ h^{-m_0 l_0} \|u\|_{L_p(\Omega; H)} + h^{1-m_0 l_0} \sum_{k=1}^n \|D_k^{l_k} u\|_{L_p(\Omega; H)} \right\}, \quad (5)$$

где  $\frac{m_0}{l_0} = \max \frac{m_k}{l_k}$ .

Используя (4) и (5) при любом  $u \in W_p^1(\Omega; H_0, H)$ , имеем

$$\|u\|_{W_p^m(\Omega; [H_0, H], H)} \leq c \left\{ h^\theta \|u\|_{W_p^1(\Omega; H_0, H)} + h^{-(1-\theta)} \|u\|_{L_p(\Omega; H)} \right\}, \quad (6)$$

где  $\theta = \min(0, 1 - m_0/l_0)$ .

Выбирая  $h = \|u\|_{L_p(\Omega; H)} \cdot \|u\|_{W_p^1(\Omega; H_0, H)}^{-1}$ , из (6) находим

$$\|u\|_{W_p^1(\Omega; [H_0, H], H)} \leq c \|u\|_{W_p^1(\Omega; H_0, H)}^{1-\theta} \|u\|_{L_p(\Omega; H)}^\theta. \quad (7)$$

Из [6] следует, что вложение  $W_p^1(\Omega; H_0, H) \cup L_p(\Omega; H)$  компактно. Отсюда и из (7) имеем утверждение теоремы.

Используя свойства позитивных операторов и теорию мультиликаторов Фурье в  $L_p(R^n; H)$ , получаем теорему 4.

**Теорема 4.** Пусть  $\Omega \subseteq \overline{A}(l, h)$ ,  $m_i < l_i$ ,  $i = \overline{1, n}$ ,  $0 < \theta < 1$ ,  $A$  — позитивный оператор в  $H$  и  $A^{-1} \in \sigma_\infty(H)$ . Тогда вложение  $W_p^1(\Omega; H(A), H) \cup W_p^m(\Omega; H(A^{-1}), H)$  компактно.

Из теоремы 1,2 и из [6] следует

**Следствие 1.** Пусть выполнены условия теоремы 1 и вложение  $H_0 \cup H$  компактно. Тогда вложение  $D^* W_p^1(\Omega; H_0, H) \cup L_p(\Omega; [H_0, H])$  компактно.

Пусть  $E_0$  и  $E$  — банаховы пространства.

**Теорема 5.** Пусть открытое ограниченное множество  $\Omega \subseteq R^n$  удовлетворяет слабому условию  $l$ -го рога,  $1 < p \leq q < \infty$ ,  $\alpha = |\alpha| + \left| \frac{1}{p} - \frac{1}{q} \right| : l \leq 1$  и при  $\alpha = 1$ ,  $1 < p = q < \infty$ ,  $\alpha = (\alpha_1, \alpha_2, \dots, \alpha_n)$ ,  $l = (l_1, l_2, \dots, l_n)$ . Тогда имеет место вложение

$$D^* W_p^1(\Omega; E) \cup L_q(\Omega; E).$$

**Теорема 6.** Пусть выполнено условие теоремы 1 и пусть вложение  $E_0 \cup E$  компактно. Тогда при  $\left| \left( \alpha + \frac{1}{p} - \frac{1}{q} \right) : l \right| < 1$ ,  $1 < p \leq q < \infty$ , вложение  $D^* W_p^1(\Omega; E_0, E) \cup L_q(\Omega; E)$  компактно.

**Следствие 2.** Пусть выполнены условия теоремы 2 и  $A^{-1} \in \sigma_\infty(H)$ ,  $\theta > 0$ . Тогда вложение

$$D^* W_p^1(\Omega; H(A), H) \cup L_p(\Omega; H(A^{-1}), H)$$

компактно.  
Автор выражает благодарность проф. С. Я. Якубову и проф. А. Д. Джабраилову за обсуждение полученных результатов.

## Литература

1. Бесов О. В., Ильин В. П., Никольский С. М. Интегральные представления и теоремы вложения. — М., 1975.
2. Трибел Х. Теория интерполяции функциональных пространств: Дифференциальные операторы. — М., 1980.
3. Дионс Ж.-Л., Мадженес Э. Неоднородные граничные задачи и их применения. — М., 1971.
4. Соболев С. Л. — Докл. АН СССР, 1957, т. 114.
5. Grisvard P. — C. R. Acad. Sci. Paris, Ser. A, 1963, v. 257.
6. Шахмурев В. Б. — Докл. АН СССР, 1978, т. 241, № 6.
7. Коротков В. Б. — Докл. АН СССР, 1956, т. 160, № 3.
8. Komatsu H. F. — Fac. Sci. Univ. Tokyo, Sec. I. A. Math., 1972.
9. Якубов С. Я., Шахмурев В. Б. — Матем. заметки, 1977, т. 22, вып. 2. 10.
10. Й., Лейфертрем И. Интерполяционные пространства: Введение. — М., 1980.
11. Лизоркин П. И.: Тр./МИАН СССР им. В. А. Стеклова, 1980, т. 156, № 3.

Поступило 18. XI 1982

АзИСИ

В. Б. Шахмурев

## АБСТРАКТ АНИЗОТРОП ФЭЗАЛАРДА ДАХИЛОЛМА ОПЕРАТОРУНУН КЭСИЛМЭЗЛИЈИ ВЭ КОМПАКТЛЫГЫ ҺАГГЫНДА ТЕОРЕМЛЭР

Мэггалэдэ абстракт анизотроп фэзаларда дахилолма операторунун кэсилмэзлији вэ компактлыгы һаггында теоремлэр исбат едилр.

|| V. B. Shakhmurov

## THEOREMS ON CONTINUITY AND COMPACTNESS OF IMBEDDING OPERATOR IN ABSTRACT ANISOTROPIC SPACES

In the article the theorems about continuity and compactness of imbedding operators in abstract anisotropic spaces are proved.

Р. Д. АЛИЕВ

**ОБОБЩЕННАЯ ЗАДАЧА ПУАНКАРЕ (НЕЙМАНА) ДЛЯ  
ПАРАБОЛИЧЕСКИХ УРАВНЕНИЙ В НЕЦИЛИДРИЧЕСКИХ  
ОБЛАСТЯХ С НЕГЛАДКОЙ ГРАНИЦЕЙ**

(Представлено академиком АН Азербайджанской ССР Ф. Г. Максудовым)

1°. **Обозначения, определения.** Континуум  $S$   $(n+1)$ -мерного пространства  $R^{n+1}$ ,  $n \geq 2$ , называется  $n$ -мерным многообразием без кратных точек, если для любой точки  $(x, t) = (x_1, \dots, x_n, t) \in S \cap R^{n+1}$  найдется замкнутый  $(n+1)$ -мерный шар  $Q_{r(x,t)}(x, t)$  радиуса  $r(x, t)$  с центром в этой точке, для которого существует взаимнооднозначное непрерывное отображение  $q(y, \tau)$  некоторого замкнутого  $n$ -мерного шара  $K \subset R^n$  на  $S \cap Q_{r(x,t)}(x, t)$ , причем если  $(y_0, \tau_0)$  — центр шара  $K$ , то  $(x, t) = q(y_0, \tau_0)$  и  $S \cap Q_{r(x,t)}(x, t)$  является носителем параметрически заданной поверхности без кратных точек. Пусть  $D^+(D^-)$  многосвязная ограниченная (неограниченная) область, граница которой  $S$  является  $n$ -мерным замкнутым многообразием без кратных точек. Будем считать, что  $\text{mes}_n S < \infty$ , где  $\text{mes}_k$  —  $k$ -мерная ( $k > 1$ ) лебегова мера. Скажем, что  $S$  является достижаемой границей, если  $\forall (x, t) \in S, \forall (y^\pm, \tau) \in D^\pm \cap Q_{r(x,t)}(x, t)$ , всегда существует  $l((y^\pm, \tau), (x, t))$  — путь конечной линейной лебеговой меры, соединяющий  $(y^\pm, \tau)$  с  $(x, t)$ , причем строго лежащий в  $D^\pm \cap Q_{r(x,t)}(x, t)$ . Обозначим через  $D_{(x,t)}^\pm = D^\pm \cap Q_{r(x,t)}(x, t), (x, t) \in S, s((y^\pm, \tau), (x, t)) = \inf \text{mes}_1 l((y^\pm, \tau), (x, t)), (y^\pm, \tau) \in D_{(x,t)}^\pm$ , где точная нижняя грань берется по всем путям  $l$ . Область  $(D_{(x,t)}^\pm, >)$  частично упорядочена ( $>$  — следование, определенное метрикой  $s(*, *)$ ). Таким образом, всегда строго определен предельный переход

$$\lim_{\substack{(y^\pm, \tau) \in D_{(x,t)}^\pm \\ (y^\pm, \tau) \rightarrow (x, t)}} s((y^\pm, \tau), (x, t)).$$

Скажем, что  $S$  удовлетворяет условию существования слабой нормали, если  $\forall (x, t) \in S$  всегда существует хотя бы один  $(n+1)$ -мерный открытый шар  $B^\pm((x, t); \delta)$  радиуса  $\delta \in (0, r(x, t)]$ , лежащий строго внутри  $D^\pm$  (если нет, то в  $R^{n+1} \setminus \overline{D^\pm}$ ), такой, что  $\partial B^\pm((x, t); \delta) \cap S = (x, t)$ , и внешняя нормаль к границе которого в точке  $(x, t)$  направлена строго внутрь  $R^{n+1} \setminus \overline{D^\pm}$  (в противном случае строго внутрь  $D^\pm$ ),  $\varepsilon(x, t) = \sup \{\delta \in (0, r(x, t)]; \exists B^\pm((x, t); \delta)\}$ . Если множество  $\{B^\pm((x, t), \varepsilon(x, t))\}$  однозначно, то назовем слабой единичной внутренней нормалью к  $S$  в точке  $(x, t)$  — вектор  $\vec{n}^c(x, t)$ , в точности

совпадающим с единичной внутренней нормалью  $\vec{n}(x, t) \in \partial B^\pm((x, t); \varepsilon(x, t))$ ; если нет, тогда  $\vec{n}^c(x, t)$  является вектором, в точности совпадающим с направленной единичной осью конуса, образуемого внутренними нормальми  $\vec{n}(x, t)$  и  $\partial B^\pm((x, t); \varepsilon(x, t))$  в точке  $(x, t)$  (в противном случае — образуемого внешними нормальами  $\vec{n}(x, t)$ ). Обозначим через  $S_{(x,t)}$  часть  $n$ -мерной гиперплоскости, лежащей внутри  $Q_{r(x,t)}(x, t)$ , ортогональной вектору  $\vec{n}^c(x, t)$  в точке  $(x, t)$ . Многообразие  $S$  назовем допустимым для задачи Пуанкаре (Неймана), если  $S$  —  $n$ -мерное замкнутое многообразие без кратных точек, являющееся достижаемой границей области  $D^\pm$ , удовлетворяющее условию существования слабой конормали  $v(x, t), (x, t) \in S, v^\dagger(x, t) = \sum_{k=1}^n a_{ik}$

$n_k^c(x, t), i = 1, n$  ( $a_{ik}$  — положительно определенная матрица), связанная часть которой, за исключением  $(x, t)$ , строго лежит в  $D_{(x,t)}^\pm$ :

$\exists H(S) \in (0, 1], \exists \delta(S) > 0, \forall (x, t) \in S, K_{(x,t)}^\pm(S) = \{(y^\pm, \tau) \in D_{(x,t)}^\pm;$

$|x - y^\pm, t - \tau| \leq H(S), (v(x, t), (y^\pm - x, t - \tau)) > \delta(S)\} \neq \emptyset$   
(всюду ниже условно будем обозначать через  $|*$  норму  $\|*\|_{R^n}$ ,

$\kappa = n, n+1$ ).  $\forall t \in [0, T], T > 0, D_t^\pm = D^\pm \cap \{0 < t < T\}$ ,

$B_t^\pm = D^\pm \cap \{t = t\}, S_t = \partial D^\pm \cap \{0 < t \leq t\}, \bar{S}_t = S_t \cup \partial B_t^\pm$ .

Предположим, что область  $D^\pm$  такова, что существуют гомеоморфизм  $c: \bar{B}_0^\pm \rightarrow \bar{B}_t^\pm \forall t \in [0, T], \forall x \in \bar{B}_0^\pm, (x, t) = c(x, t; \bar{B}_0^\pm)$ , и спрямляемая кривая, соединяющая  $\bar{B}_0^\pm$  с  $\bar{B}_T^\pm$ , вдоль которой координата  $t$  не убывает. Пусть оператор

$$(L \cdot u)(x, t) = \sum_{i,k=1}^n a_{ik}(x, t) \frac{\partial^2 u(x, t)}{\partial x_i \partial x_k} + \sum_{i=1}^n b_i(x, t) \frac{\partial u}{\partial x_i} + c(x, t) u(x, t) - \frac{\partial u(x, t)}{\partial t}$$

— равномерно параболический оператор с непрерывными коэффициентами,  $(x, t) \in \bar{D}_T^\pm, c < 0$  [1, 2].

Обозначим через  $\theta(\xi; \partial B_t^\pm)$  общешено обратную функцию  $\theta(\varepsilon; \partial B_t^\pm)$ , где  $t \in [0, T], \varepsilon \in (0, d(\partial B_t^\pm)], \xi \in (0, \theta(d(\partial B_t^\pm); \partial B_t^\pm)], d(\partial B_t^\pm)$  — диаметр границы  $\partial B_t^\pm$  [3—6]. Введем следующую метрическую характеристику, характеризующую нецилиндричность области  $D$ :

$$\forall (x, t) \in S_T, \forall \xi_t(\partial B_t^\pm), (x, t) \in \mu_{\xi_t}^{-1}(\varepsilon, \partial B_t^\pm) = \text{mes}_1 \bigcup_{\sigma \in [-\varepsilon, \varepsilon]} (y_\sigma, \sigma), (y_\sigma, \sigma) = \zeta^{-1}(\xi_t, t - \sigma; B_t^\pm),$$

$$\xi_t \in (\partial B_t^\pm), (x, t), \varepsilon \in (0, \min(t, d(\partial B_t^\pm))]$$

Обозначим через  $c^\pm(x_t; B_t^\pm)$  величину  $\lim_{\epsilon \rightarrow 0} \frac{\text{mes}_{n-1} \{y_t \in B_t^\pm; |x_t - y_t| < \epsilon\}}{\beta_n \epsilon^n}$ ,

где  $\beta_n$  — объем единичной  $n$ -мерной сферы,  $t \in [0, T]$ ,  $x_t \in \partial B_t^\pm$ . Скажем, что  $S_T$  удовлетворяет  $\omega_{S_T}$ -условию, если при фиксированном  $t \in [0, T]$ ,  $\forall x_t \in \partial B_t^\pm$ ,  $\forall (y_t, t) \in (\bar{S}_T)_{(x_t, t)}$ , существует функция  $\omega_{S_T}$  класса  $\Phi_{(0, d(\partial B_t^\pm))}$  [3, 4], такая, что

$$|\cos(\vec{n}^c(x_t, t), \hat{y}_t - x_t)| = 0(\omega_{S_T}(|y_t - x_t|)), \int_0^{\omega_{S_T}(y)} \frac{dy}{y} < \infty.$$

Для произвольных непрерывных функций  $f$  и  $\mu$  соответственно на  $\bar{D}_T^\pm$  и  $\bar{B}_0^\pm$  будем обозначать через  $\omega_k$ ,  $k = 1, 2$ ,  $\omega_\mu$  характеристики непрерывных функций в смысле исправленных мажорант [3, 7];  $\forall a_{ik} \in C(\bar{D}_T^\pm)$ ,

$$A = (a_{ik}), \omega_A(\delta) \stackrel{\text{def}}{=} \max_{1, k=1, n} (\omega_{a_{ik}}(\delta), \omega_{a_{ik}}(\delta)),$$

$$\omega_{a_{ik}}(\delta) \stackrel{\text{def}}{=} \delta \sup_{\xi > \delta} \left( \sup_{\bar{x}(x-\bar{x}, t-\bar{t}) < \xi} |a_{ik}(x, t) - a_{ik}(\bar{x}, \bar{t})| \right) / \xi,$$

$$\delta \in (0, d_a(D_T^\pm \cup B_T^\pm)], a(x - \bar{x}, t - \bar{t}) \stackrel{\text{def}}{=} \sqrt{|x - \bar{x}|^2 + |t - \bar{t}|},$$

$$d_a(D_T^\pm \cup B_T^\pm) \stackrel{\text{def}}{=} \sup_{(x, t) \in D_T^\pm} \max_{(\bar{x}, \bar{t}) \in B_T^\pm} a(x - \bar{x}, t - \bar{t}).$$

Скажем, что  $u \in C^{1,1/2}(\bar{D}_T^\pm \setminus \bar{B}_0^\pm; \theta, \varsigma)$ , если  $\forall (x_t, t), (\bar{x}_t, \tau) \in \bar{D}_{(0, T)}^\pm$ ,

$$\begin{aligned} \bar{D}_{(0, T)}^\pm &\stackrel{\text{def}}{=} \bar{D}_T^\pm \setminus \bar{B}_0^\pm, |u^\pm(x_t, t) - u^\pm(\bar{x}_t, \tau)| \leq c_1 \left[ \left( \int_0^{|t-\tau|} + \right. \right. \\ &+ \max_{[0, T]} \left. \int_0^{|x_t - \bar{x}_t|^2} \right) \frac{d\tau}{\tau^{n/2}} + |t - \tau| \int_{|t-\tau|}^T \frac{d\tau}{\tau^{n/2+1}} + \max_{[0, T]} |x_t - \bar{x}_t| \int_{\max_{[0, T]} |x_t - \bar{x}_t|^2}^T \frac{d\tau}{\tau^{n+1}} + \\ &\left. \left. + \omega_{\varsigma}(\bar{B}_0^\pm) (|t - \tau|) \int_{|t-\tau|}^T \tau^{\frac{n+1}{2}} \right] \int_0^{\infty} \exp \left( -c_2 \frac{\theta^2(\xi; \partial B^\pm)}{\tau} \right) d\xi, \right. \end{aligned}$$

где  $s_* \stackrel{\text{def}}{=} \sup_{[0, T]} \text{mes}_{n-1} \partial B_t^\pm < \infty$ ,  $\theta(\xi; \partial B^\pm) \stackrel{\text{def}}{=} \inf_{[0, T]} \theta(\xi; \partial B_t^\pm)$ ,  $c_1 \geq 1, c_2 > 0$ ;

если  $\forall t \in [0, T]$ ,  $\theta(\epsilon; \partial B_t^\pm) \asymp \epsilon^{n-1}$ ,  $\epsilon \in (0, d(\partial B_t^\pm))$  [3, 5],  $\bar{D}_T^\pm$  — цилиндрическая, то  $u \in C^{1,1/2}(\bar{D}_{(0, T)}^\pm)$  [8].

2°. Назовем регулярным обобщенным решением задачи Пуанкаре (Неймана)

$$(L_c u^\pm)(x, t) = f(x, t), (x, t) \in D_T^\pm \cup B_T^\pm, f \in C(\bar{D}_T^\pm);$$

$$u^\pm(x, 0) = \mu(x), x \in \bar{B}_0^\pm, \mu \in C(\bar{B}_0^\pm),$$

$\mu$  равна нулю в некоторой окрестности границы  $\partial B_0^\pm$ ;

$$\frac{\partial u^\pm(x, t)}{\partial v(x, t)} + \beta(x, t) u^\pm(x, t) = \psi(x, t), (x, t) \in S_T,$$

$$\beta, \psi \in C(\bar{S}_T), \beta < 0,$$

функцию класса  $C^{2,1}(D_T^\pm \cup B_T^\pm) \cap C(\bar{D}_T^\pm)$ , в классическом смысле удовлетворяющую уравнению и начальному условию и принимающую граничные условия в смысле

$$\frac{\partial u^\pm(x, t)}{\partial v(x, t)} \stackrel{\text{def}}{=} \lim_{\substack{k \in \{1, 2\} \\ (\bar{x}, \bar{t}) \in (\bar{S}_T)_{(x, t)}}} a_{ik}(x, t) \cos(\vec{n}^c(x, t), \hat{y}_k) \frac{\partial u^\pm(y, \sigma)}{\partial y_k}.$$

Лемма (о слабой конormalной производной) ([10]) — лемма о внутренней производной). Если  $u^\pm$  регулярная супер(суб)параболическая функция, отличная от постоянной в  $\bar{D}_T^\pm$ ; пусть  $(x', t') \in S_T$

$$\text{и } \forall (x, t) \in S_T, u^\pm(x, t) \geq u^+(x', t') \quad (u^\pm(x, t) < u^\pm(x', t')), \\ u^\pm(x', t') \leq 0 \quad (u^\pm(x', t') > 0);$$

то в любой окрестности  $Q \subset S_T$  точки  $(x', t')$  ( $Q$  — связная компонента),  $\exists (x'', t'') \in Q$  и

$$\frac{\partial u^\pm(x'', t'')}{\partial v(x'', t'')} > 0 \quad \left( \frac{\partial u^\pm(x'', t'')}{\partial v(x'', t'')} < 0 \right).$$

Теорема 1. В классе допустимых границ задача Пуанкаре (Неймана) имеет единственное обобщенное регулярное решение.

Теорема 2. Если  $\int_0^{\sqrt{T}} \frac{(\omega_1^1 + \omega_A^1 + \omega_B^1 + \omega_C^1)(\tau)}{\tau} d\tau < \infty$  (если  $\exists c > 0$ ,

$$\lim_{\epsilon \rightarrow 0} \frac{\omega_\mu(\epsilon)}{\epsilon} \leq c, \text{ то } \frac{\partial u^+}{\partial v} \in C(\bar{S}_T),$$

$$|f(x, t)| < c \exp[h|x|^2], |\mu(x)| \leq c \exp[h|x|^2], 0 < h < (4\bar{\lambda}_1 T)^{-1}, c > 0,$$

$(x, t) \in D_T^- \cup B_T^-$  [9],  $\bar{\lambda}$  — точная верхняя грань собственных значений матрицы  $A(y, \sigma)$  по всем  $(y, \sigma) \in \bar{D}_T^\pm$  (если  $\lim_{|x| \rightarrow \infty} |\mu(x)| \rightarrow 0$ ,  $\limsup_{|x| \rightarrow \infty} |\mu(x)| \leq c$  для  $\forall t \in [0, T]$ ),  $|f(x, t)| \rightarrow 0$ ,  $\forall t \in [0, T]$ ,  $\lim_{|x| \rightarrow \infty} a_{11}(x, t) = a_{11}^0 < \infty$ , то  $u^-(x, t) \rightarrow 0$  при  $|x| \rightarrow \infty$ );  $c^\pm(x_t; B_t^\pm)$  — равномерно-непрерывная по  $t \in (0, T)$ ;  $(\mu_{-1})_{t_t}$  ( $\epsilon; \partial B_t^\pm \asymp \epsilon$ ), интегралы

$$\int_0^{\infty} \frac{\omega_{\bar{S}_T}(\theta(\xi; \partial B^\pm)) + \omega_A(\theta(\xi; \partial B^\pm))}{(\theta(\xi; \partial B^\pm))^{n-1}} d\xi;$$

$$\int_0^T \tau^{-\frac{n+1}{2}} \left( \int_0^{\sqrt{\tau}} \frac{\omega_A(y)}{y} dy \right) d\tau \int_0^{\infty} \exp \left( -\delta \frac{\theta^2(\xi; \partial B^\pm)}{\tau} \right) d\xi,$$

$$\int_0^{\sqrt{T}} \frac{d\tau}{\tau} \int_0^{\infty} \frac{\omega_A(y)}{y} dy$$

сходятся,  $\int_0^x \frac{\omega_\lambda(y)}{y} dy \in \Phi_{(0, \sqrt{t})}$ , то функция

$$u(x_t, t) = \int_{B_0^\pm} G^{\xi, 0}(x_0 - \xi, t - \tau) \mu(\xi) d\xi + \int_{S_T} G^{\xi, \tau}(x_t - \xi, t - \tau) \times$$

$$\times \varphi^\pm(\xi, \tau) dS_{(\xi, \tau)} - \int_{D_T^\pm \setminus B_0^\pm} G^{\xi, \tau}(x_t - \xi, t - \tau) f(\xi, \tau) d\xi d\tau,$$

$$(x_t, t) \in \overline{D}_T^\pm, (x_0, t) = \varsigma(x_0, t; \overline{B}_0^\pm),$$

является единственным, непрерывно-зависящим от правых частей регулярным обобщенным решением задачи Пуанкаре (Неймана), принадлежащим классу Тихонова-Теклунда на бесконечности и классу функций  $C^{1,1/2}(\overline{D}_T^\pm \setminus \overline{B}_0^\pm; \theta, \varsigma)$ , где  $G^{\xi, \tau}(x_t - \xi, t - \tau)$  — фундаментальное решение, определенное для всех  $(x_t, t) \in \overline{D}_T^\pm, (\xi, \tau) \in \overline{D}_T^\pm$ , построенное методом Леви (ср. с [2, 11, 12]), а  $\varphi^\pm$  является единственным решением соответствующего интегрального уравнения.

**Теорема 3.** Если  $S_T$  из класса границ областей  $D_T^\pm$ , в пределах которой существует обобщенное регулярное решение задачи Пуанкаре (Неймана), то оно единствено (утверждение теоремы следует из соответствующей теоремы сравнения, аналогичной теореме Вестфала [13]).

#### Литература

1. Ландис Е. М. Уравнения второго порядка эллиптического и параболического типов. — М.: Наука, 1971.
2. Фридман А. Уравнения с частными производными параболического типа. — М.: Мир, 1968.
3. Салаев В. В. — Матем. заметки, 1976, № 3, с. 365—380.
4. Бабаев А. А., Салаев В. В. — Докл. АН СССР, 1973, т. 209, № 6, с. 1257—1260.
5. Салаев В. В. Деп. в ВИНИТИ 18 июня 1974, № 194—74.
6. Камке Е. Интеграл Лебега—Стильеса. — М.: Физматгиз, 1959.
7. Мусаев Б. И., Салаев В. В. — Уч. зап. МВиССО АзССР, 1978, № 4, с. 5—18.
8. Каминин Л. И. — Дифф. уравнения, 1965, т. 1, № 6, с. 799—839.
9. Тихонов А. Н. — Матем. сб., 1935, т. 42, с. 199—216.
10. Надирашвили Н. С. — Матем. сб., 1983, т. 122 (164), № 11, с. 341—359.
11. Rogorelski W. — Ann. Polon. Math., 1957, v. 4, p. 61—92, 110—126.
12. Матийчук М. И., Эйдельман С. Д. — Тр. семинара по функциональному анализу /Воронеж. ун-т, 1971, вып. 9, с. 54—83.
13. Westphal H. — Math. Zs., 1949, v. 51, p. 690—695.

АзИНЕФТЕХИМ им. М. Азизбекова

Р. Д. Элиев

Поступило 5. VII 1984

#### НАМАР ОЛМАЈАН СӘРГӘДЛИ ГЕЈРИ-СИЛИНДРИК ОБЛАСТЛАРДА ПАРАБОЛИК ТӘНЛИКЛӘР ҮЧҮН ҮМҮМİЛӘШМИШ ПУАНКАРЕ (НЕЙМАН) МӘСӘЛӘСИ

Мәгәләдә намар олмајан сәргәдли гејри-силиндрик областларда дивиркент олмајан икى тәртибли параболик тәнликләр үчүн гејри-классик Пуанкаре (Нејман) сәргәд мәсәләсүнүн һөллинин варлығы ва јеканәлији нағызыда теоремләри исбат олунур.

R. D. Aliyev

#### GENERALIZED PROBLEM OF POINCARÉ (NEUMANN) FOR PARABOLIC EQUATIONS IN NONCYLINDRIC DOMAINS WITH NONSMOOTHNESS BOUND

The purpose of the article is to prove the existence of theorems and uniqueness of solutions of generalized boundary problem of Poincaré (Neumann) for nondivergent II-order parabolic differential equations in noncylindric domain with nonsmoothness bound.

А. ЭЛЬ КАДИ

#### РЕШЕНИЕ ОДНОЙ СМЕШАННОЙ ЗАДАЧИ ДЛЯ УРАВНЕНИЯ КОЛЕБАНИЙ СТЕРЖНЯ

(Представлено академиком АН Азербайджанской ССР М. Л. Расуловым)

Настоящая статья посвящена решению смешанной задачи

$$\frac{\partial^2 u}{\partial t^2} + \frac{\partial^4 u}{\partial x^4} = f(x, t), \quad (1)$$

$$L_\kappa u = u^{(\kappa)}(0, t) = 0 \quad (\kappa = 0, 2), \quad L_\kappa u = u_x^{(\kappa)}(0, t) - u_x^{(\kappa)}(a, t) = 0 \quad (\kappa = 1, 3), \quad (2)$$

$$u(x, 0) = \varphi_0(x), \quad u_t(x, 0) = \varphi_1(x). \quad (3)$$

Рассматриваемая задача характерна тем, что соответствующая спектральная задача

$$y^{IV} - \lambda^4 y = h(x), \quad (4)$$

$$y^{(\kappa)}(0) = 0 \quad (\kappa = 0, 2), \quad y^{(\kappa)}(0) - y^{(\kappa)}(a) = 0 \quad (\kappa = 1, 3) \quad (5)$$

имеет кратные собственные значения и, следовательно, система собственных функций неполна. В связи с этим применение метода Фурье не решает задачу (1)–(3) для произвольных достаточно гладких данных  $\varphi_k(x)$  ( $\kappa = 0, 1$ ). Более того, задача (1)–(3) не охватывается даже методом Фурье—Биркгофа.

К решению задачи (1)–(3) применяется вычетный метод [1]. При всех  $\lambda$ , для которых  $\Delta(\lambda) \neq 0$ , задача (4), (5) для непрерывных на  $[0, a]$  функций  $h(x)$  имеет решение, представимое формулой

$$y(x, \lambda, h) = \int_0^a \frac{\Delta(x, \xi, \lambda)}{\Delta(\lambda)} h(\xi) d\xi, \quad (6)$$

где

$$\Delta(\lambda) = \begin{vmatrix} L_1(Y_1) & L_1(Y_2) & L_1(Y_3) & L_1(Y_4) \\ \dots & \dots & \dots & \dots \end{vmatrix}, \quad (7)$$

$$Y_1(x, \lambda) = e^{\lambda x}, \quad Y_2(x, \lambda) = e^{-\lambda x}, \quad Y_3(x, \lambda) = e^{i\lambda x}, \quad Y_4(x, \lambda) = e^{-i\lambda x}, \quad (8)$$

$$\Delta(x, \xi, \lambda) = \begin{vmatrix} g(x, \xi, \lambda) & Y_1(x, \lambda) & Y_2(x, \lambda) & Y_3(x, \lambda) & Y_4(x, \lambda) \\ L_1(g)_x & L_1(Y_1) & L_1(Y_2) & L_1(Y_3) & L_1(Y_4) \\ \dots & \dots & \dots & \dots & \dots \end{vmatrix}. \quad (9)$$

$$g(x, \xi, \lambda) = \pm \frac{\sum_{k=1}^4 W_{4k}(\xi, \lambda) Y_k(x, \lambda)}{2W(\xi, \lambda)}, \quad \begin{aligned} &+ \text{при } 0 \leq \xi \leq x, \\ &- \text{при } 0 \leq x \leq \xi. \end{aligned} \quad (10)$$

$W(\xi, \lambda)$  — определитель Вронского от системы (8),  $W_{4k}(\xi, \lambda)$  — алгебраическое дополнение элемента  $(4, k)$  в определителе  $W(\xi, \lambda)$ .

По формулам (7)–(10) можно получить конкретные выражения

$$\Delta(\lambda) = 4i\lambda^6 e^{-\lambda a(1+i)} (1 - e^{i\lambda a})^2 (1 - e^{\lambda a})^2. \quad (11)$$

$$\begin{aligned} \Delta(x, \xi, \lambda) &= g(x, \xi, \lambda) \Delta(\lambda) - \frac{i}{2} e^{\lambda x} \lambda^3 e^{-\lambda a(1+i)} (1 - e^{\lambda a}) \times \\ &\times (1 - e^{ia})^2 (e^{\lambda \xi} - e^{-\lambda \xi}) + \frac{i}{2} \lambda^3 e^{-\lambda x} e^{-i\lambda a} (1 - e^{i\lambda a}) (1 - e^{i\lambda a})^2 (e^{\lambda \xi} - e^{-\lambda \xi}) - \\ &- (e^{\lambda x} - e^{-\lambda x}) \frac{i\lambda^3}{2} e^{-i\lambda a} (1 - e^{i\lambda a})^2 (e^{\lambda \xi} + e^{-\lambda \xi} + e^{i(a-\xi)} + e^{-i(a-\xi)}) + \\ &+ e^{i\lambda x} \frac{\lambda^3}{2} e^{-\lambda a(1+i)} (1 - e^{i\lambda a}) (1 - e^{i\lambda a})^2 (e^{i\lambda \xi} - e^{-i\lambda \xi}) - \\ &- \frac{\lambda^3}{2} e^{-i\lambda x} e^{-i\lambda a} (1 - e^{i\lambda a}) (1 - e^{i\lambda a})^2 (e^{i\lambda \xi} - e^{-i\lambda \xi}) + \frac{\lambda^3}{2} (e^{-i\lambda x} - \\ &- e^{-i\lambda x}) e^{-i\lambda a} (1 - e^{i\lambda a})^2 (e^{i\lambda \xi} + e^{-i\lambda \xi} + e^{i(a-\xi)} + e^{-i(a-\xi)}). \end{aligned} \quad (12)$$

$$g(x, \xi, \lambda) = \pm \frac{1}{8\lambda^3} [e^{i(x-\xi)} - e^{-i(x-\xi)} + ie^{i\lambda(-\xi)} - ie^{-i\lambda(-\xi)}], \quad (13)$$

+ при  $0 < \xi < x$ , – при  $0 < x < \xi$ .

Легко видеть из формул (11)–(13), что нули

$$\lambda_v = \frac{2v\pi}{a}, \lambda'_v = \frac{2v\pi i}{a} (v = 0, \pm 1, \pm 2, \dots) \quad (14)$$

определителя  $\Delta(\lambda)$  являются полюсами второй кратности функции Грина

$$G(x, \xi, \lambda) = \frac{\Delta(x, \xi, \lambda)}{\Delta(\lambda)} \quad (15)$$

спектральной задачи (4), (5).

Очевидно, осями  $\lambda$ -плоскости и биссектрисами координатных углов вся плоскость комплексного параметра  $\lambda$  разбивается на 8 секторов  $\sum_j (j = \overline{1, 8})$ , в каждом из которых, если внутренности малых кругов

$K_0(\lambda), K_1(\lambda)$  радиуса  $\delta > 0$  с центрами в нулях (14) определителя  $\Delta(\lambda)$  выбросить, в оставшейся части  $\sum_j$  выполняется соотношение

$$G(x, \xi, \lambda) = O\left(\frac{1}{\lambda^3}\right). \quad (16)$$

Это утверждение можно доказать с помощью некоторого преобразования определителя  $\Delta(x, \xi, \lambda)$ , сохраняющего его значения.

Соотношение (16) показывает, что спектральная задача (4), (5) регулярна в смысле работы [2]. Следовательно, согласно результатам § 2 гл. III [1] имеет место

Теорема 1. Для всякой непрерывно дифференцируемой на  $[0, a]$  функции  $b(x)$  имеет место формула разложения

$$b(x) = \frac{-1}{2\pi V - 1} \sum_v \int_{c_v} \lambda^3 d\lambda \int_0^a \frac{\Delta(x, \xi, \lambda)}{\Delta(\lambda)} b(\xi) d\xi, \quad (17)$$

где  $c_v$  — простой замкнутый контур, окружающий только один из нулей (14), и сумма по  $v$  распространена на все полюсы (14) функции Грина  $G(x, \xi, \lambda)$ .

Согласно схеме вычетного метода (§ 3 гл. IV [1]) решение задачи (1)–(3) ищется в виде

$$u(x, t) = \frac{-1}{2\pi V - 1} \sum_v \int_{c_v} \lambda^3 d\lambda \int_0^a \frac{\Delta(x, \xi, \lambda)}{\Delta(\lambda)} z(t, \xi, \lambda) d\xi, \quad (18)$$

где

$$\begin{aligned} z(t, \xi, \lambda) &= \varphi_0(\xi) \cos \lambda^2 t + \frac{\varphi_1(\xi)}{\lambda^2} \sin \lambda^2 t + \\ &+ \frac{1}{\lambda^2} \int_0^t \sin \lambda^2(t-\tau) f(\xi, \tau) d\tau. \end{aligned} \quad (19)$$

Произведя вычеты в формуле (18) с учетом (19), для формального решения задачи (1)–(3) при  $f(x, t) = 0$  получаем представление

$$\begin{aligned} u(x, t) &= \sum_{v=1}^{\infty} \frac{4}{a^2} \int_0^a \left[ x \cos \frac{2v\pi}{a} x \cos \frac{2v\pi}{a} \xi - (\xi - a) \sin \frac{2v\pi}{a} x \sin \xi \right. \\ &\times \left. \frac{2v\pi}{a} \xi \right] \left[ \varphi_0(\xi) \cos \left( \frac{2v\pi}{a} \right)^2 t + \left( \frac{a}{2v\pi} \right)^2 \varphi_1(\xi) \sin \left( \frac{2v\pi}{a} \right)^2 t \right] d\xi - \\ &- \sum_{v=1}^{\infty} \frac{8}{a^2} \int_0^a \sin \frac{2v\pi}{a} x \cos \frac{2v\pi}{a} \xi \left[ \frac{2v\pi}{a} t \varphi_0(\xi) \sin \left( \frac{2v\pi}{a} \right)^2 t - \right. \\ &\left. - \left( \frac{a}{2v\pi} \right) t \varphi_1(\xi) \cos \left( \frac{2v\pi}{a} \right)^2 t + \left( \frac{a}{2v\pi} \right)^3 \varphi_1(\xi) \sin \left( \frac{2v\pi}{a} \right)^2 t \right] d\xi. \end{aligned} \quad (20)$$

С помощью формулы (17) доказана

Теорема 2. Если  $\varphi_v(x)' (v = 0, 1)$  имеют непрерывные производные до 6-го порядка в интервале  $[0, a]$ , то задача (1)–(3) при  $f(x, t) = 0$  имеет единственное решение  $u(x, t)$ , представимое формулой (20).

Доказана также

Теорема 3. При условиях теоремы 2, если  $f(x, t)$  при всех  $x \in [0, a]$  непрерывно дифференцируема по  $t$  в некотором интервале  $[0, T]$  и имеет непрерывные производные по  $x \in [0, a]$  до четвертого порядка включительно при всех  $t \in [0, T]$ , задача (1)–(3) имеет единственное решение  $u(x, t)$ , представимое формулой

$$\begin{aligned} u(x, t) &= \sum_{v=1}^{\infty} \frac{4}{a^2} \int_0^a \left[ x \cos \frac{2v\pi}{a} x \cos \frac{2v\pi}{a} \xi - (\xi - a) \sin \frac{2v\pi}{a} x \sin \xi \right. \\ &\times \left. x \sin \frac{2v\pi}{a} \xi \right] \left[ \varphi_0(\xi) \cos \left( \frac{2v\pi}{a} \right)^2 t + \left( \frac{a}{2v\pi} \right)^2 \varphi_1(\xi) \sin \left( \frac{2v\pi}{a} \right)^2 t + \right. \\ &+ \left. \left( \frac{a}{2v\pi} \right)^3 \int_0^t \sin \left( \frac{2v\pi}{a} \right)^2 (t-\tau) f(\xi, \tau) d\tau \right] d\xi - \\ &- \sum_{v=1}^{\infty} \frac{8}{a^2} \int_0^a \sin \frac{2v\pi}{a} x \cos \frac{2v\pi}{a} \xi \left[ \frac{2v\pi}{a} t \varphi_0(\xi) \sin \left( \frac{2v\pi}{a} \right)^2 t - \right. \\ &\left. - \left( \frac{a}{2v\pi} \right)^3 t \varphi_1(\xi) \cos \left( \frac{2v\pi}{a} \right)^2 t + \left( \frac{a}{2v\pi} \right)^4 \varphi_1(\xi) \sin \left( \frac{2v\pi}{a} \right)^2 t \right] d\xi. \end{aligned}$$

А. И. АБДУЛЛАЕВ

УТОЧНЕННЫЙ РАСЧЕТ ЗУБЧАТЫХ ПЕРЕДАЧ  
НА КОНТАКТНУЮ ПРОЧНОСТЬ

(Представлено академиком АН Азербайджанской ССР Ф. Г. Максудовым)

Зубчатые передачи функциональной цепи ЗПВСПК предназначены для передачи движения от одного зубчатого колеса к другому посредством зубьев, последовательно вступающих в зацепление с соответствующим изменением угловой скорости (крутящего момента). При этом интенсивность сил, нормальных к сопряженным поверхностям зубьев в зоне контакта, характеризуется максимальным контактным напряжением  $\sigma_h$ , которое используется в качестве одного из важнейших критериев работоспособности зубчатых передач.

В существующей методике расчета зубчатых передач величина контактного напряжения определяется по формуле Герца, полученной из решения контактной задачи теории упругости при некоторых ограничительных допущениях, в частности, при допущении, что площадка соприкосновения весьма мала, коэффициент трения между сопряженными поверхностями равен нулю и уравнения недеформированных поверхностей вблизи места соприкоснования могут быть с достаточным приближением представлены в виде  $z = Ax^2 + 2Bxy + Cy^2$ .

В настоящей статье рассматривается уточненное (обобщенное) решение задачи о соприкосновении двух тел произвольной формы, близких к полуплоскостям при конечном коэффициенте трения, что только и может иметь место в действительности для расчета на контактную выносливость активных поверхностей зубьев зубчатых передач. При этом, сформулированная задача представляет собой двухмерный аналог задачи Герца без допущений о малости участка соприкоснования и формы границ.

Специальными исследованиями и практикой эксплуатации установлено, что нагрузка, допускаемая по контактной прочности зубьев зубчатых колес, определяется в основном твердостью их материала. Для лучшей приработки зубьев, как правило, рекомендуется назначать твердость шестерни больше твердости колеса не менее чем на 10—15 ед. по Бринелю, т. е.

$$H_1 \geq H_2 + (10-15).$$

Это обстоятельство дает возможность рассматривать сопряжение поверхностей зубьев зубчатых колес как два упругих тела  $S_1$  и  $S_2$ , близких по форме к полуплоскостям, соприкасающихся вдоль участков  $ab$ , и решить математическую граничную задачу давления жесткого штампа на упругую полуплоскость при наличии трения (рис. 1). Верхнюю и нижнюю окрестности будем различать соответственно знаками (+) и (-).

$$\begin{aligned} & -\frac{\dot{a}}{2\pi} t \varphi_1(\xi) \cos\left(\frac{2\pi}{a}\right)^2 t + \left(\frac{a}{2\pi}\right)^3 \varphi_1(\xi) \sin\left(\frac{2\pi}{a}\right)^2 t + \\ & + \left(\frac{a}{2\pi}\right)^3 \int_0^t \sin\left(\frac{2\pi}{a}\right)^2 (t-\tau) f(t, \tau) d\tau - \\ & - \frac{a}{2\pi} \int_0^t (t-\tau) \cos\left(\frac{2\pi}{a}\right)^2 (t-\tau) f(\xi, \tau) d\tau \Big] d\xi. \end{aligned} \quad (21)$$

## Литература

1. Расулов М. Л. Метод контурного интеграла.—М.: Наука, 1961. 2. Расулов М. Л.—Дифф. уравнения, 1982, т. XVIII, № 12.

АГУ им. С. М. Кирова

Поступило 28 IV 1984

А. Ел Кади

ЧУБУГУН РӘГС ТЕЗЛИИ ҮЧҮН ГОЈУЛМУШ БИР ГАРЫШЫГ  
МӘСӘЛӘНИН ҺЭЛЛИ

Мәгәләдә чубугун рәгс тәзлии үчүн гојулмуш бир гарышыг мәсәләнин һэлли мәхсүс функциялар там систем тәшкүл етмәди жана үчүн алымышдыр.

A. El-Kady

## SOLUTION OF ONE PROBLEM FOR ROD'S OSCILLATIONS EQUATION

In the article the solution of one mixed problem for the rod's oscillations equation, when the system of eigen-functions is incomplete, is obtained in the explicit form

Считается, что заранее заданы форма границ до деформации, главный вектор внешних сил, прижимающих тело  $S_1$  к телу  $S_2$ , напряжения и вращения  $S_1$  и  $S_2$  на бесконечности равны нулю, коэффициент трения между сопряженными поверхностями не равен нулю, а имеет конечное значение  $f$ , участок соприкоснования  $ab$  не задан заранее, а подлежит определению, тело  $S_1$  занимает нижнюю полуплоскость  $S^-$ , тело  $S_2$  — верхнюю  $S^+$ .

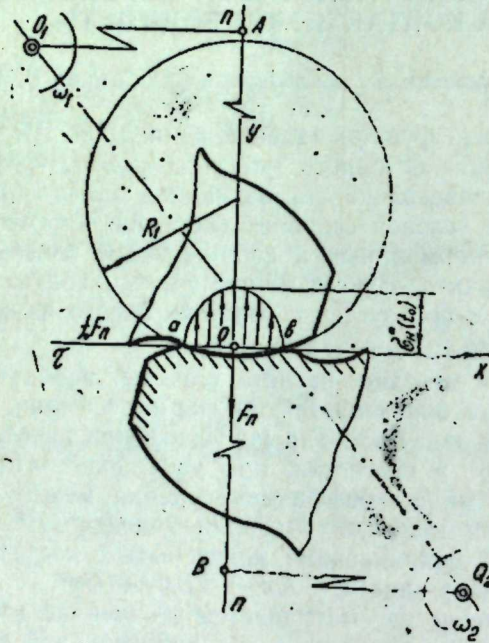


Рис. 1

Пусть  $\Phi_1(z)$  и  $\Phi_2(z)$  — кусочно-голоморфные функции, соответствующие телам  $S_1$  и  $S_2$ . Предполагаем, что на границе упругой полуплоскости под поверхностью зuba шестерни (штампа)  $\tau = fq$ , где  $q, \tau$  обозначают соответственно давление и касательное напряжение,  $f$  — коэффициент трения, предполагаемый постоянным. Границные условия нашей задачи имеют вид

$$\tau(t) = fq(t), v = f(t) + \text{const} \text{ на } L, \tau(t) = q(t) = 0 \text{ вне } L \text{ на } ox, \quad (1)$$

где  $t$  — абсцисса точки оси,  $v$  — проекция смещения на ось  $oy$ ,  $f(t)$  — заданная функция, определяющая профиль зuba шестерни (штампа),

$y = (x)$  — уравнение профиля зuba.

Представляем бигармоническую функцию  $\varphi(x, y)$  двух переменных  $x$  и  $y$  с помощью двух функций комплексного переменного  $z = x + iy, \bar{z} = x - iy$ . При этом уравнение равновесия имеет вид  $\frac{\partial^4 \varphi}{\partial z^2 \partial \bar{z}^2} = 0$  с общим решением  $\varphi = 0,5 [\bar{z}\psi(z) + z\bar{\psi}(\bar{z}) + \chi(z) + \bar{\chi}(\bar{z})]$ , где  $\psi(z), \chi(z)$  — неизвестные аналитические функции комплексной плоскости.

ременной,  $\psi(z), \chi(z)$  — функции, сопряженные с  $\psi(z), \chi(z)$ . Главный вектор (результатирующая сила), действующий по конечной дуге  $ab$ , и главный момент  $M$  рассматриваемых усилий относительно начала координат имеют вид

$$F_x + iF_y = i[\psi(z) + z\bar{\psi}'(\bar{z}) + \bar{\chi}'(\bar{z})]_a^b, M = \operatorname{Re} [\chi(z) - z\bar{\chi}'(z) - z\bar{z}\psi'(z)]_a^b.$$

Обозначив  $\psi'(z) = \Phi(z)$ , согласно § 112 [1] с использованием формулы Колосова — Мусхелишивили получим выражения для компонентов напряжений и перемещений через одну функцию  $\Phi(z)$ , определенную как в верхней, так и в нижней полуплоскости:

$$X_x + Y_y = 2[\Phi(z) + \bar{\Phi}(\bar{z})], \\ Y_y - X_x + 2iX_y = 2[(\bar{z} - z)\Phi'(z) - \Phi(z) - \bar{\Phi}'(\bar{z})], \quad (2)$$

$$Y_y - iX_y = \Phi(z) - \bar{\Phi}(\bar{z}) + (z - \bar{z})\Phi'(z), \\ 2\mu \left( \frac{\partial u}{\partial x} + i \frac{\partial v}{\partial x} \right) = z\Phi(z) + \bar{\Phi}(\bar{z}) - (z - \bar{z})\bar{\Phi}'(\bar{z}). \quad (3)$$

При указанных выше предположениях и обозначениях граничные условия могут быть написаны в виде

$$(1 - if)\Phi^+(t) + (1 + if)\bar{\Phi}^+(\bar{t}) = (1 - if)\Phi^-(t) + (1 + if)\bar{\Phi}^-(\bar{t}), \quad (4)$$

$$x\Phi^-(t) + \Phi^+(t) - x\bar{\Phi}^+(\bar{t}) - \bar{\Phi}^-(\bar{t}) = 4i\mu f'(t), \quad (5)$$

где  $x = \frac{\lambda + 3\mu}{\lambda + \mu} = 3 - 4\nu$ ,  $\nu$  — коэффициент Пуассона,  $\mu, \lambda$  — коэффициенты Ламе.

Формула (3) показывает, что функция  $(1 + if)\bar{\Phi}(z) + (1 - if)\Phi(z)$  голоморфна на всей плоскости, и, так как она должна исчезать на бесконечности, на всей плоскости  $(1 - if)\Phi(z) + (1 + if)\bar{\Phi}(z) = 0$ . Выражая при помощи последней формулы  $\bar{\Phi}(z)$  через  $\Phi(z)$ , получаем граничное условие для  $\Phi(z)$ :

$$\Phi^+(t) = -\frac{x + 1 + if(x - 1)}{x + 1 - if(x - 1)}\bar{\Phi}(t) + \frac{4i\mu(1 + if)f'(t)}{x + 1 - if(x - 1)}. \quad (6)$$

Замечая, что  $x > 1; f > 0$ , предыдущие выражения упрощаем, введя постоянную  $\alpha$ , определяемую условиями

$$\alpha = \frac{1}{\pi} \arctg \left( \frac{x+1}{f(x-1)} \right), 0 \leq \alpha \leq 0,5. \quad (7)$$

Применяя к решению задачи способ, указанный в § 110 [1], после некоторых преобразований и обозначений для функции  $\Phi(z)$ , характеризующей напряженное состояние сопряженных зубьев зубчатых передач, получим

$$\Phi(z) = \frac{2\mu(1 + if)e^{iz\alpha} \cos \pi\alpha}{\pi(x+1)(z-a)^{0.5+\alpha}(b-z)^{0.5-\alpha}} \int_a^b \frac{(t-a)^{0.5+\alpha}(b-t)^{0.5-\alpha}f'(t)}{t-z} dt + \\ + \frac{P_0(1 + if)e^{iz\alpha}}{2\pi(z-a)^{0.5+\alpha}(b-z)^{0.5-\alpha}}. \quad (8)$$

Используя последнюю формулу (2) для определения давления  $p(t)$  в точках  $t_0$  зuba шестерни (штампа), имеем

$$q(t_0) + l\tau(t_0) = q(t_0)(1 + if) = \Phi^+(t_0) - \Phi^-(t_0). \quad (9)$$

Вычислив последнюю разность по формулам Сахоцкого—Племеля, получим уточненное выражение для определения контактного напряжения:

$$\begin{aligned} q(t_0) \equiv \sigma_n^*(t_0) = & -\frac{4\mu \sin \pi \alpha \cos \pi \alpha}{x+1} f'(t_0) + \frac{p_0 \cos \pi \alpha}{\pi(t_0-a)^{0.5+\alpha}(b-t_0)^{0.5-\alpha}} + \\ & + \frac{4\mu \cos^2 \pi \alpha}{\pi(x+1)(t_0-a)^{0.5+\alpha}(b-t_0)^{0.5-\alpha}} \int_a^b \frac{(t-a)^{0.5+\alpha}(b-t)^{0.5-\alpha} f'(t)}{t-t_0} dt. \end{aligned} \quad (10)$$

Если функция  $f(t)$  четная, т. е.  $f(-t) = f(t)$ , то, руководствуясь соображениями симметрии, можно заранее взять  $a = -l$ ,  $b = l$ , где  $l$  определяется из следующего соотношения:

$$\int_0^l \frac{t f'(t) dt}{\sqrt{l^2 - t^2}} = (1 - v^2) \frac{E_1 + E_2}{E_1 E_2} p_0. \quad (11)$$

При этом полагается, что  $v_1 = v_2 = v$ ;  $x_1 = x_2 = x$ ,

$$\mu_1 = \frac{E_1}{2(1+v)}; \quad \mu_2 = \frac{E_2}{2(1+v)}.$$

Если тело зубьев ограничено окружностями радиусов  $R_1$  и  $R_2$ , больших по сравнению с участками соприкасания, то, принимая

$$f(t) = \frac{t^2}{2} \left( \frac{1}{R_1} + \frac{1}{R_2} \right) = \frac{t^2}{\rho}, \quad (12)$$

находим решение (10) в виде

$$\sigma_n^*(t_0) = \frac{\cos^2 \pi \alpha}{\pi \kappa^* l} \frac{1}{\rho} \int_0^l \sqrt{l^2 - t^2} \left( \frac{l+t}{l-t} \right)^\alpha dt + p_0 \frac{\cos \pi \alpha}{\pi l}. \quad (13)$$

Интеграл в формуле (13) не выражается комбинацией элементарных функций, и потому представляем второй множитель в виде ряда Тейлора

$$\left( \frac{l+t}{l-t} \right)^\alpha = 1 + \frac{2\alpha}{l} t + \frac{2\alpha^2}{l^2} t^2 + \dots \quad (14)$$

$$\int_0^l \sqrt{l^2 - t^2} \left( \frac{l+t}{l-t} \right)^\alpha dt = \pi l^2 \left( \frac{1}{4} + \frac{2\alpha}{3\pi} + \frac{\alpha^2}{8} \right).$$

С подстановкой последнего в (13) для определения наибольшего значения контактного напряжения получим следующую формулу:

$$\sigma_n^*(t_0) = \frac{\cos^2 \pi \alpha}{\kappa^* l} \left( \frac{1}{4} + \frac{2\alpha}{3\pi} + \frac{\alpha^2}{8} \right) + p_0 \frac{\cos \pi \alpha}{\pi l}, \quad (15)$$

где

$$\kappa^* = 2(1-v^2)/E_{np}. \quad (16)$$

Учитывая (12) и (16) в соотношении (11), определяем

$$\frac{1}{p_0} \int_0^l \frac{t^2 dt}{\sqrt{l^2 + t^2}} = \frac{\pi l^2}{4\rho} = (1-v^2)p_0/E_{np}, \quad l = 2 \sqrt{\frac{(1-v^2)p_0\rho}{\pi E_{np}}}. \quad (17)$$

Пользуясь формулами (16), (17) в (15), приходим к следующему заключению:

$$\sigma_n^*(t_0) = \left[ \sqrt{2} \left( \frac{1}{4} + \frac{2\alpha}{3\pi} + \frac{\alpha^2}{8} \right) \cos^2 \pi \alpha + \frac{1}{\sqrt{2}} \cos \pi \alpha \right] \sigma_{np} \ll \sigma_{np}, \quad (18)$$

где  $\sigma_n$  — контактное напряжение по Герцу.

Следует заметить, что при  $\alpha=0$  получаем решение для идеального случая, когда между сопряженными поверхностями зубьев трение отсутствует. При этом имеем  $\sigma_n^*(t_0) \approx 1,03066 \sigma_n$ . С использованием (7) и (18) нами построен график зависимости наибольшего контактного напряжения от коэффициента трения между сопряженными поверхностями зубьев зубчатых колес (рис. 2).

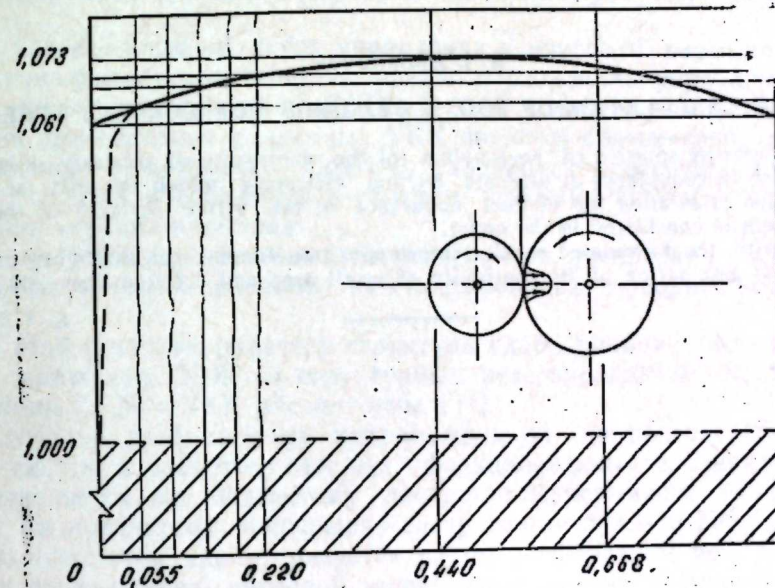


Рис. 2

## ОБСУЖДЕНИЕ РЕЗУЛЬТАТОВ

1. Построен уточненный алгоритм расчета зубчатых передач на контактную выносливость при конечном коэффициенте трения без допущения о малости участка соприкасания и формы границ, что отражает действительное условие их работы. При этом наибольшее значение контактного напряжения превосходит значение контактного напряжения по Герцу на 6%, что имеет практическую ценность для рационального проектирования машин и агрегатов.

2. Используя условия (18), можно оценить нагрузочную способность зубчатых передач с учетом влияния смазки по критерию коэффициента трения. Следует заметить, что это обстоятельство имеет существенное значение для оптимального выбора масел, присадок к ним и конструкций смазочных устройств при проектировании зубчатых передач по минимальным значениям функций цели [2].

## Литература

1. Мусхелишвили Н. И. Некоторые основные задачи математической теории упругости. — М.: Наука, 1966, с. 708. 2. Абдуллаев А. И. Проектирование зубчатых передач по минимальным значениям функций цели. — Изв. вузов СССР. Нефть и газ, 1981, № 12, с. 63—67.

АзПИ им. Ч. Ильдрыма

Поступило 27. XII 1983

А. И. Абдуллаев

### ДИШЛИ ЧАРХ ӨТҮРМЭСИННИН КОНТАКТ МӨҮКӨМЛИЖИНЭ ДӘГИГЛӘШДИРИЛМИШ ІЕСАБЫ

Мөгөләдә дишли чархларын дәгигләшдирilmиш іесабыны гурмаг учүн иктијари формалы ики көрүшән сәттідә сүртүмә омсалыны нәзәрә алмагла контакт мәсәләсина бахылыш.

A. I. Abdullaev

### PRECISED CALCULATION OF TOOTH GEARINGS FOR CONTACT STRENGTH

The precised solution of the problem of the contiguity of arbitrary shaped two bodies close to semiplanes at ultimate friction efficiency which can only take place in reality for calculation for contact endurance of the active surfaces of the tooth gearing teeth is considered in the paper.

Herewith, the formulated problem represents two dimensional analogues of Herts task without assumption of the contiguity of small area and the boundary shape.

## АЗӘРБАЙЧАН ССР ЕЛМЛӘР АКАДЕМИЈАСЫНЫН МӘРУЗӘЛӘРИ

### ДОКЛАДЫ АКАДЕМИИ НАУК АЗЕРБАЙДЖАНСКОЙ ССР

ТОМ XL ЧИЛД

№ 12

1984

УДК 621.391

### ТЕХНИЧЕСКАЯ КИБЕРНЕТИКА

М. В. КАДЖАРОВ

### КЛАССИФИКАЦИЯ СИСТЕМ ОБЕСПЕЧЕНИЯ ЖИВУЧЕСТИ СО СТРУКТУРНЫМ РЕЗЕРВИРОВАНИЕМ

(Представлено академиком АН Азербайджанской ССР А. А. Эфендизаде)

С усложнением объектов управления и контролем, расширением их функциональных характеристик растет и сложность управляющих и контролирующих комплексов УКК. В этих условиях наиболее важной задачей при создании различных УКК является обеспечение их жизнедеятельности — живучести. Поэтому разработка и исследование методов и средств обеспечения живучести сложных систем — весьма актуальная научная проблема.

К настоящему времени наметились пути увеличения живучести посредством резервирования, диагностирования, приоритетного признака и т. д.

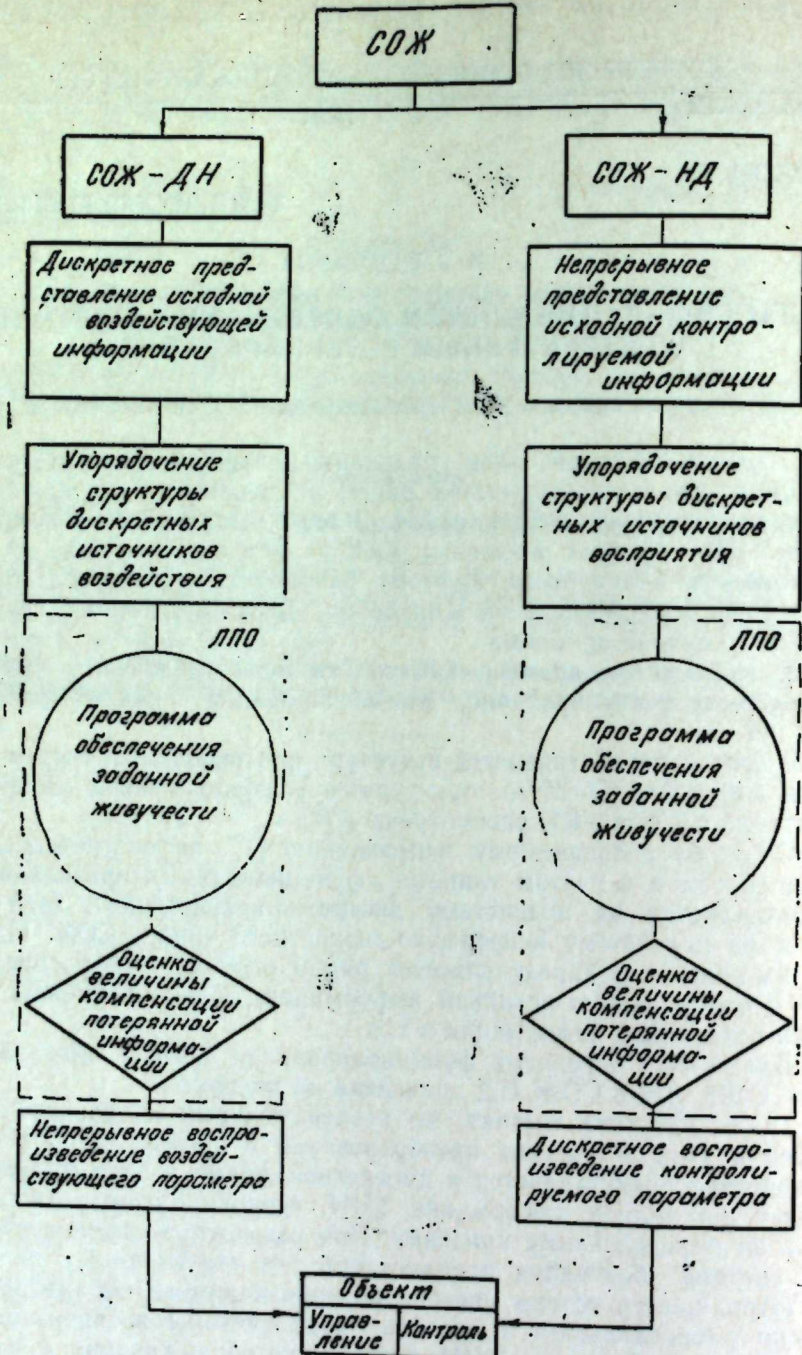
В статье рассматривается структура классификации систем обеспечения живучести СОЖ со структурным резервированием. Вопросы организации СОЖ в УКК рассмотрены в [1].

Согласно развиваемому направлению [1] по обеспечению живучести систем и с учетом главных функциональных признаков СОЖ подразделяется на подсистему дискретно-непрерывного типа — СОЖ ДН и на подсистему непрерывно-дискретного типа — СОЖ НД. Каждая из подсистем характеризуется рядом особенностей по представлению и отображению исходной информации, оценки величины компенсации потерянной информации и т. д.

Блок-схема алгоритма функционирования СОЖ с подразделением ее на СОЖ ДН и СОЖ НД приведена на рисунке.

СОЖ ДН типа состоит из воздействующей и воспроизведяющей частей и узла логических преобразований и оценок ЛПО. Параметр воздействия представляется в дискретной форме в виде множества точечных источников информации ТИИ, сгруппированных (упорядоченных) по определенному признаку. При возможных ограничениях в такой системе благодаря предлагаемой ее структурной организации предотвращается потеря массива воспроизводимого параметра. Общая потеря распределяется в пределах всей системы воспроизведения. В воздействующей системе ТИИ, потерявшие обслуживание, оказываются в окружении задействованных элементов, в результате чего распределение параметра воздействия на объект носит почти непрерывный характер, происходит определенная компенсация действия необслуживаемых ТИИ.

Таким образом, в результате предложенного метода организации СОЖ появляется возможность поддержания заданного режима дея-



тельности (заданной живучести) системы в целом без дополнительных затрат.

СОЖ НД типа имеет структурную организацию подобно СОЖ ДН. И здесь при возможных ограничениях в системе предотвращается выход массива информации из-под контроля; общая потеря воспроизво-

димой информации распределяется в пределах всего пространства состояний системы. ТИИ, потерявшие обслуживание, оказываются в окружении обслуживаемых элементов. По интегральной оценке показаний действующих ТИИ можно в некоторой степени судить о параметре в неконтролируемой части.

Таким образом, благодаря структурной организации СОЖ НД типа появляется возможность выполнения условий по поддержанию заданной жизнеспособности всей системы в целом.

Узел логических преобразований ЛПО включает операции по упорядочению внутренней структуры СОЖ с целью обеспечения программы заданной живучести, а также операцию по оценке величины компенсации действия необслуживаемых ТИИ.

Проведенная классификация СОЖ определяет категорию задач УКК, для решения которых может быть применена одна из рассмотренных подсистем.

#### Литература

1. Каджаров М. В. — Докл. АН АзССР, 1982, т. XXXVIII, № 3, с. 12—16.

АзПИ им. Ч. Ильдырима

Поступило 20. XI 1983

М. В. ГАЧАРОВ

#### ЈАШАМАСЫ ТӘ'МИН ЕДИЛӘН СТРУКТУР РЕЗЕРВЛИ СИСТЕМЛӘРИН ТӘСНИФАТЫ

Мәгәләдә структуру резервленмиш, јашамасы тә'мин едилән системләрин тәснифатының гурулушундан бөлс едилүр. Инкишаф етдирилән истигаматта уйғын олары баҳылан систем јашамасының тә'минатына кәрә дискрет-көсилемәз вә кәсилемәз-дискрет типтән алтисистемләрә бөлүнүр. Ыэр бир алтисистем башлыча функционал әламәтләри илә харakterизә олуныр. Мұвағиғ мәсәләләрин һәллиңде тәснифат тәгдим едилмиш алтисистемләрдән бири төтбиг олұна биләр.

М. В. Кајаров

#### CLASSIFICATION OF THE SYSTEMS FOR SECURING THE VITALITY WITH THE STRUCTURAL RESERVATION

The article considers the structure of suggested classification of the systems securing the vitality with the structural reservation. In accordance with the developing direction the considering system of securing the vitality is subdivided into the subsystems of discrete-continued type, and into the subsystem of continued-discrete type. Each of the subsystems is characterized by main functional features. The classification carried out determines the category of the class of the problems for the solution of which one of the considered subsystems can be used.

Акад. АН АзССР Э. Ю. САЛАЕВ, Х. Д. ДЖАЛИЛОВА, Э. И. КУРБАНОВА,  
Э. К. ГУСЕЙНОВ

### СТРУКТУРА И ФОТОЭЛЕКТРИЧЕСКИЕ СВОЙСТВА ЭПИТАКСИАЛЬНЫХ СЛОЕВ $Pb_{1-x}Sn_xTe$ ( $0,15 \leq x \leq 0,3$ ), ЛЕГИРОВАННЫХ ИНДИЕМ

Эпитаксиальные слои  $Pb_{1-x}Sn_xTe$  толщиной 30–80 мкм выращивались методом фотостимулированной эпитаксии на подложках  $PbTe$  (100),  $Pb_{1-x}Sn_xTe$  (100) и  $BaF_2$  (III), (100) [1]. В процессе роста эпитаксиальные слои легировались индием в количестве 0,1–0,7 ат. %. Измерения полуширины рентгенодифракционных кривых и кривых качания показали, что структурное совершенство легированных индием эпитаксиальных слоев  $Pb_{0,8}Sn_{0,2}Te$  находится на уровне лучших монокристаллов [2], полученных из газовой фазы (см. таблицу).

Состав	$\Delta\theta/2\theta$ , град	$\omega$ , град
$Pb_{0,8}Sn_{0,2}Te:In$ (ЭС)	0,07	0,17
$Pb_{0,8}Sn_{0,2}Te$ (моноокристалл)	0,08	0,14
$Pb_{0,8}Sn_{0,2}Te$ (отожженный)	0,15	1,0

Проведены исследования распределения примеси индия в выращенных эпитаксиальных слоях. Концентрацию и однородность распределения индия в слоях определяли с помощью локального рентгеноспектрального анализа на установке «Сотовах» как на сколах выращенных структур, так и послойно с применением метода последовательного стравливания слоев. На рис. 1 показано распределение индия

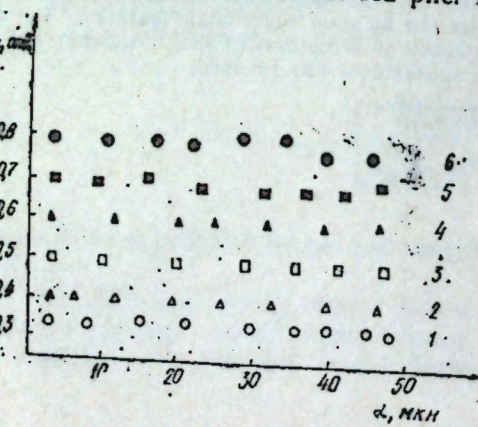


Рис. 1. Распределение примеси индия в эпитаксиальных слоях  $Pb_{0,82}Sn_{0,18}Te$  с различным содержанием индия:  
1— $C_{In}=0,35$ ; 2— $C_{In}=0,4$ ; 3— $C_{In}=0,5$ ; 4— $C_{In}=0,6$ ; 5— $C_{In}=0,7$ ; 6— $C_{In}=0,7$  ат. %

по толщине эпитаксиального слоя для образцов с различным содержанием индия. Найдено, что в случае введения большого количества индия ( $C_{In}>0,6$  ат. %) наблюдается неоднородность в распределении его, а в случае  $C_{In}<0,6$  ат. % индий однородно распределен как по толщине, так и по поверхности эпитаксиального слоя. Эти данные хорошо согласуются с данными по измерению электрофизических свойств исследованных слоев [3].

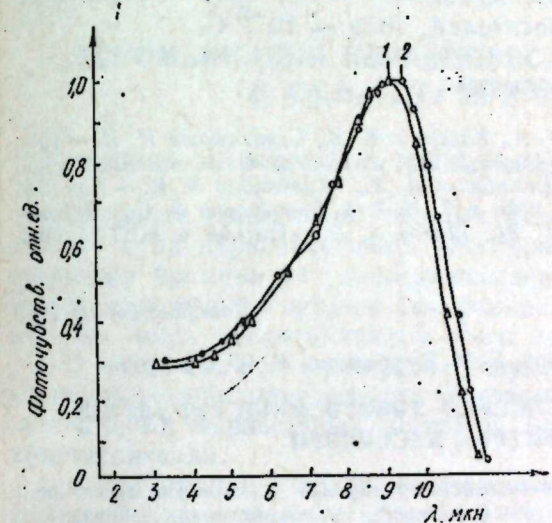


Рис. 2. Распределение спектральной зависимости фоточувствительности пленок  $Pb_{0,82}Sn_{0,18}Te:In$  (кр. 1) и  $Pb_{0,78}Sn_{0,22}Te$  (кр. 2)

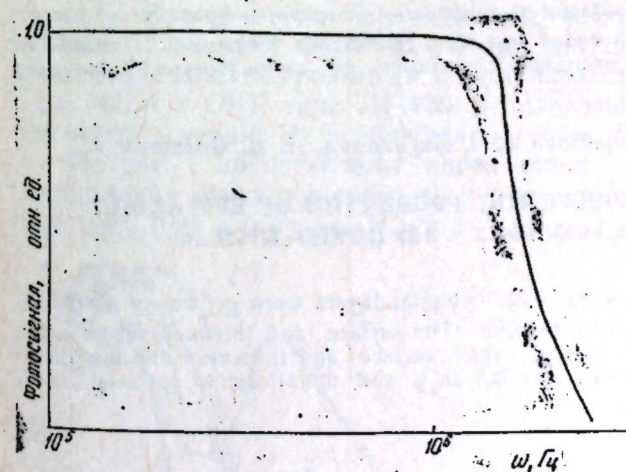


Рис. 3. Зависимость фотосигнала эпитаксиальных слоев  $Pb_{0,82}Sn_{0,18}Te:In$  от частоты

Эпитаксиальные слои обладали фоточувствительностью в интервале температур 77–220К. Относительные спектральные характеристики фоточувствительности эпитаксиальных пленок измерялись на установке, созданной на базе монохроматора «Цейс» SPM-2 при частоте модуляции 1200 Гц. На рис. 2 представлены спектральные зависимости фоточувствительности образцов  $Pb_{0,82}Sn_{0,18}Te$  (кр. 1) и  $\epsilon Pb_{0,82}Sn_{0,18}Te:In$  ( $C_{In}>0,4$  ат. %) (кр. 2). Вычисленные значения ширины запрещенной зоны составляют 0,13 и находятся в согласии со значениями шириной запрещенной зоны, вычисленными другими мето-

дами [4]. На рис. 3 представлена зависимость фотосигнала исследуемых эпитаксиальных слоев от частоты модуляции падающего излучения. Измерение времени жизни проводилось методом определения граничной частоты фотооклика  $Pb_{0.82}Sn_{0.18}Te$  на установке, выполненной на базе одномодового стабилизированного лазера ЛГ-74 и электрического модулятора МЛ-7. Время жизни носителей определялось по формуле  $\tau = \frac{1}{2\pi f_{gr}}$ , где  $f_{gr}$  — граничная частота, при которой фотооклик равен  $\eta(f_{gr}) = 0.71 \eta(f_0)$ , где  $f_0$  — начальная частота. Вычисленное значение времени жизни носителей тока  $\sim 10^{-7}$  с.

#### Литература

1. Александров О. В., Калюжная Г. А., Киселева К. В., Строганкова Н. И. — Изв. АН СССР. Неорганич. мат.-лы, 1978, т. 14, № 7, 1277.
2. Nortrop D. A. — J. Electrochim. Soc., 1971, v. 118, № 8, p. 1365.
3. Джалилова Д. Х., Курбанова Э. И. — Изв. АН АзССР. Сер. физ.-техн. и матем. наук, 1982, т. 2, № 2.
4. Виноградов В. С., Воронова И. Д., Калюжная Г. А., Рагимова Т. Ш., Шотов А. П. — Письма в ЖЭТФ, 1980, т. 32, вып. 1, с. 22—26.

Поступло 23. III 1983

Е. Ю. Салаев, Х. Д. Чалилова, Е. И. Гурбанова, Е. К. Гусейнов

#### $Pb_{1-x}Sn_xTe$ ( $0.15 < x < 0.3$ ) ЭПИТАКСИАЛ ТӘБӘГӘСИННИҢ ГУРУЛУШУ ВӘ ФОТОЕЛЕКТРИК ХАССӘЛӘРИ

Фотостимуллаштырылмыш газ епітаксијасы методу илә јетишди्रмә просесинде индиумла ( $0.1 < C_{In} < 0.7$  ат. %) ашгарланмыш монокристаллик епітаксиал  $Pb_{1-x}Sn_xTe$  ( $0.15 < x < 0.3$ ) тәбәгәләри алыныштыр. Рентгенодифракција вә рәгсетмә әэриләриниң ярыменинниң өлчүлмәсі алыныш епітаксиал тәбәгәләрин тамырыны көстәрир. Индиум ашгарынын тәбәгәниң галынығы вә үсәтһи ғојуунча пајланмасы тәдгиг едилмишdir.

Е. Ю. Салаев, Н. Д. Чалилова, Е. И. Курбанова, Е. К. Гусейнов

#### STRUCTURE AND PHOTOELECTRIC PROPERTIES OF EPITAXIAL LAYERS $Pb_{1-x}Sn_xTe$ ( $0.15 < x < 0.3$ ) DOPED WITH In

In doped  $Pb_{1-x}Sn_xTe$  ( $0.15 < x < 0.3$ ) epitaxial layers were grown by a photo-stimulated vapour transport epitaxy technique. The surface and thickness distribution of In addition is researched. It is noticed, that surface and thickness distribution of In is uniform in epitaxial layers with  $In < 0.6$  at. % and ununiform in epitaxial layers with  $In > 0.6$  at. %.

АЗЭРБАЙЧАН ССР ЕЛМЛӘР АКАДЕМИЈАСЫНЫН МӘРҮЗӘЛӘРИ

ДОКЛАДЫ АКАДЕМИИ НАУК АЗЕРБАЙДЖАНСКОЙ ССР

ТОМ XL ЧИЛД

№ 12

1984

УДК 621. 315.592

ФИЗИКА ПОЛУПРОВОДНИКОВ

Д. Ш. АБДИНОВ, Ф. М. НОВРУЗОВА, ЭЛЬ. Ю. САЛАЕВ, Г. С. СЕИДЛИ,  
А. Ш. АБДИНОВ

#### РЕКОМБИНАЦИЯ НЕРАВНОВЕСНЫХ НОСИТЕЛЕЙ ТОКА В $Cd_xHg_{1-x}Te$ ПРИ $0.54 < x < 0.92$

(Представлено академиком АН Азербайджанской ССР Э. Ю. Салаевым)

Широкое применение твердых растворов  $Cd_xHg_{1-x}Te$  неразрывно связано с их неравновесными электронными свойствами. Однако к настоящему времени как экспериментально, так и теоретически более-менее достаточно изучены генерационно-рекомбинационные характеристики лишь монокристаллов этого материала при  $x < 0.50$  [1—6].

В данной статье приведены результаты исследования генерационно-рекомбинационных свойств монокристаллов  $p-Cd_xHg_{1-x}Te$  ( $0.54 < x < 0.92$ ), выращенных методом Бриджмена и твердотельной рекристаллизации.

Концентрация и подвижность дырок в изучаемых образцах при  $T = 80$  К составляли соответственно  $(0.5—3.0) \cdot 10^{15} \text{ см}^{-3}$  и  $(3—5) \cdot 10^2 \text{ см}^2$  (В.с.).

Время жизни неравновесных носителей тока измерялось по кривым релаксации фототока [7] при освещении прямоугольными импульсами света, полученными с помощью электрооптического модулятора МЛ-4 и ОКГ типа ЛГ-126, в диапазоне температур 77—300 К и при низком уровне их возбуждения (когда ЛАХ фототока линейная).

На рис. 1 представлены характерные кривые спектрального распределения фотопроводимости в образцах  $p-Cd_xHg_{1-x}Te$  с  $x = 0.5$ , 0.60, 0.65, 0.83 и 0.92 при  $T = 77$  К. Как видно, для всех изучаемых сос-

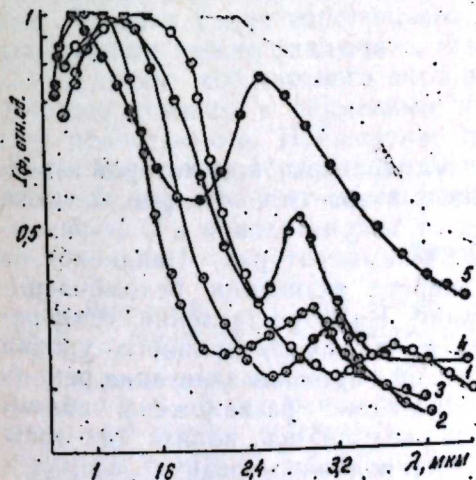


Рис. 1. Спектральное распределение фотопроводимости в монокристаллах  $p-Cd_xHg_{1-x}Te$  при  $T=77$  К:  
1 —  $x = 0.54$ ; 2 — 0.60; 3 — 0.65; 4 — 0.83; 5 — 0.92

тавов, кроме основных максимумов, за краем фундаментального поглощения наблюдаются еще дополнительные, которые с увеличением  $x$  на оси  $\lambda$  смещаются к основным. Их амплитуда при этом также увеличивается. Например, для образцов с  $x=0,92$  при оптимальных условиях она составляет 80% от амплитуды основного максимума. Из кривых спектрального распределения фотопроводимости, снятых при различных температурах в диапазоне 77–300 К, определены ширина запрещенной зоны ( $\epsilon_g$ ) и ее температурный коэффициент ( $d\epsilon_g/dT$ ) для изучаемых образцов. Полученные результаты приведены в таблице.

$x$	$\epsilon_g$ , эВ	$\frac{d\epsilon_g}{dT}$ эВ/град	$E_F$ , мэВ	Тип проводимости	Конц-ия носителей, $n_p$ , $\text{см}^{-3}$	$\mu$ , ( $\text{см}^2/\text{В}\cdot\text{с}$ )
0,54	0,08	$3 \cdot 10^{-3}$	0,54	$p$	$1,5 \cdot 10^{16}$	63
0,60	0,81	$3 \cdot 10^{-3}$	0,68	$p$	$5 \cdot 10^{16}$	14,8
0,65	0,93	$7 \cdot 10^{-2}$	0,68	$p$	$0,8 \cdot 10^{15}$	356
0,83	1,14	$1,2 \cdot 10$	0,65	$p$	$2,5 \cdot 10^{15}$	361
0,92	1,32	$5 \cdot 10^{-3}$	0,73	$p$	$6 \cdot 10^{16}$	13,6

На рис. 2 показана температурная зависимость времени жизни носителей тока ( $\tau$ ). В области  $T < 200$  К  $\tau$  определяется наличием рекомбинационных центров в запрещенной зоне изучаемых кристал-

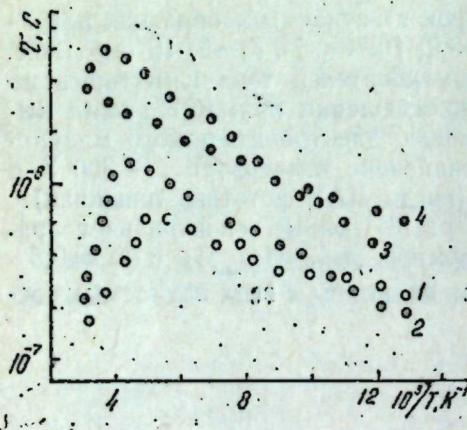


Рис. 2. Температурная зависимость времени жизни неравновесных носителей тока в моноокристаллах  $p\text{-Cd}_x\text{Hg}_{1-x}\text{Te}$ :  
1 —  $x = 0,54$ ; 2 —  $0,60$ ; 3 —  $0,65$ ; 4 —  $0,92$

лов, а с дальнейшим ростом  $T$  до температуры, при которой начинает доминировать Оже-рекомбинация, возрастает. Из рис. 2 также видно, что с увеличением  $x$  переход от излучательной к Оже-рекомбинации происходит при более высоких температурах. Найденное из наклона зависимости  $\tau(T)$  значение энергии активации рекомбинационных центров ( $\epsilon_r$ ) приведено в таблице. Из сопоставления температурных зависимостей уровня Ферми  $E_F$  и демаркационного уровня для электронов  $E_D$  [6,8] с энергетической глубиной залегания рекомбинационных центров следует, что последние расположены вблизи потолка валентной зоны. Если бы они находились вблизи дна зоны проводимости, то тогда можно было предположить резкую асимметрию коэффициентов захвата на них электронов и дырок.

Как известно, для детального изучения особенностей Оже-рекомбинации в кристаллах  $p\text{-Cd}_x\text{Hg}_{1-x}\text{Te}$  необходимо сравнение температурных зависимостей времени жизни носителей тока в образцах  $p$ - и  $n$ -типа, проводимости одинакового состава ( $x$ ). Нужные для этого кристаллы  $n\text{-Cd}_x\text{Hg}_{1-x}\text{Te}$  (при  $x=0,60$ ) получались нами путем отжига  $p$ -типа кристаллов в насыщенных парах ртути. При  $T=77$  К концентрация и подвижность свободных электронов в них оказались соответственно  $3 \cdot 10^{14} \text{ см}^{-3}$  и  $7 \cdot 10^3 \text{ см}^2/(\text{В}\cdot\text{с})$ . На рис. 3 приведена температурная зависимость времени жизни неравновесных носителей тока для  $p$ - (кр. 1) и  $n$ -типа (кр. 2) образцов, а также расчетная кривая зависимости  $\tau(T)$  при Оже-рекомбинации в собственном полупроводнике (кр. 3). Необходимые для расчета значения отдельных парамет-

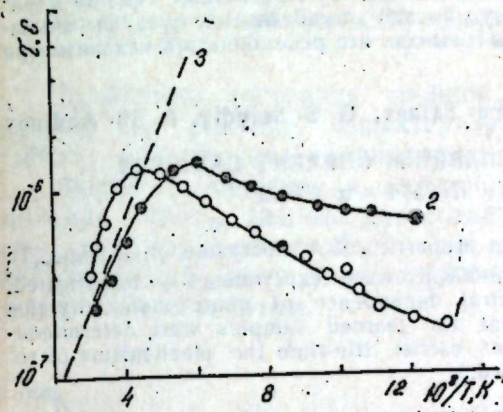


Рис. 3. Температурная зависимость времени жизни неравновесных носителей тока

ров взяты из [9]. Как видно из рисунка, при  $T > 150$  К (где преобладает собственная проводимость) экспериментальные кривые зависимости  $\tau(T)$  хорошо совпадают с расчетными, а в  $p$ -типа образцах при  $T > 180$  К наблюдается характерный сдвиг ее в сторону высоких температур, имеющих место в материале с собственной проводимостью.

Таким образом, для  $p$ -типа кристаллов при доминировании Оже-рекомбинации экспериментально показана возможность достижения значений времени жизни носителей тока, превышающих соответствующие значения  $\tau$  для собственного полупроводника. На основе вышеизложенного можно заключить, что обнаруженные в изучаемых образцах за краем собственного поглощения дополнительные максимумы фототока связаны с примесным поглощением акцепторный уровень зоны проводимости. Наблюдение примесной фотопроводимости такого типа в изученных составах  $x$  облегчается высокой концентрацией собственных дефектов и их самокомпенсацией.

#### Литература

- Petersen P. E.—J. Appl. Phys., 1970, v. 41, № 8, p. 3465–3472.
- Андрюшин М. Г., Малькова В. А., Иванов—Омский В. И., Огородников В. К., Тотиева Г. Ц.—ФТП, 1979, т. 13, вып. 2, с. 362–365.
- Иванов—Омский В. И., Курбанов К. Р., Малышева В. А.—ФТП, 1983, т. 17, вып. 1, с. 27–30.
- Писаревский В. К., Савицкий В. Г.—В ин.: Мат-лы V Всесоюз. симпозиума: Полупроводники с узкой запрещенной зоной и полуметаллы. Львов, 1980, ч. II, с. 143–144.
- Allarge J.—Infrared Phys., 1982, № 9, p. 65–75.
- Блекмор Эд. Статистика электронов в полупроводниках.—М.: „Мир“, 1965.
- Рывкин С. М. Фотоэлектрические явления в полупроводниках.—М.: „Мир“, 1965.

нолупроводниках.—М.: Физматгиз, 1963, с. 496. 8. Kinch M. A., Brau M. J., Simons A.—J. Appl. Phys., 1973, v. 44, p. 1649—1663. 9. Соболев В. В. Энергетическая структура узкозонных полупроводников.—Кишинев: Штиинца, 1983.

Поступило 13. VII 1984

Ч. Ш. Абдинов, Ф. М. Новрузова Ел. Ю. Салаев, Г. С. Сейидли,  
Э. Ш. Абдинов

### **Cd<sub>x</sub>Hg<sub>1-x</sub>Te (0,54 < x < 0,92) МОНОКРИСТАЛЛАРЫНДА ГЕРИ-ТАРАЗ ЖУКДАШЫЛЫЧЫЛАРЫН РЕКОМБИНАСИЯСЫ**

*p*-Cd<sub>x</sub>Hg<sub>1-x</sub>Te (0,54 < x < 0,92) монокристалларында тәчруби олараг 77—300 К температур интервалында кенерасија-рекомбинасија хассәләри тәдгиг олунмушшур. Фотокечирүчилүү спектрал пайланма асылылығындан бу маддәләрин гадаған олунмуш зонанын енержи  $E_g$  өзүң онын температур өмсалы несабланыш, жукдашылышыларын јашама мүддәттинин температур асылылығындан исә рекомбинасија механизмләри мүэйжүн олунмушшур.

D. Sh. Abdinov, F. M. Novruzova, El. Yu. Salaev, G. S. Seiydly, A. Sh. Abdinov

### **RECOMBINATION OF NON-EQUILIBRIUM CURRENT CARRIERS IN *p*-Cd<sub>x</sub>Hg<sub>1-x</sub>Te IN 0,54 < x < 0,92**

In the article generation-recombination properties of monocrystals *p*-Cd<sub>x</sub>Hg<sub>1-x</sub>Te in 0,54 < x < 0,92 in temperature range 77—300 K were experimentally investigated. At the foundation of analyses of the spectral dependence of photoconductivity the band gap  $E_g$  and its temperature coefficient for learned samples were determined. From the temperature dependence of current carrier life-time the mechanisms of recombination in these materials were obtained.

АЗЭРБАЙЧАН ССР ЕЛМЛЭР АКАДЕМИЈАСЫНЫН МӘРҮЗӘЛӘРИ

ДОКЛАДЫ АКАДЕМИИ НАУК АЗЕРБАЙДЖАНСКОЙ ССР

ТОМ XL ЧИЛД

№ 12

1984

УДК 546.717.12-31:66-971

ФИЗИЧЕСКАЯ ХИМИЯ

И. Я. АЛИЕВ, Ф. М. МУСТАФАЕВ, С. Д. БАГИРОВА, А. С. АББАСОВ

### **ТЕРМОДИНАМИЧЕСКОН ИССЛЕДОВАНИЕ СИСТЕМЫ**

**Cr<sub>2</sub>S<sub>3</sub>—Cd<sub>2</sub>S<sub>3</sub>**

(Представлено академиком АН Азербайджанской ССР Ч. М. Джуварлы)

Диаграмма состояния тройной системы Cd<sub>2</sub>S<sub>3</sub>—Cr<sub>2</sub>S<sub>3</sub> [1], приведенная на рисунке, характеризуется единственным соединением GdCrS<sub>3</sub>, обладающим полупроводниковые свойствами.

Физико-химические и особенно термодинамический свойства соединения GdCrS<sub>3</sub>, важные для создания основ технологий его получения, не изучены вообще. Для исследования термодинамических свойств GdCrS<sub>3</sub> нами был применен метод электродвижущих сил с жидким электролитом.

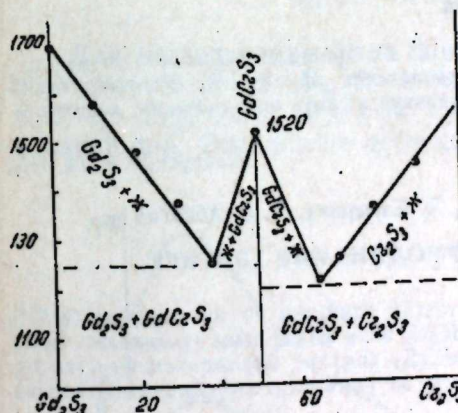


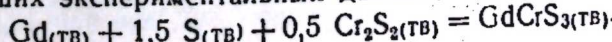
Диаграмма состояния системы Cd<sub>2</sub>S<sub>3</sub>—Cr<sub>2</sub>S<sub>3</sub>

Были измерены эдс концентрационных относительно электродов электрохимических цепей вида

(—) Gd<sub>(тв.)</sub> | KF, глицерин, CdF<sub>3</sub> || [(Gd<sub>2</sub>S<sub>3</sub>)<sub>x</sub> (Cr<sub>2</sub>S<sub>3</sub>)<sub>1-x</sub>]<sub>(тв.)</sub> (+) (1)  
в интервале температур 310—420 К и при концентрации  $x_{Gd,S} = 0,20—0,80$ . Температурная зависимость эдс для сплавов составов, относящихся к фазовой области GdCrS<sub>3</sub>—Cr<sub>2</sub>S<sub>3</sub>, описывается линейным уравнением

$$E = (0,502 + 0,027 \cdot T \cdot 10^{-3}) \pm 10 \cdot 10^{-3} \text{ В.}$$

Термодинамические функции образования, вычисленные на основании наших экспериментальных данных, относятся к реакции



Вычисления произведены для температуры 298 К. Полученные результаты приведены ниже:  $\Delta G_{298}^0 = -147,0 \pm 0,8$  кДж/моль;  $\Delta H_{298}^0 = -144,5 \pm 20,9$  кДж/моль;  $\Delta S_{298}^0 = -8,4 \pm 2,1$  Дж/(моль·К).

Комбинируя наши данные со справочными значениями термодинамических функций образования  $\text{Cr}_2\text{S}_3$ , заимствованными из [2], мы рассчитали энергию Гиббса, энталпию и энтропию образования  $\text{GdCrS}_3$  из твердых чистых компонентов:  $\Delta G_{298}^0 = -336,0 \pm 5$  кДж/моль;  $\Delta H_{298}^0 = -336,0 \pm 17$  кДж/моль;  $\Delta S_{298}^0 = 4,6 \pm 0,9$  Дж/(моль·К);  $S_{298}^0 = 149,1 \pm 0,9$  Дж/(моль·К). На основании полученных данных, а также используя сведения по термодинамическим функциям атомизации элементов Gd, Cr, S, мы рассчитали энергию Гиббса, энталпию и энтропию атомизации  $\text{GdCrS}_3$ :  $\Delta G_{298}^{\text{ат}} = 883,0 \pm 20$  кДж/моль;  $\Delta H_{298}^{\text{ат}} = 889,0 \pm 45$  кДж/моль;  $\Delta S_{298}^{\text{ат}} = 471,0 \pm 60$  Дж/моль. К.

### Выводы

Методом измерения эдс подтверждено существование тройного соединения  $\text{GdCrS}_3$  в системе  $\text{Gd}_2\text{S}_3 - \text{Cr}_2\text{S}_3$ . Впервые определены стандартные значения энергии Гиббса, энталпии и энтропии образования, а также энтропии  $\text{GdCrS}_3$ . Рассчитаны термодинамические функции атомизации  $\text{GdCrS}_3$ , которые указывают на энергетическую прочность связи соединения.

### Литература

- Рустамов П. Г., Алиев О. А., Курбанов Т. Г. Тройные халькогениды редкоземельных элементов. — Баку: Элм, 1981.
- Карапетьянц М. Х., Карапетьянц М. Л. Основные термодинамические константы неорганических и органических веществ. —

Институт физики АН АзССР

Поступило 8. IX 1982

И. Я. Элиев, Ф. М. Мустафаев, С. Д. Бағырова, А. С. Аббасов

### $\text{Cr}_2\text{S}_3 - \text{Gd}_2\text{S}_3$ СИСТЕМИНИН ТЕРМОДИНАМИК ТӘДГИГІ

Е. Һ, Г методу илә  $\text{Cr}_2\text{S}_3 - \text{Gd}_2\text{S}_3$  системи тәдгіг едилмиш вә бу системдә  $\text{GdCrS}_3$  фазасыны мөвчудлугү төсдиг олунмушадур.  $\text{GdCrS}_3$  бәрк фазасының эмәләкәлмә термодинамик функциялары тә'жин едилмишdir.  $\text{GdCrS}_3$  кимjови бирлашмасынни стандарт термодинамик параметрләри, мүтләг энтропијасы вә һәмчинин атомлашма термодинамик функциялары һесабланышдыр.

I. Ya. Aliyev, F. M. Mustafayev, S. D. Bagirova, A. S. Abbasov

### THERMODYNAMIC STUDY OF $\text{Cr}_2\text{S}_3 - \text{Gd}_2\text{S}_3$ SYSTEM

The emf method is used for thermodynamic study of the  $\text{Cr}_2\text{S}_3 - \text{Gd}_2\text{S}_3$  system and for proving the presence of the  $\text{GdCrS}_3$  phase. The Gibbs energy, enthalpy and entropy of the formation of  $\text{GdCrS}_3$  phase are determined. The absolute entropy and atomization functions of  $\text{GdCrS}_3$  are also determined.

АЗЭРБАЙЧАН ССР ЕЛМЛЭР АКАДЕМИЯСЫНЫН МЭРҮЗЭЛЭРИ

ДОКЛАДЫ АКАДЕМИИ НАУК АЗЕРБАЙДЖАНСКОЙ ССР

ТОМ XL ЧИЛД

№ 12

1984

УДК 535.34.2:549.73

### ФИЗИЧЕСКАЯ ХИМИЯ

Р. Р. ХАНКИШИЕВ, Ф. М. МИР-ГАШИМОВ, Б. М. АЛИЕВ,  
А. Д. КУЛИЕВ, Ф. В. АЛИЕВ, акад. АН АзССР Т. И. ШАХТАХТИНСКИЙ

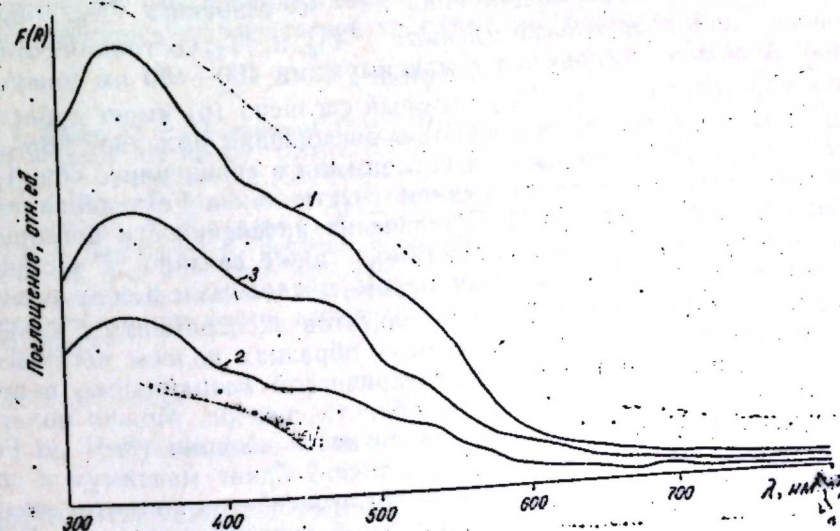
### СПЕКТРОФОТОМЕТРИЧЕСКОЕ ИССЛЕДОВАНИЕ МАГНИЙФЕРРИТСОДЕРЖАЩЕГО КАТАЛИЗАТОРА

Ранее были опубликованы результаты определения фазового состава и изучения фазовых превращений в магнийферритсодержащей системе [1]. Было показано, что фаза  $\alpha = \text{Fe}_2\text{O}_3$ , входящая в состав этой окисной системы, под воздействием реакционной среды полностью переходит в фазу  $\text{Fe}_3\text{O}_4$ , а фазы  $\text{MgFe}_2\text{O}_4$  и  $\text{MgO}$  практически не претерпевают изменений.

В данной статье приводятся данные по изучению электронной структуры указанной катализитической системы методом диффузного отражения.

### ЭКСПЕРИМЕНТАЛЬНАЯ ЧАСТЬ

Для исследования были взяты следующие образцы: 1 — свежеприготовленный  $\text{MgFe}_2\text{O}_4$ , 2 — свежеприготовленный  $\text{MgFe}_2\text{O}_4 + 10\%$ -ный  $\text{K}_2\text{O}$ , 3 —  $\text{MgFe}_2\text{O}_4 + 10\%$ -ный  $\text{K}_2\text{O}$ , обработанный смесью углеводород + водяной пар. Оптические исследования образцов проводили на спектро-



Спектры диффузного отражения:  
— свежеприготовленный  $\text{MgFe}_2\text{O}_4$ ; 2 — свежеприготовленный  $\text{MgFe}_2\text{O}_4 + 10\%$ -ный  $\text{K}_2\text{O}$   
3 —  $\text{MgFe}_2\text{O}_4 + 10\%$ -ный  $\text{K}_2\text{O}$ , обработанный смесью углеводород + водяной пар

фотометре СФ-4А, оборудованном приставкой ПДО-1. Относительный коэффициент диффузного отражения —  $R$  определяли из соотношения  $R = I/I_0$ , где  $I_0$  и  $I$  — интенсивности света, отраженного от эталона и исследуемого образца. В качестве эталона был взят  $MgO$ .

Результаты исследований проиллюстрированы на рисунке, где приведены спектры диффузного отражения обр. 1, 2, 3 (соответственно кр. 1, 2, 3). На рисунке по оси ординат отложены относительные значения функции  $F(R)$ , которая описывает ход кривой поглощения и имеет вид [2].

$$F(R) = \frac{(1-R)^2}{2R}.$$

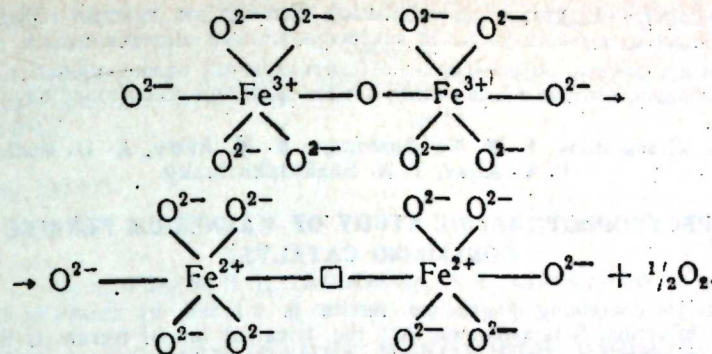
### ОБСУЖДЕНИЕ РЕЗУЛЬТАТОВ ЭКСПЕРИМЕНТА

Изучение влияние окиси калия в железоокисных катализаторах на селективность образования стирола и исследовав зависимость селективности от степени окисления системы, авторы работы [3] установили, что наилучшие значения селективности стирола соответствуют состоянию системы в виде  $Fe_3O_4$  с избытком  $Fe^{2+}$ . Также доказано, что добавки окиси калия способствуют восстановлению катализатора.

В [4] указано, что восстановление трехвалентного железа до двухвалентного в ферритах связано с образованием анионных вакансий путем удаления части кислорода из решетки шпинели.

Как видно из приведенного рисунка, спектры характеризуются поглощением в ультрафиолетовой и видимой областях с максимумами поглощения при 335—345, 460—480 и 520—550 нм. Согласно данным [5] в условиях наших опытов образуется трехвалентный ион железа в октаэдрической координации с шестью ионами  $O^{2-}$ . Наблюдаемые в спектрах полосы поглощения с максимумами при 335—345 и 520—550 нм можно отнести к переходам иона  $Fe^{3+}$  из основного  $^6A_{1g}$ -низко спинового состояния в возбужденные  $^4T_{1g}$  и  $^4T_{2g}$  состояния соответственно. А полосы поглощения с максимумами 460—480 нм можно отнести к переходу  $^6A_{1g} \rightarrow ^4E_g$ , который согласно (6) имеет дублетную природу. Наибольшей интенсивностью поглощения обладает обр. 1. В обр. 2 уменьшение интенсивности поглощения в сравнении с обр. 1, по-видимому, связано с восстановлением части ионов  $Fe^{3+}$  добавлением соединений калия согласно [2]. Увеличение интенсивности поглощения в обр. 3 в сравнении с обр. 2, видимо, также связано с частичным окислением катализатора водяным паром, подаваемым в зону реакции.

Сравнение полученных нами результатов эксперимента с данными [5] указывает на то, что в исследуемых образцах полосы поглощения, характеризующие ионы  $Fe^{3+}$  в октаэдрической координации, в целом сдвинуты в более коротковолновую область спектра. Можно полагать, что в наших условиях понижение валентности катиона ( $Fe^{3+}$  до  $Fe^{2+}$ ) связано с образованием анионных вакансий. Сдвиг максимумов полос поглощения в более коротковолновую область спектра при этом связана, по-видимому с искажением октаэдрической координации ионов  $Fe^{3+}$  в результате образования анионных вакансий, сопровождающихся дефектностью решетки феррита согласно данным [4]. Схематично происходящий процесс можно рассматривать в виде



Образование анионных вакансий, т. е. удаление части кислорода решетки катализатора, подтвердила результаты проведенных нами термодесорбционных экспериментов. В системе  $MgFe_2O_4$  обнаружены четыре термодесорбционных пика с температурами максимумов десорбции соответственно 120, 270, 430 и за  $700^\circ C$ , а в системе  $MgFe_2O_4 + 10\%-ный K_2O$  — только один десорбционный пик — с температурным максимумом за  $700^\circ C$ , который можно отнести к форме кислорода решетки согласно данным [7].

Можно полагать, что окись калия способствует восстановлению иона  $Fe^{3+}$  в октаэдрической координации и образованию анионных вакансий. Этим и объясняется факт уменьшения интенсивности поглощения в обр. 2, 3 по сравнению с обр. 1.

### Выводы

Установлено, что в феррите  $MgFe_2O_4$  трехвалентный ион железа находится в октаэдрической координации.

Добавление окиси калия в систему, по-видимому, способствует образованию анионных вакансий в результате удаления части кислорода решетки, что сопровождается понижением валентности части  $Fe^{3+}$  и искажением октаэдрической координации последнего.

### Литература

1. Алиев Ф. В., Ханкишиев Р. Р., Эюбова С. М., Кулев А. Д., Шахтахтинский Т. Н. — Докл. АН АзССР, 1981, т. XXXVII, № 12, с. 38—41.
2. Кортюм Г., Браун В., Герцог Г. — УФН, 1965, т. 85, вып. 2, с. 365.
3. Хаттори Т., Мураками Ю. И. и М. Утида Х. Влияние окиси калия на свойства железоокисных катализаторов. — РЖХим., 1970, 1970, 11Б1675.
4. Журавлев Г. И. Химия и технология ферритов. — Л.: Химия, 1970, с. 108.
5. Бальхузен К. Введение в теорию поля лигандов. — М.: Мир, 1964, с. 307.
6. Duir M., Low W. — Phys. Rev., 1960, v. 119, p. 1587.
7. Явомото М. и др. Исследование окиснометаллических катализаторов методом термодесорбции. З. Образование и реакционная способность кислорода, адсорбированного на окиси железа. — РЖХим., 1979, 8Б1136.

Поступило 25. XI 1982

ИТПХТ АН АзССР

Р. Р. Ханкишиев, Ф. М. Мирназимов, Б. М. Элиев, А. Д. Гулиев,  
Ф. В. Элиев, Т. Н. Шахтахтински

МАГНЕЗИУМ-ФЕРРИТ ТЭРКИБЛИ КАТАЛИЗАТОРУН СПЕКТРОФОТОМЕТРИК ТЭДГИГИ

Магнезиум-феррит тэркибли катализатор диффузия экстрем методу илэ тэдгиг олунмушдур. Мүәյжүн едилмишдир ки, бу катализаторда учвалентли дэмир иону октаэдрик координасијада јерләшир.

Системә калиум-оксидинин әлавә өдилмәси, еңтимал кү, кристал гәфесинин оксигенниң ажырлымасы иштичәсинде анион вакансияларының әмәләкәлмәсина сәбәб олур. Анион вакансияларының әмәләкәлмәси  $Fe^{3+}$  ионларының валентлијинин азалмасы һәм октаедрик координасијасының илккүн вәзијјәтиндән фәргләнмәсина сәбәб олур.

R. R. Khankishiev, F. M. Mir-Gashimov, B. M. Aliev, A. D. Kuliev,  
F. V. Aliev, T. N. Shakhtakhtinsky

### SPECTROPHOTOMETRIC STUDY OF MAGNESIUM FERRITE CONTAINING CATALYST

The catalyst containing magnesium ferrite is studied by means of the method of diffusion reflection. It is estimated that the trivalent ion of ferrum is in the octahedral state in ferrite.

The addition of potassium oxide to the system apparently favours the formation of anionic vacancies as a result of removal of a part of the lattice oxygen that is accompanied by lowering of the ion  $Fe^{3+}$  valency and distortion of the octahedral coordination of the latter.

АЗӘРБАЙЧАН ССР ЕЛМЛӘР АКАДЕМИЈАСЫНЫН МӘРҮЗӘЛӘРИ

ДОКЛАДЫ АКАДЕМИИ НАУК АЗЕРБАЙДЖАНСКОЙ ССР

ТОМ XL ЧИЛД

№ 12

1984

УДК 547.261 543.391

ОРГАНИЧЕСКАЯ ХИМИЯ

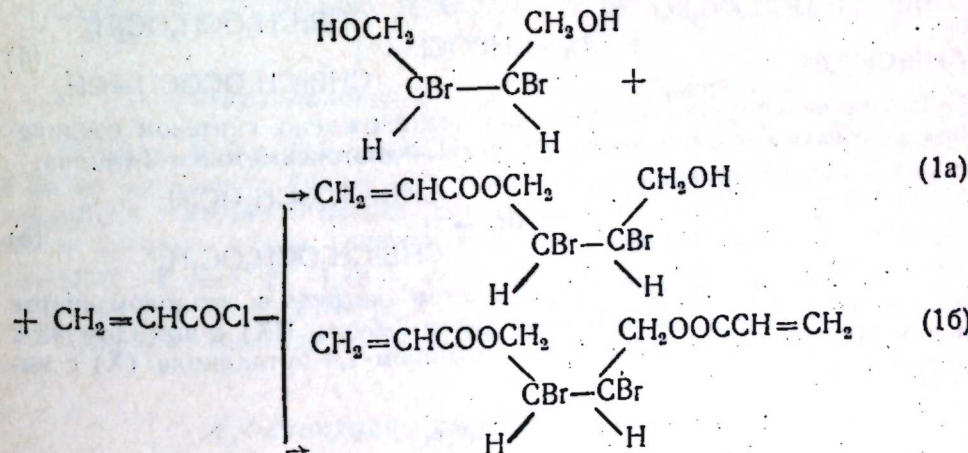
А. С. РЗАЕВ, Я. Д. ГАСЫМОВА, Р. К. АЛЕКПЕРОВ

### СИНТЕЗ И ИССЛЕДОВАНИЕ НЕКОТОРЫХ ПРОИЗВОДНЫХ 2,3-ДИБРОМ-1,4-БУТАНДИОЛА

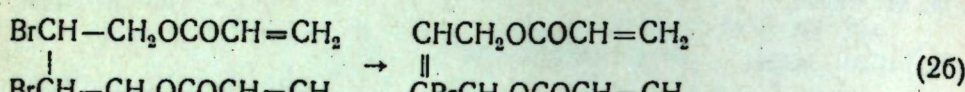
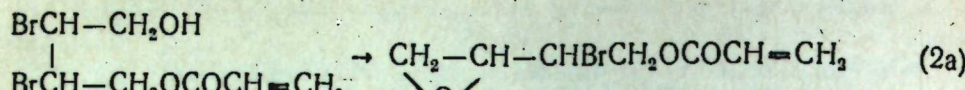
(Представлено академиком АН Азербайджанской ССР  
И. М. ОРУДЖЕВОЙ)

Алcoxиметил- и ацилоксипроизводные 2,3-дибром-1,4-бутандиола относятся к числу неисследованных. Практически не изучен и вопрос о подвижности атомов галоида. Для описания химической подвижности атома галоида под влиянием ацильной и алcoxиметильной группами синтезированы алcoxиметиловые и акриловые эфиры 2,3-дибром-1,4-бутандиола.

С целью изучения химических свойств бромпроизводных диолов проведено ацилирование 2,3-дибром-1,4-бутандиола. При этом в зависимости от соотношения хлорангидрида акриловой кислоты и дибромпроизводного, имеет место образование какmono- (I), так иди- (II) акриловых эфиров 2,3-дибром-1,4-бутандиола [1]:

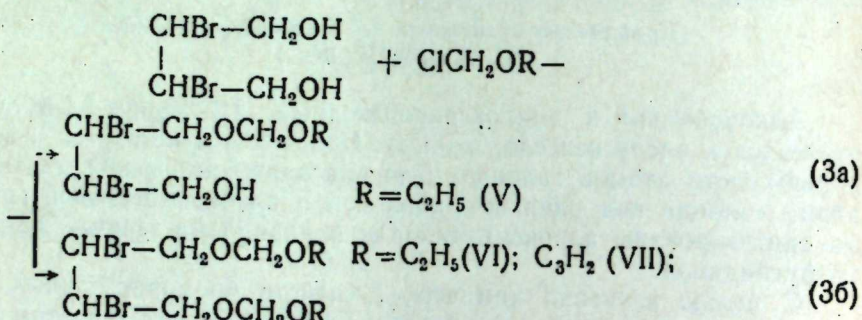


Исследование показало, что при действии метилата натрия в метиловом спирте [2,3] как mono-, так и на диакриловые эфиры 2,3-дибром-1,4-бутандиола (I) и (II) легко отщепляется одна молекула бромистого водорода, которая приводит к образованию в одном случае 1-акрилоилокси-2-бром-3,4-эпоксибутана (III), а другом—1,4-диакрилоилокси-2-бромбутена-2 (IV):

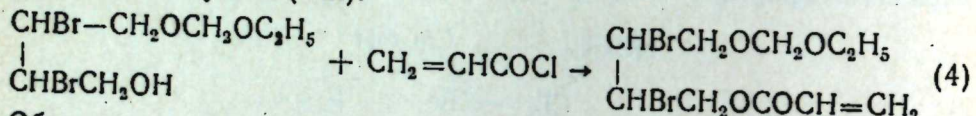


Строение эфиров (III) и (IV) было подтверждено наличием характеристических частот в их ИК-спектрах.

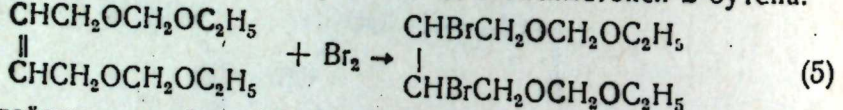
Найдено, что гидроксильный водород в 2,3-дибром-1,4-бутандиоле легко замещается на аллоксиметильную группу, приводя к образованию какmono, так и диаллоксимиленовых эфиров 2,3-дибром-1,4-бутандиола в зависимости от мольного соотношения исходных реагентов:



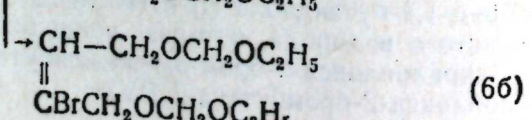
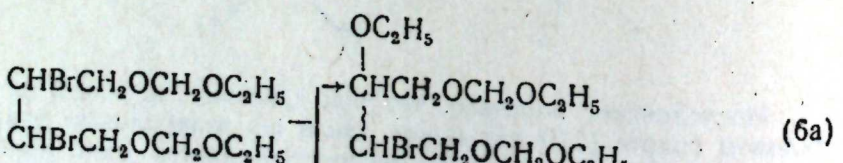
Образование продукта монозамещения (V) подтверждено синтезом на его основе акрилового эфира 2,3-дибром-1-этоксиметокси-4-акрилоилоксибутана (VIII):



Образование продукта дизамещения подтверждено синтезом соединения (VI) путем бромирования [4] цис-1,4-диэтоксиметокси-2-бутена:



При действии на эфир (VI) этилатом натрия в этиловом спирте был получен 2-бром-1,4-диэтоксиметокси-2-бутил (IX) с выходом 46% и диэтоксиметиловый эфир 2-этокси-3-бром-1,4-бутандиола (X) с выходом 17%:



тогда как при проведении этой же реакции в среде *трет*-бутилового спирта и действии алкоголята *трет*-бутилового спирта выход (IX) повышается до 75%. Незначительный выход (IX), по-видимому, является следствием уменьшения подвижности атомов брома в β-положении под влиянием этоксиметоксигрупп.

## ЭКСПЕРИМЕНТАЛЬНАЯ ЧАСТЬ

### 4-Акрилоилокси-2,3-дибром-1-бутанол (I)

К смеси из 24,8 г (0,1 моля) 2,3-дибром-1,4-бутандиола, 12,1 г (0,1 моля) диметиламина и 50 мл эфира при 5–10°C по каплям прибавляли 9 г (0,1 моля) хлорангидрида акриловой кислоты. Затем все нагревали в течение двух часов при 30–35°C. Массу промывали водой, сушили сульфатом магния. После отгонки эфира выделено 20,5 г (68%) I—т. кип. 127–128° (1 мм),  $d_4^{20}$  1,6734,  $n_D^{20}$  1,4980.  $M_{RD}$  найд. 52,90, выч. 53,16.

Найдено, %: C 27,65; 27,98; H 3,11; 3,50; Br 52,78; 53,10.  
 $\text{C}_7\text{H}_{10}\text{O}_3\text{Br}_2$ . Вычислено, %: C 27,81; H 3,31; Br 52,98.

### 1,4-диакрилоилокси-2,3-дибромбутан (II)

В условиях (I) из 24,8 г (0,1 моля) 2,3-дибром-1,4-бутандиола и 20 г (0,22 моля) хлорангидрида акриловой кислоты получено 26,7 г (75%) II—т. кип. 131–132° (1 мм),  $d_4^{20}$  1,5202,  $n_D^{20}$  1,4840.  $M_{RD}$  найд. 67,00, выч. 67,22.

Найдено %: C 33,45; 33,92; H 3,19; 3,50; Br 44,75; 45,00.  
 $\text{C}_{10}\text{H}_{12}\text{O}_4\text{Br}_2$ . Вычислено, % C 33,70; H 3,37; Br 44,94.

### 1-Акрилоилокси-2-бром-3,4-эпоксибутан (III)

К смеси 30,2 г (0,1 моля) 1-акрилоилокси-2,3-дибром-4-бутанола в 20 мл метилового спирта при –5–10°C добавляли раствор, содержащий 5,4 г метилата натрия. Все экстрагировали эфиrom; после сушки и отгонки эфира, спирта выделено 14,0 г (63%) III—т. кип. 78–80°C (2 мм),  $d_4^{20}$  1,4271,  $n_D^{20}$  1,4720.  $M_{RD}$  найд. 43,36, выч. 43,63.

Найдено, %: C 37,88; 38,22; H 4,00; 4,21; Br 36,00; 36,39.  
 $\text{C}_7\text{H}_9\text{O}_3\text{Br}$ . Вычислено, %: C 38,01; H 4,07; Br 36,20.

### 1,4-диакрилоилокси-2-бромбутен-2 (IV)

К смеси 18 г (0,05 моля) II в 10 мл метилового спирта при 5–10°C добавляли 2,7 г метилата натрия в 20 мл метилового спирта. Экстрагировали эфиrom; после отгонки эфира и спирта выделено 9,9 г (72%) IV—т. кип. 112–113° (1 мм),  $d_4^{20}$  1,3472,  $n_D^{20}$  1,4880.  $M_{RD}$  найд. 58,81, выч. 59,02.

Найдено, %: 43,53; 43,72; H 3,80; 4,12; Br 28,88; 28,90.  
 $\text{C}_{10}\text{H}_{11}\text{O}_4\text{Br}$ . Вычислено, %: C 43,64; H 4,00; Br 29,09.

### 1-Этоксисиметокси-2,3-дибром-4-бутанол (V)

К смеси из 24,8 г (0,1 моля) 2,3-дибром-1,4-бутандиола, 12,1 г (0,1 моля) диметиланилина и 50 мл эфира при 20°C добавляли 9,5 г (0,1 моля)  $\alpha$ -хлорметилэтилового эфира. Затем массу нагревали 1 ч при 35—40°C, охлаждали, промывали водой и сушили. После отгонки эфира выделено 26 г (85%) V—т. кип. 141—143°C (5 мм),  $d_4^{20}$  1,6605,  $n_D^{20}$  1,5080.  $M_R_D$  найд. 54,93, выч. 54,74.

Найдено %: С 27,22; 27,67; Н 4,39; 4,72; Br 52,10; 52,42.  
 $C_{11}H_{14}O_3Br_2$ . Вычислено, %: С 27,45; Н 4,57; Br 52,29.

### 1,4-Диэтоксисиметокси-2,3-дибромбутан (VI)

К смеси, состоящей из 24,8 г (0,1 моля) 2,3-дибром-1,4-бутандиола, 31,5 г (0,26 моля) диметиланилина и 60 мл сухого эфира при 10—15°C прибавляли 24,5 г (0,26 моля)  $\alpha$ -хлорметилэтилового эфира. Реакционную массу обрабатывали аналогично опыту (V) вакуумной разгонкой выделено 30 г (83%) VI—т. кип. 134—135°C (1 мм),  $d_4^{20}$  1,4876,  $n_D^{20}$  1,4852.  $M_R_D$  найд. 70,15, выч. 70,38.

Найдено, %: С 33,15; 33,23; Н 5,55; 5,72; Br 44,05; 44,10.

$C_{10}H_{20}O_4Br_2$ . Вычислено, %: С 32,97; Н 5,49; Br 43,96.

В аналогичных мольных соотношениях получены 1,4-дипропоксиметокси-2,3-дибромбутан (VII)—т. кип. 153—154°C (1 мм),  $d_4^{20}$  1,4020,  $n_D^{20}$  1,4825.  $M_R_D$  найд. 7978, выч. 79,67.

Найдено, %: С 36,50; 36,88; Н 6,25; 6,30; Br 40,58; 40,98.

$C_{12}H_{24}O_4Br_2$ . Вычислено, %: С 36,73; Н 6,12; Br 40,82.

### 1-Этоксисиметокси-4-акрилоилокси-2,3-дибромбутан (VIII)

В условиях опыта (I) из 30,6 г (0,1 моля) V, 12,1 (0,1 моля) диметиланилина и 9 г (0,1 моля) хлорангидрида акриловой кислоты получено 28,4 г (79%) эфира VIII—т. кип. 121—123°C (2 мм),  $d_4^{20}$  1,5808,  $n_D^{20}$  1,5130.  $M_R_D$  найд. 69,45, выч. 68,80.

Найдено, %: С 33,10; 33,50; Н 4,28; 4,60; Br 44,21; 44,58.

$C_{10}H_{16}O_4Br_2$ . Вычислено, %: С 33,33; Н 4,44; Br 44,44.

### 1,4-Диэтоксисиметокси-2,3-дибромбутан (VI)

По методу [4] из 20,4 г (0,1 моля) цис-1,4-диэтоксисиметокси-2-бутена и 16 г (0,1 моля) брома получено 33,5 г (92%) эфира VI—т. кип. 134—136°C (1 мм),  $d_4^{20}$  1,4864,  $n_D^{20}$  1,4865.  $M_R_D$  найд. 70,37, выч. 70,38.

Найдено, %: С 33,10; 33,20; Н 5,32; 5,65; Br 43,77; 44,12.

$C_{10}H_{20}O_4Br_2$ . Вычислено, %: С 32,97; Н 5,49; Br 43,96.

### 2-Бром-1,4-диэтоксисиметокси-2-бутен (IX)

В условиях опыта (III) из 36,4 г (0,1 моля) VI и 10,2 г (0,15 моля) этилата натрия получены:

I. 13,0 г (46%) IX—т. кип. 107—108°C (2 мм)  $d_4^{20}$  1,2676,  $n_D^{20}$  1,4690,  $M_R_D$  найд. 62,17, выч. 62,19.

Найдено, %: С 42,29; 42,43; Н 6,48; 6,38; Br 28,01; 28,30.  
 $C_{10}H_{19}O_4Br$ . Вычислено, %: С 42,40; Н 6,71; Br 28,27.

II. 5,6 г (17%) соединения 2-этокси-3-бром-1,4-диэтоксисиметоксибутан X—т. кип. 121—123°C (1 мм),  $d_4^{20}$  1,2330,  $n_D^{20}$  1,4630.  $M_R_D$  найд. 73,49, выч. 73,72.

Найдено, %: С 43,45; 43,90; Н 7,30; 7,42; Br 24,01; 24,20.

$C_{12}H_{23}O_5Br$ . Вычислено, %: С 43,77; Н 7,60; Br 24,32.

III. 10,1 г (27%) VI—т. кип. 135—136°C (1 мм),  $d_4^{20}$  1,4883,  $n_D^{20}$  1,4860.

### 2-Бром-1,4-диэтоксисиметокси-2-бутен (IX)

Из 12,2 г (0,05 моля) 1,4-диэтоксисиметокси-2,3-дибромбутана, 411,2 г (0,1 моля) трет-бутилата калия в 50 мл трет-бутилового спирта при 80—90°C получено 10,4 г (73%) соединения IX—т. кип. 107—108° (2 мм),  $d_4^{20}$  1,2650,  $n_D^{20}$  1,4720.

### Литература

1. Einhorn A., Holland F.—Ann., 1898, v. 301, p. 95. 2. Синтез органических препаратов.—М.: Изд-во иностр. лит., 1949, с. 573—574. 3. Вейганд-Хильгетаг. Методы эксперимента в органической химии.—М.: Химия, 1968, с. 99. 4. Mislow B. K., Hellman H. M.—J. Amer. Chem. Soc., 1951, v. 73, № 1, p. 244—246.

Поступило 3. II 1983

АПИ им. В. И. Ленина

Э. С. Раев, Я. Ч. Гасымова, Р. Г. Элекбиров

### 2,3-ДИБРОМ-1,4-БУТАНДИОЛУН БЭ'ЗИ ТӨРӘМӘЛӘРИНИН СИНТЕЗИ ВӘ ТӘДГИГИ

Мәгаләдә 2,3-дибром-1,4-бутандиолун алcoxиметил вә асилюкен төрәмәләри синтез олумыш, онларын физики-химјәви хассәләре өјрәнилмиш, мүхтәлиф кимјәви чеврilmәләри апарылышыдыр.

A. S. Rzayev, Ya. D. Kasumova, R. G. Alekperov

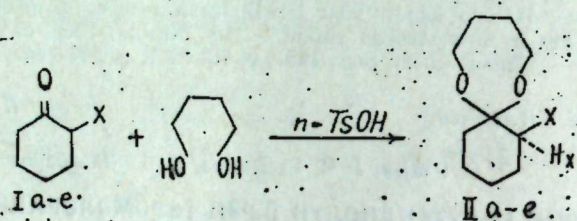
### THE SYNTHESIS AND INVESTIGATION OF SOME DERIVATIVES OF 2,3-DIBROM-1,4-BUTANDIOL

In the article the alcoximethyl and acrylonic broadcasts of 2,3-dibrom-1,4-butandiol are synthesized. The chemical mobility of atom of galoid under the influence of acyl and alcoximethyl group is investigated.

И. Г. МУРСАКУЛОВ, Н. К. КАСУМОВ, А. А. БАЙРАМОВ,  
В. В. САМОШИН, чл.-корр. АН АзССР М. М. ГУСЕЙНОВ,  
Н. С. ЗЕФИРОВ, К. А. ГУЛИЕВА

### КОНФОРМАЦИОННЫЙ АНАЛИЗ БУТИЛЕНКЕТАЛЕЙ 2-ЗАМЕЩЕННЫХ ЦИКЛОГЕКСАНОНОВ

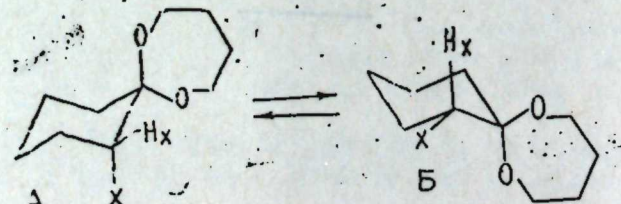
Выполнив ранее намеченную программу (1) систематических исследований конформационного равновесия 1, 1, 2-тризамещенных циклогексанов [2—5] и, частности, кеталей 2-замещенных циклогексанонов [6—8], мы в настоящей статье приводим результаты изучения конформационного поведения бутиленкеталей 2-замещенных циклогексанонов (IIa—e). Последние получались взаимодействием 1,4-бутандиола с 2-хлор-(Ia), 2-бром-(Ib), 2-окси-(Ib), 2-метокси-(Ig), 2-метилтио-(Id), и 2-карбетокси-(Ia)-замещенными циклогексанонами по схеме



где X=Cl (IIa, IIa); Br (IIb, IIb); OCH<sub>3</sub> (IIg, IIg); SCH<sub>3</sub>(Id, Id); COOC<sub>2</sub>H<sub>5</sub> (Ie, Ie).

Доказательство строения соединений IIa—e осуществлялось данными элементных анализов и стандартных спектральных характеристик (ИК и ПМР). Чистота контролировалась по ГЖХ (см. экспериментальную часть).

Положение конформационного равновесия соединений IIa—e, которое может быть представлено нижеследующей схемой, определялось, как и раньше [2—8], по сигнала H<sub>x</sub> в ПМР-спектрах в соответствии



с методом Илиела. Необходимые для этих целей величины граничных параметров W<sub>A</sub> и W<sub>B</sub> (суммарных величин КССВ для индивидуальных конформеров Б и А) были взяты из низкотемпературных спектров ПМР некоторых бутилен и этиленкеталей 2-замещенных циклогексанонов. Данные эти приведены в табл. 1.

Таблица 1  
Данные низкотемпературных ПМР-спектров кеталей  
2-замещенных циклогексанонов (Бруктер, 90, МГц, С)

Соединения	Т-ра съемки, К	Акс. конформер (A)		Экв. конформер (B)	
		$\delta H_x$ , м. д.	W <sub>B</sub> Гц	$\delta H_x$ , м. д.	W <sub>A</sub> Гц
	175	3,77	15,7±0,3	—	—
X=Cl	173	—	—	3,97	5,4±0,3
X=OCP <sub>3</sub>	175	—	—	3,09	5,4±0,5
X=SCH <sub>3</sub>	183 (CD <sub>3</sub> ) <sub>3</sub> CO	—	—	3,00	5,8±0,3

Таблица 2  
Данные ПМР-спектров и параметры конформационного равновесия  
бутиленкеталей 2-замещенных циклогексанонов

№		Раство- ритель	$\delta H_x$ , м. д.	W, Гц	Доля ак- сиальной конформа- ции (A), %	$\Delta G_{e-a}$ , ккал/моль
IIa	X=Cl	CCl <sub>4</sub> CS <sub>2</sub> C <sub>6</sub> H <sub>6</sub> CD <sub>3</sub> CN	4,00 4,04 3,95 3,90	7,5±0,5 7,5±1,0 8,1±0,7 7,4±0,4	82,1±4,5 82,1±8,9 76,8±6,3 83,0±3,6	0,92 0,92 0,72 0,96
IIb	X=Br	CCl <sub>4</sub> C <sub>6</sub> H <sub>6</sub> CD <sub>3</sub> CN	4,20 4,17 4,38	6,5±0,2 6,4±0,2 7,6±0,6	91,1±1,8 92,0±1,8 91,3±5,4	1,40 1,47 0,88
IIv	X=OH	C <sub>6</sub> H <sub>6</sub> *	3,80	6,8±0,6	88,4±5,4	1,22
IIg	X=OCH <sub>3</sub>	CCl <sub>4</sub> CS <sub>2</sub>	3,08 3,11	7,8±0,4 7,5±0,3	79,5±3,6 82,1±2,7	0,81 0,92
IID	X=SCH <sub>3</sub>	CCl <sub>4</sub> C <sub>6</sub> H <sub>6</sub> CD <sub>3</sub> CN	2,82 2,88 2,97	8,8±0,5 8,4±0,4 8,0±0,6	70,5±4,5 74,1±3,6 77,7±5,4	0,53 0,63 0,75
IIe	X=COOEt	CCl <sub>4</sub> C <sub>6</sub> H <sub>6</sub> CD <sub>3</sub> CN	2,72 2,90 2,51	6,9±0,3 7,2±0,4 8,5±0,3	87,5±2,7 84,8±3,6 73,2±2,7	1,17 1,04 0,61

Примечание \* — для соединений IIv и IIg в других растворителях сигнал H<sub>x</sub> — перекрывался сигналами протонов кетального фрагмента, поэтому оценить равновесие было невозможно.

Таблица 3

## Физико-химические свойства исследованных кеталей

Как видно из данных таблицы, при низких температурах равновесие бутиленкеталей смещается так далеко в одну сторону, что наблюдаются сигналы только экваториальных  $H_x$  (аксиальный конформер А). Поэтому величины  $W_b$  (ширина сигнала аксиального  $H_x$  в экваториальном конформере Б) были взяты из спектра этиленкетала 2-хлорциклогексанона. Основываясь на данных табл. 1, для расчета конформационного равновесия бутиленкеталей IIa—e были использованы следующие величины:  $W_b = 15,7$  Гц и  $W_A = 5,5$  Гц. Данные ПМР-спектров при комнатной температуре и параметры конформационного равновесия изученных соединений приведены в табл. 2. Как видно, для всех исследованных соединений не прослеживается какая-нибудь определенная зависимость конформационного равновесия от растворителя. Так, если для IIa наблюдается «бензольный эффект» — увеличение доли экваториальной формы Б в растворе бензола по сравнению с неполярными растворителями ( $CCl_4$  и  $CS_2$ ), то для других соединений «бензольный эффект» нехарактерен. С другой стороны, нормальный тип сольватационной зависимости — стабилизация экваториального конформера в более полярном растворителе наблюдается только для карбетоксипроизводного IIc, а для других деталей отсутствует. В целом следует отметить, что для изученных соединений зависимость конформационного равновесия от растворителя непредсказуема.

Наиболее важным результатом настоящих исследований является обнаруженный нами факт значительного преобладания аксиальной конформации А для всех соединений (табл. 2). Следует также указать, что конформеры бутиленкеталей (по крайней мере, 2-хлор-(IIa), 2-метокси-(IIg), и 2-метилтио-(IID)), более стабильные при комнатной температуре, являются более стабильными и при низких температурах и, следовательно, энталпийно более предпочтительными. Действительно, из данных табл. 2 видно, что для IIa, g, d при комнатной температуре доля аксиальной конформации А составляет 70% и выше, а данные табл. 1 показывают, что эти же соединения при низких температурах обнаруживают сигналы только экваториальных  $H_x$ , т. е. полное доминирование аксиального конформера А.

## ЭКСПЕРИМЕНТАЛЬНАЯ ЧАСТЬ

Спектры ЯМР  $^1H$  снимались на приборе BS487B фирмы Tesla с рабочей частотой 80 МГц, внутренний стандарт ГМДС, б шкала. ГЖХ-анализы осуществлялись на ЛХМ-8МД на двух колонках ( $300 \times 0,3$ ), выполненных 10%-ным аниезоном-Л на хромосорбе-Г и 10%-ным полифениловым эфиром (ПФЭ 4С 5Ф) на хромосорбе-Г, газ носитель Не 40 мл/мин, температура 180—200°C, катарометр.

Исходные бутиленкетали получались взаимодействием 2-хлор-(Ia), 2-бром-(Ib), 2-окси-(Iv), 2-метокси-(Ig), 2-метилтио-(Id) и 2-карбетокси-(Ie)-циклогексанонов с бутиленгликолем в растворе бензола в присутствии катализитических количеств *n*-толуолсульфокислоты по методике [1]. По ГЖХ-анализу, все исходные кетали были индивидуальными соединениями. Для всех них были получены удовлетворительные данные элементных анализов. Данные ИК-спектров соответствовали приписываемым им формулам. Характеристики изученных кеталей приведены в табл. 3.

№		Т. кип., °C им. рт. ст.	$n_{D}^{20}$	Брутто-	Данные ПМР-спектров: δ, м. д., и КССВ, Гц, в $CCl_4$			
					$H_x$	Кеталь- ный фраг- мент	X	протоны кольца
IIa	Cl	62—64 0,5	1,4921	$C_{10}H_{17}ClO_2$	4,0 (тр.)	3,55 (м)	—	1,5—1 1,82 (м)
IIb	Br	86—87 1	1,5116	$C_{10}H_{17}BrO_2$	4,2 (м)	3,57 (м)	—	1,2—2,2 (м)
IIv	OH	68—70 1	39—40°C	$C_{10}H_{18}O_3$	3,8 (м)	3,52 (м)	2,55 (e)	1,0—2,0 (м)
IIf	$OC_2H_5$	79—80 4	1,4725	$C_{11}H_{20}O_3$	3,1 (м)	3,54 (м)	3,3 (c)	1,2—1,8 (м)
IID	$SC_2H_5$	86—88 1	1,5137	$C_{11}H_{20}SO_3$	2,82 (тр.)	3,55 (м)	2,0 (c)	1,2—2,0 (м)
IIe	$COOC_2H_5$	94—95 1	1,4719	$C_{13}H_{22}O_3$	2,72 (м)	3,54 (м)	1,1 (тр) 4,0 (кв)	1,0—2,2 (м)

## Выводы

Синтезированы бутиленкетали 2-хлор-, 2-бром-, 2-окси-, 2-метокси-, 2-метилтио- и 2-карбетоксциклогексанонов и методом ПМР-спектроскопии оценено положение их конформационного равновесия. Показано, что как при комнатной, так и при низких температурах для всех изученных соединений преобладающей является аксиальная конформация, которая энталпийно предпочтительнее.

## Литература

1. Мурсакулов И. Г., Касумов Н. К., Гусейнов М. М., Агаев У. Х., Ризаева С. З., Зефиров Н. С. — ЖОрХ, 1976, т. 12, с. 791—7,5. 2. Зефиров Н. С., Чаленко Э. Г., Ариповски А. В., Мурсакулов И. Г., Гусейнов М. М., Рамазанов Э. А. — J. Chem. Soc., Chem. Comm., 1978, v. 147. 3. Мурсакулов И. Г., Рамазанов Э. А., Гусейнов М. М., Зефиров Н. С., Самошин В. В., Илишев Э. Л. — Tetrahedron, 1980, v. 36, p. 1885. 4. Мурсакулов И. Г., Рамазанов Э. А., Байрамов А. А., Мовла-заде С. А., Зефиров И. С., Биннатов Р. В. — Азерб. хим. журн., 1978, № 4, с. 64. 5. Мурсакулов И. Г., Рамазанов Э. А., Зефиров Н. С., Самошин В. В., Илишев Э. Л. — ЖОрХ, 1979, т. 15, с. 2415. 6. Мурсакулов И. Г., Касумов Н. К., Рамазанов Э. А., Ибрагимова Ф. В., Чаленко Э. Г., Зефиров Н. С. — Азерб. хим. журн., 1977, № 5, с. 33—36. 7. Зефиров Н. С., Чаленко Э. Г., Мурсакулов И. Г., Гусейнов М. М., Касумов Н. К., Рамазанов Э. А. — ЖОрХ, 1978, т. 14, с. 1560—1561. 8. Касумов Н. К., Мурсакулов И. Г., Рамазанов Э. А., Зефиров Н. С. — Азерб. хим. журн., 1978, № 5, с. 33—36. 9. Агранович Чаленко Э. Г., Зефиров Н. С. — Азерб. хим. журн., 1974, с. 69.

Институт хлорорганического  
синтеза АН АзССР

Поступило 7. I 1982

И. Н. Мурсагулов, Н. Г. Гасымов, А. Э. Бајрамов, В. В. Самошин,  
М. М. Гусейнов, Н. С. Зефиров, К. А. Гулијева

2-ЭВЕЗОЛУНМУШ СИКЛОНЕКСАНЛАРЫНЫН  
КОНФОРМАСИЯ АНАЛИЗИ

2-хлор-, 2-бром-, 2-окси-, 2-метокси-, 2-метилтио- вә 2-карбетоксисиклонексанларын  
бутилен кеталлары синтез олунмуш вә НМР спектроскопик үсүлла конформасија та-  
разлығы өјрәнилмишdir.

Өјрәнилән бутилен кеталларын аксиал конформасијасы енталпија үстүнлүјү тәши-  
кил едир.

I. G. Mursakulov, N. K. Kasumov, A. A. Baýramov, V. V. Samoshin,  
M. M. Guseinov, N. S. Zefirov, K. A. Gulieva

CONFORMATIONAL ANALYSIS OF THE BUTYLENE KETALS OF THE  
2-SUBSTITUTED CYCLOHEXANONES

The conformational equilibrium of the butylene ketals of the 2-chloro-, 2-bromo-, 2-hydroxy-, 2-methoxy-, 2-methylthio- and 2-carboethoxy cyclohexanones was investigated by NMR technique by Titel method. The predominance of the axial conformation in several solvents for all compounds investigated was shown. The enthalpy preference of the axial conformers for some ketals investigated was obtained

АЗЭРБАЙЖАН ССР ЕЛМЛӘР АКАДЕМИЈАСЫНЫН МӘРҮЗӘЛӘРИ

ДОКЛАДЫ АКАДЕМИИ НАУК АЗЕРБАЙДЖАНСКОЙ ССР

ТОМ XL ЧИЛД

№ 12

1984

УДК 541.128

ФИЗИЧЕСКАЯ ХИМИЯ

М. Х. АННАГИЕВ, чл.-корр АзССР З. Г. ЗУЛЬФУГАРОВ,  
М. Н. ДЖАВАДОВ, М. М. НАСИБОВ, А. М. САРДАРЛЫ

ОЧИСТКА ЭТИЛОВОГО СПИРТА ОТ СЕРНИСТЫХ СОЕДИНЕНИЙ  
АДСОРБЕНТАМИ, ПРИГОТОВЛЕННЫМИ НА ОСНОВЕ  
ПРИРОДНЫХ ЦЕОЛИТОВ

Известно, что основными вредными компонентами промышленных газов и жидкостей являются сероводород и сернистые соединения, вызывающие интенсивную коррозию аппаратуры и снижающие качество выпускаемых продуктов.

В литературе указывается, что цеолиты являются уникальными адсорбентами, избирательно поглощающими сероводород из смеси с двуокисью углерода [1, 2]. Из цеолитов общего назначения наилучшими адсорбционными и эксплуатационными свойствами обладают цеолиты CaA. Цеолиты NaA сернистые соединения поглощают меньше. Кроме того, цеолит NaA катализирует реакции окисления сероводорода с образованием элементарной серы. При выборе типа цеолита следует иметь в виду, что цеолиты CaA, по стерическим соображениям, могут решать проблему полного извлечения из бензинов сероводорода и меркаптанов; при этом частично уделяются сульфиды и дисульфиды.

Отметим, что синтетические цеолиты являются дорогостоящими, и потому их применение невыгодно.

В данной статье приводятся результаты очистки этилового спирта с использованием природных цеолитов — клиноптиолита Айдагского месторождения и морденита из НахАССР, а также адсорбентов, приготовленных на их основе методом пропитки.

Опыты проводили контактированием технического этилового спирта с адсорбентами при комнатной температуре. Для очистки этилового спирта от сернистых соединений адсорбенты прокаливали до 380°C в течение 6 ч с продувкой воздухом с фракционным составом 2—5 мм. Затем адсорбер охлаждали до комнатной температуры и очищали при различных скоростях.

Регенерация обработанных образцов проводилась при помощи воздуха с продувкой верхней части адсорбера в течение 6 ч при 380—400°C. Для улавливания SO<sub>2</sub> в составе воздуха продукт регенерации пропускали через 25%-ный водный раствор NaOH.

В составе этилового спирта сернистые соединения составляли 30 мг/л. Опыты вели в динамических (табл. 1) и статических условиях (табл. 2).

Как видно из полученных данных, после очистки этилового спирта адсорбентами от сернистых соединений концентрация последнего намного снижается.

Таблица 1

Адсорбент	Содержание серы мг/л	
	до очистки	после очистки
Природный клиноптиолит	30	17
Природный морденит	30	10
Клиноптиолит + 6% $\text{Fe}(\text{NO}_3)_3$	30	10
Клиноптиолит + 1% $\text{Fe}(\text{NO}_3)_3$	30	16
Клиноптиолит + 0,2 N KCl	30	17

Таблица 2

Адсорбент	Содержание серы, мг/л	
	до очистки	после очистки
Природный клиноптиолит	25	8
Природный морденит	25	12
Клиноптиолит + 0,2 N $\text{CaCl}_2$	25	11
Клиноптиолит + 0,2 N $\text{FeCl}_2$	25	16,2
Клиноптиолит + 0,2 N KCl + 6% $\text{Fe}_2\text{O}_3$	25	12,5
Клиноптиолит + 1% $\text{Fe}_2\text{O}_3$	25	20
Природный морденит + 6% $\text{Fe}_2\text{O}_3$	25	19

Адсорбенты до и после очистки этилового спирта от серы исследовались методами дериватографии и инфракрасной спектроскопии. На рис. 1 представлены дериватограммы клиноптиолита, обработанного

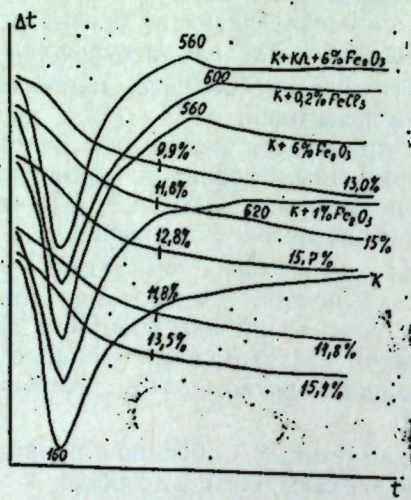


Рис. 1

растворами  $\text{Fe}(\text{NO}_3)_3$  и  $\text{FeCl}_2$ . На ДТА природного клиноптиолита наблюдается один эндотермический эффект при  $160^\circ\text{C}$ , который характеризует уход адсорбированных молекул воды из микропор цеолита. При обработке клиноптиолита 1%  $\text{Fe}(\text{NO}_3)_3$  на ДТА наблюдается малонтенсивный экзотермический эффект при  $620^\circ\text{C}$ . С повышением содержания  $\text{Fe}(\text{NO}_3)_3$  до 6% интенсивность экзотермического эффекта

возрастает и смешается до  $560^\circ\text{C}$ . Надо отметить, что при обработке клиноптиолита 0,2N водным раствором  $\text{FeCl}_2$  сильных изменений на ДТА не отмечается. После обработки клиноптиолита 0,2N водным раствором KCl при дальнейшей обработке интенсивность экзотермического эффекта возрастает. По нашему мнению, появление экзотермического эффекта связано с окислением атомов железа.

На рис. 2 представлены ИК-спектры адсорбента после работы и регенерации при очистке этилового спирта от сернистых соединений. Как видно, после использования адсорбента на его спектре появляются

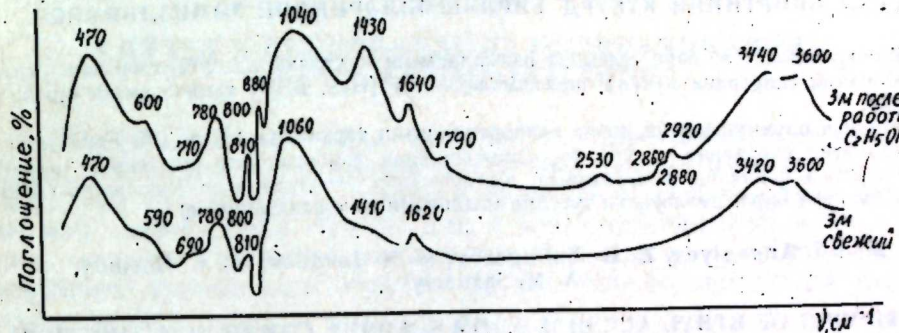
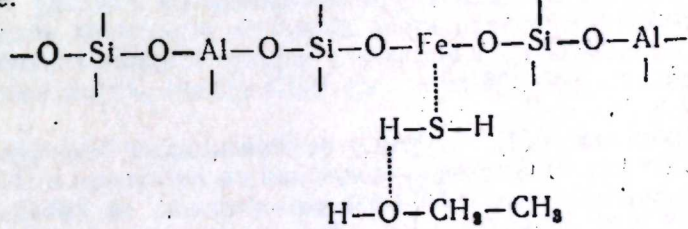


Рис. 2

дополнительные полосы поглощения с максимумами  $1430$ ,  $1790$ ,  $2530$ ,  $2860$ ,  $2880$ ,  $2920$   $\text{cm}^{-1}$ , которые характеризуют спектры этилового спирта и соединений серы. После регенерации обработанного адсорбента с помощью кислорода воздуха при температуре  $400^\circ\text{C}$  в течение 6 ч на спектре исчезают полосы поглощения адсорбированных молекул соединений серы и этилового спирта.

Таким образом, полученные инфракрасные спектры показывают, что после регенерации обработанных образцов происходит удаление сернистых соединений с поверхности адсорбента. Ниже приводится предполагаемый механизм улавливания сернистых соединений при очистке этилового спирта на подготовленных адсорбентах по следующей схеме:



### Выводы

- Созданы селективные адсорбенты на основе клиноптиолита Айдагского месторождения и морденита из Нахичеванской АССР для очистки этилового спирта от сернистых соединений.
- С применением физико-химических методов исследования изучен механизм взаимодействия сернистых соединений с поверхностью образцов, полученных на основе природных цеолитов.

Литература

- Кельцеев Н. В. Основы адсорбционной техники. — М.: Химия, 1976, с. 365—368.
- Zwibel J., Jouber J.—J. Advances Chem. Ser. 1971, №102, p. 109—216.

ИНФХ АН АзССР

Поступило 12. IV 1983

М. Х. Эннағиев, З. һ. Зулфугаров, М. Н. Чавадов, М. М. Насибов,  
А. М. Сәрдарлы

**ТӘБИИ СЕОЛИТ ӘСАСЫНДА ҺАЗЫРЛАНМЫШ АДСОРБЕНТЛӘР ҮЗӘРИНДӘ  
ЕТИЛ СПИРТИНИН ҚҰҚУРД БИРЛӘШМӘЛӘРИНДӘН ТӘМИЗЛӘНМӘСІ**

Клиноптилолит вә онун әсасында һазырланмыш мұхтәлиф адсорбентләр vasitasyyla техники етил спиртинин құқұрд бирләшмәләриндән (H<sub>2</sub>S; RHS) тәмизләнмәсі өյөзнил-мишdir.

Мүәжжән олунмушшур ки, тәбии клиноптилолитин тәркибинә 1% вә 6% Fe<sub>2</sub>O<sub>3</sub> дахил етдикдә етил спиртинин құқұрд бирләшмәләриндән тәмизләнмәсі јүксөлір.

Мәгәләдә һәмчинин һазырланмыш адсорбентләр үзәриндә етил спиртинин тәркибиндән құқұрд бирләшмәләринин тутулма механизми дә өјрәнилмишdir.

M. Kh. Annagiyev, Z. G. Zulfugarov, M. N. Javadov, M. M. Nasibov,  
A. M. Sardarly

**PURIFYING OF ETHYL ALCOHOL FROM SULPHUR COMPOUNDS THROUGH  
THE ADSORBENTS PREPARED ON THE BASIS OF NATURAL ZEOLITES**

Purifying of technical ethyl alcohol from sulphur combinations (H<sub>2</sub>S; RHS) through different adsorbents prepared on the basis of clenozeolite is studied.

It is determined that, when adding 1% and 6% of Fe<sub>2</sub>O<sub>3</sub> into a natural clenozeolite compound, the purifying ability of ethyl alcohol from sulphur combinations increases. The mechanism of ethyl alcohol purifying from sulphur combinations through the prepared adsorbents is studied, too.

АЗӘРБАЙЖАН ССР ЕЛМЛӘР АКАДЕМИЈАСЫНЫН МӘРУЗӘЛӘРИ

ДОКЛАДЫ АКАДЕМИИ НАУК АЗЕРБАЙДЖАНСКОЙ ССР

ТОМ XL ЧИЛД

№ 12

1984

УДК 541.64.542.952.567

**ХИМИЯ ВЫСОКОМОЛЕКУЛЯРНЫХ СОЕДИНЕНИЙ**

А. В. РАГИМОВ, Б. А. МАМЕДОВ, чл.-корр. АН АзССР М. М. ГУСЕЙНОВ,  
С. А. ГУСЕЙНОВ

**СИНТЕЗ И ИССЛЕДОВАНИЕ ПОЛИРАДИКАЛОВ  
НАФТОКСИЛЬНОГО ТИПА**

Известно, что полимеры, содержащие гидрохинонные звенья, способны переходить в стабильные полирадикалы семихинонного типа при окислении кислородом в щелочной среде [1—4]. Недавно было показано, что олигонафтолы, так же как и олигогидрохинон [5], в аналогичных условиях интенсивно поглощают кислород и, следовательно, не исключена возможность образования при этом полирадикалов нафтоксильного типа.

Настоящая статья посвящена синтезу и изучению свойств полирадикалов нафтоксильного типа.

Исходные олигонафтолы (ОНО) были синтезированы окислительной поликонденсацией  $\alpha$ - и  $\beta$ -нафтолов в присутствии H<sub>2</sub>O<sub>2</sub>, очищены от мономера путем промывания горячей водой. После сушки в вакууме при 403 К до постоянной массы олиго- $\alpha$ - и олиго- $\beta$ -нафтолы ( $\alpha$ -ОНО и  $\beta$ -ОНО) имели следующие характеристики:  $M_w$ —1450 и 1350;  $M_n$ —870 и 860 (определены по гельпроникающей хроматографии согласно [6]), гидроксильное число — соответственно 11,2 и 11,4 %.

Синтез полирадикалов нафтоксильного типа (ПНР) осуществляли окислением ОНО кислородом в щелочной среде в реакторе с рубашкой, снабженном магнитной мешалкой, при 303—318 К ( $\Delta t=0,05^\circ\text{C}$ ). После завершения реакции для нейтрализации реакционной смеси и получения нейтральных ПНР через реакционную смесь пропускали CO<sub>2</sub>. Спирт удаляли выпариванием при комнатной температуре, продукты реакции промывали холодной дистиллированной водой для удаления карбоната калия и сушили в вакууме (13,3 Па) при 313—323 К до постоянной массы. Выход ПНР составлял 80—90% от массы олигомера.

Концентрацию парамагнитных центров ( $N_c$ ) для порошков исходных ОНО и продуктов их окисления определяли на основании ЭПР-спектров, снятых на спектрометре РЭ-1306 путем сравнивания площадей под кривыми поглощения стабильного радикала (2,2,6,6-тетраметил-4-оксипиперидин-1-оксила) и исследуемого образца.

Для электрических измерений готовили таблетки толщиной 0,1—0,2 см путем прессования ( $2,5 \cdot 10^3$  кГ/см<sup>2</sup>) порошков ОНО и ПНР. Торцевые Ag-электроды получали путем вакуумного термического напыления. Электрические изменения проведены на постоянном токе электрометром, а на переменном — с помощью моста Р-571 — в диапазоне низких частот и куметром Е8-4 — в диапазоне высоких частот ( $5 \cdot 10^4$ — $3 \cdot 10^7$  Гц).

На рис. 1 приведены кинетические кривые накопления радикаль-

ных центров при окислении олигонафтолов в ампуле, помещенной непосредственно в резонатор спектрометра ЭПР. Видно, что концентрация радикальных центров в реакционной среде в течение 5–10 мин постепенно возрастает. Однако наступает момент, когда  $N_c$  в системе

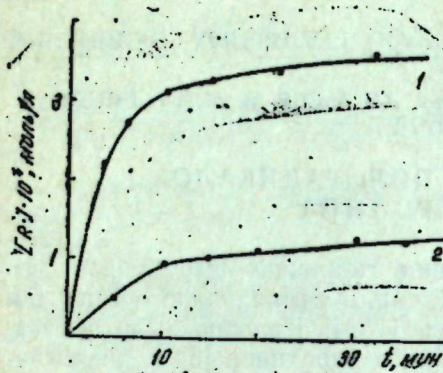


Рис. 1. Кинетика накопления нефтексильных радикальных центров при окислении  $\alpha$ -OHO (1) и  $\beta$ -OHO (2) в спиртово-щелочной среде:  $(\text{OHO})_0 = 0,1173$ ;  $(\text{KOH})_0 = 0,119$  моль/л;  $T = 308$  К

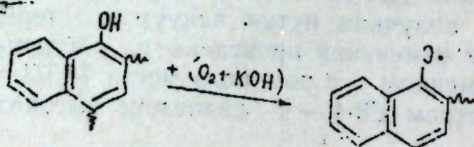
становится постоянной. Следовательно, образуются стабильные радикальные центры нафтоксильного типа. Результаты ЭПР-измерений продуктов реакции окисления OHO показывают, что они обладают более высокой  $N_c$ , чем исходные олигомеры, т. е. образующиеся стабильные радикалы сохраняются и в твердой фазе (таблица). При этом

Условия синтеза ПНР и значения концентрации парамагнитных центров в их составе

[OHO] <sub>0</sub> моль/л	[KOH] <sub>0</sub>	T, K	t, мин	$N_c \cdot 10^{19}$ , спин/см <sup>3</sup>	
				На основе $\alpha$ -OHO	На основе $\beta$ -OHO
2,11	1,42	318	20	2,47 (3,25)	1,95 (4,03)
1,41	1,42	318	20	1,82	—
0,742	1,42	318	20	1,08	0,975
0,742	0,370	318	20	0,897	0,806
0,742	0,714	318	20	0,975 (1,24)	0,897 (1,14)
0,742	0,714	303	20	1,69 (2,08)	1,43 (2,47)
0,742	0,714	313	20	0,832	0,624
1,41	1,42	318	40	2,73	2,86
1,41	1,42	318	45	3,51	3,64
1,41	1,42	318	60	3,38	3,25

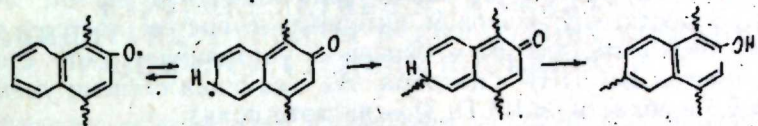
Примечание. В скобках приведены для ПНР до нейтрализации с CO<sub>2</sub>.

ЭПР-спектры продуктов реакции состоят из единиц синглетов с g-фактором  $2,0048 \pm 0,0002$ . Возрастание  $N_c$  связано с переходом определенной части нафтолевых звеньев в радикальное состояние, которое вслед-



ствие делокализации неспаренного электрона вдоль цепи ароматического полисопряжения, стерических затруднений и жесткости макромолекулярной цепи приобретает значительную стабильность.

Концентрация парамагнитных центров у продуктов окисления OHO при идентичных условиях окисления при  $\beta$ -OHO заметно, ниже, чем для  $\alpha$ -OHO. Это, по-видимому, связано с относительно более высокой реакционной способностью  $\alpha$ -OHO и большей возможностью рекомбинации у радикалов  $\beta$ -OHO, поскольку для  $\beta$ -OHO, в отличие от  $\alpha$ -OHO, существует резонансная форма, которая может вступать в реакцию рекомбинации:



Следует отметить, что продукты окисления олигонафтолов до нейтрализации с CO<sub>2</sub> имеют более высокую  $N_c$ , чем после нейтрализации. Это объясняется тем, что радикалы нафтолевых звеньев более стабильны тогда, когда другие звенья макромолекулы находятся в анионной форме, которая характерна для полироленсемихинонов, полисемихинонов, а также для индивидуальных феноксильных и семихинонных радикалов [1, 2, 6].

Синтезированные ПНР являются темно-коричневыми порошками, растворимыми в большинстве полярных органических растворителей. В воде при 293 К нейтральные ПНР практически не растворяются. В электронных и ИК-спектрах олигонафтолов и ПНР существенного различия не наблюдается. Тем не менее в ИК-спектрах ПНР относительная интенсивность полосы поглощения ароматических CH-групп в области 770 см<sup>-1</sup> уменьшается.

ПНР обладают высокой стабильностью; при комнатной температуре сохраняются свыше шести месяцев. Они стабильны также к нагреванию до 373 К (рис. 2). При этом наблюдается даже некоторое увеличение концентрации парамагнитных центров.

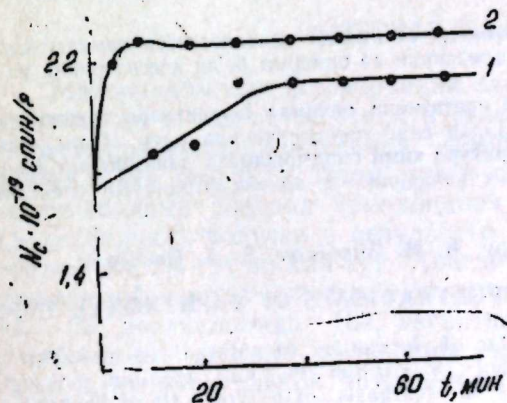


Рис. 2. Кинетика изменения концентрации парамагнитных центров ПНР при нагревании:  
 $N_c = 1,69 \cdot 10^{19}$  спин/г (при 293 К); 1 — 353; 2 — 373

личение концентрации парамагнитных центров в ПНР, что обнаружено и для полирадикалов семихинонного типа [2]. Поскольку это явление имеет обратимый характер, в данном случае, по-видимому, мы наблю-

даем термовозбужденного парамагнетизма, ранее описанного для полифенилацетилена и полифенилена [7, 8].

Изучение электрических свойств олигонафтолов и их полирадикалов на постоянном и переменном токе показывает, что проводимость полирадикалов нафтоксильного типа на 3–5 порядков превышает проводимость исходных олигомеров. Проводимость ПНР на постоянном токе увеличивается с ростом  $N_c$  в их составе. При этом наблюдается отклонение от закона Ома при весьма малых значениях напряженности поля ( $F < 100 \text{ В/см}$ ) для ПНР с высокой  $N_c$ , что свидетельствует о механизме проводимости, отличающемся от зонного. Во всем частотном диапазоне проводимость образцов увеличивается с ростом  $N_c$  в их составе. В достаточно широком интервале с ростом частоты удельная электропроводность для всех образцов увеличивается по степенному закону, причем для ПНР с высокой  $N_c$  величина степени уменьшается с 1,0 до 0,8 в области  $f < 10^6 \text{ Гц}$  ( $f$  — частота поля).

#### Литература

1. Лиогонский Б. И., Рагимов А. В., Берлин А. А. Теоретическая и экспериментальная химия. — Баку, 1965, т. 1, вып. 4, с. 511–518.
2. Рагимов А. В., Мамедов Б. А., Лиогонский Б. И., Меджидов А. А., Видади Ю. А., Исмайлова Ч. О. — Азерб. хим. журн., 1980, т. XXXVI, № 4, с. 81–84.
3. Лиогонский Б. И., Стригущий В. П., Александров Р. З., Белькович П. И., Навоша Ю. Ю., Мамедов Б. А., Рагимов А. В. — ДАН БССР, 1981, т. 25, № 9, с. 825–827.
4. Видади Ю. А., Рагимов А. В., Мамедов Б. А., Мамедов Ф. Ш., Лиогонский Б. И. — ДАН СССР, 1980, т. 253, № 1, с. 135–138.
5. Мамедов Б. А., Рагимов А. В., Гусейнов С. А., Аббасова Ш. Ф., Лиогонский Б. И. — Азерб. хим. журн., 1982, т. XXXVIII, № 4, с. 60–64.
6. Рагимов А. В., Мамедов Б. А., Кузасев А. И. — Высокомол. соед., 1979, Б21, № 8, с. 601–605.
7. Берлин А. А., Виноградов Г. А., Корбянский В. М. — Изв. АН СССР. Сер. хим., 1970, № 5, с. 1192.
8. Берлин А. А., Виноградов Г. А., Овчинников А. А. — Изв. АН СССР, Сер. хим., 1971, № 10, с. 1398.

Институт хлорорганического  
синтеза АН АзССР

Поступило 14. XII 1983

Э. В. Рэнимов, Б. Э. Мамедов, М. М. Гусейнов, С. Э. Гусейнов

#### НАФТОКСИЛ ТИПЛИ ПОЛИРАДИКАЛЛАРЫН СИНТЕЗИ ВӘ ТӘДГИГИ

Мәгала олигонафтоловарын гәләви мүһитдә оксиленә оксидләшмәси заманы нафтоксил типли полирадикалларын эмәлә кәлмәснин вә онларын бә'зи хассәләрини тәдгигиңең һәэр олумушшудур.

Нафтоксил типли полирадикалларын синтезинин оптималь шәрәнәләри тапылмыштыр. Муәјҗән олумушшудур ки, бу радикаллар отаг температуруда алты айдан артыг мүддәтдә дәјишишмәз галыр вә  $100^\circ\text{C}$  температура кими гыздырылмага давамлыдыр. Нафтоксил типли полирадикалларын электрик кечиричилији олигонафтодларын электрик кечиричилијинә иисбәтән јүксәккәндир.

A. V. Ragimov, B. A. Mamedov, M. M. Guseinov, S. A. Guseinov

#### SYNTHESIS AND INVESTIGATION OF POLYRADICALS OF NAPHTHOXYL TYPE

The article deals with an investigation of formation of polyradicals of naphthoxyl type under oxidation of oligonaphthol by oxygen in alkali medium and some properties. The optimal conditions of synthesis of polyradicals of naphthoxyl type are found. It is established that these radicals remain over six months at room temperature and are stable to heating up to  $373 \text{ K}$ . The conductance of these polyradicals proves to be greatly improved over that of oligonaphthols.

Г. М. ТАЛЫШИНСКИЙ

#### ИЗУЧЕНИЕ АКТИВНОСТИ АМИЛАЗЫ И АЛАНИНДЕГИДРОГЕНАЗЫ В СОПЛОДИЯХ ШЕЛКОВИЦЫ РАЗЛИЧНОЙ СТЕПЕНИ ПЛОИДНОСТИ

(Представлено академиком АН Азербайджанской ССР И. К. Абдуллаевым)

В специальной литературе отмечается, что изменение природы растения на хромосомному уровне оказывает существенное влияние на специфические особенности множественных форм ферментов [3, 7–10].

Результаты исследований вышеупомянутых авторов свидетельствуют также о геномной специфичности электрофоретических различий изоферментов, что указывает на возможность применения их в качестве молекулярно-генетических маркеров в геномном анализе полиплоидных растений при решении проблем филогенеза.

Ранее нами были выявлены непропорциональные изменения числа и степени активности множественных форм некоторых ферментов групп дегидрогеназ и эстераз в листьях шелковицы различной степени пloidности [7]. Учитывая значение в метаболизме живого организма этих ферментов, мы продолжали свои исследования по изучению активности других. Возможно, знание характера множественных форм амилазы и аланиндеgidрогеназы позволит правильно ответить на вопрос, удваивается ли число или степень активности изученных ферментов в соплодиях полиплоидных мутантов шелковицы по сравнению с нормальными диплоидными сортами.

#### МАТЕРИАЛ И МЕТОДИКА

Материалом для исследований служил диплоидный сорт Сыхгезтут, из которого в отделе генетики и селекции шелковицы нашего института методом колхицинирования семян была получена тетраплоидная форма (АзТ 58-15), а затем путем скрещивания диплоидного сорта с тетраплоидами создана триплоидная форма (АзТ 59-6). Харзарт-тут (додекаплоид) получен в результате гибридизации между диплоидным сортом Зариф-тут и Хар-тут (вигинтидуаплоид). Как известно, в соматической клетке диплоида имеется 28, триплоида — 42, тетраплоида — 56, додекаплоида — 168, вигинтидуаплоида — 308 хромосом [1, 2].

Опытные деревья шелковицы выращивали на участке Ашхеронской экспериментальной базы при одинаковых агротехнических фонах. Пробы зрелых соплодий собирали на одинаковых уровнях кроны деревьев в 1980 г. Для определения каждой полиплоидной формы анализы производились в четырех биологических повторностях. Собранные пробы растирали в сахарно-бикарбонатном буфере pH 7,6 в соотношении 1:2. Полученную массу пропускали через 4-слойную марлю и центри-

фурировали. Надосадочную жидкость использовали для анализа. Сообщение о диск-электрофорезе и технике его проведения дано в ранее опубликованной работе [6].

**Амилаза 1-1,4-глюкан-4-гликаногидролаза.** Для приготовления нижнего геля брали одну часть раствора 1, две части — 2, четыре — 3 (этот раствор приготавливали не на воде, а на 1%-ном растворе крахмала) и, наконец, одну часть воды. После электрофореза каждый гель в течение 60 мин инкубировали в 10 мл 0,1 М ацетатного буфера рН 5,6 при 37°C. Затем буфер отбрасывали, гель промывали 3 раза дистиллированной водой и окрашивали разбавленной смесью по 3—5 мин. В неокрашенных зонах наблюдали проявление множественных форм амилазы. Разбавленную смесь приготавливали в следующем порядке: 300 мг кристаллического йода растворяли в 96%-ном чистом этаноле, в отдельности готовили 3%-ный водный раствор йодистого калия (перед употреблением 6 раз разбавляли, затем перемешивали и использовали в качестве окрашивающего раствора [5]).

**Аланинегидрогеназа (1-аланин-НАД-оксидоредуктаза (дезаминирующая); 1, 4, 1, 1).** Для определения активности множественных форм этого фермента верхний гель готовили по общепринятой методике. После электрофореза каждый гель инкубировали в 10 мл 1/15 М фосфатного буфера рН 7,4, содержащего 25 мг аланина, 1 мг НАД, 2 мг НСТ и 1 мг ФМС. Время инкубации составляло 40—60 мин при 37°C. После инкубации гель промывали дистиллированной водой и ставили в ходильник в смеси с уксусной кислотой, этанолом и водой в соотношении 10:30:1 [4].

Во всех случаях при выявлении на колонках той или иной ферментативной активности ставили контроль, в котором инкубационная смесь содержала все необходимые компоненты, кроме субстратов [8].

## РЕЗУЛЬТАТЫ ИССЛЕДОВАНИИ

В соплодиях диплоидного сорта Сыхгез-тут и выведенных из него три- и тетраплоидных мутантов найдены две молекулярные формы амилазы, имеющие одинаковую степень активности и ОЭП (рисунок).

Установлено заметное увеличение количества аланинегидрогеназы и ее ОЭП при переходе от диплоида (ОЭП 0,45 и 0,80) к тетраплоидной форме (ОЭП 0,15; 0,45; 0,55; 0,85 и 0,95). В соплодиях триплоидной формы установлены четыре молекулярные формы этого фермента (ОЭП 0,35; 0,58; 0,75 и 0,85). Выявлен прирост количества интенсивно окрашенных зон в результате полипloidии (1 — у диплоида, 3 — у триплоида и 4 — у тетраплоида), что свидетельствует о явной корреляции его в соплодиях шелковицы до тетраплоидного уровня).

Рассмотрение изменения активности двух вышеуказанных ферментов в соплодиях высокоплоидных форм шелковицы показывает, что у родительских сортов (Зариф-тут и Хар-тут) содержатся две молекулярные формы амилазы, которые в соплодиях обоих растений имеют аналогичную степень активности, но ОЭП этого фермента у Зариф-тута несколько больше, чем у Хар-тута. В соплодиях же Хазар-тута выявлены три молекулярные формы амилазы, из них первая и вторая (ОЭП 0,05 и 0,10) являются высокоактивными, последняя в ПААГ проявляется в умеренном виде, не превышая границы ОЭП от 0,20. Следовательно, у гибрида проявляется одна новая форма амилазы, что свидетельствует о гетерозионном эффекте полипloidии.

Аланинегидрогеназа в соплодиях Зариф-тута представлена четырьмя (ОЭП 0,20; 0,35; 0,45; 0,75), у Харзар-тута и Хар-тута — тремя формами (ОЭП соответственно 0,35; 0,45; 0,75 и 0,12; 0,55 и 0,75). У диплоидного сорта Зариф-тут (ОЭП 0,35 — исключение) и у гибрида

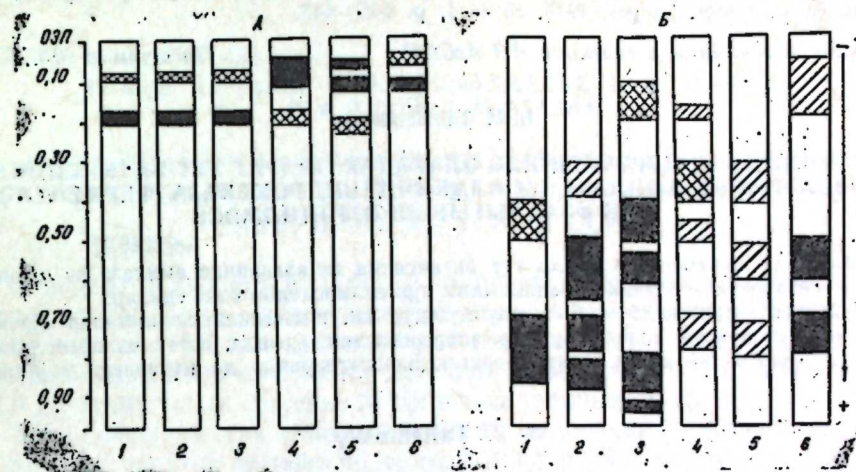


Схема энзимограмм амилазы и аланинегидрогеназы соплодий полиплоидных форм шелковицы, наблюдавшихся при их фракционировании методом электрофореза в поликарбамидном геле: А — амилаза; Б — аланинегидрогеназа:  
1 — Сыхгез-тут (исходный диплоид); 2 — АзТ 59-6 (триплоид); 3 — АзТ 58-15 (тетраплоид); 4 — Зариф-тут (диплоид); 5 — Харзар-тут (додекаплоид); 6 — Хар-тут (витинидуаплоид)

Харзар-тут почти все молекулярные формы этого фермента проявились в слабом виде. В соплодиях Хар-тута, наоборот, из трех две локализованы в более активном виде в ПААГ.

Таким образом, сравнительное изучение этого фермента в найденных соплодиях высокоплоидных форм шелковицы показывает, что степень его активности у гибрида (Харзар-тут) по сравнению с материнским сортом Хар-тут падает. Полученные результаты позволяют сделать вывод, что количественное увеличение и деятельность множественных молекулярных форм обоих ферментов, наблюдавшихся при полипloidии, не были пропорциональны уровню плойдности с дозой гена.

## Литература

1. Абдуллаев И. К., Джагаров Н. А., Турчанинова Л. В. Морфолого-анатомические особенности листа женских и мужских и обеополых 168-хромосомных межвидовых гибридов шелковицы. — Изв. АН АзССР. Сер. биол. наук, 1972, № 1, с. 41—46.
2. Абдуллаев И. К., Ширшева Л. А., Велиева Т. З. Биоморфологические особенности вегетативных и генеративных органов мужских высокополиплоидных (168- и 308-хромосомных) форм шелковицы. — Докл. АН АзССР, 1979, т. XXXIV, № 1, с. 91—96.
3. Плаксина Т. И. Изоферменты амилазы в полиплоидных листьях шелковицы. — В сб.: III симпозиум по полипloidии у шелковицы. Баку: Элм, 1978, с. 24—25.
4. Филиппович Ю. Б., Минина Н. И. Ферменты в тканях тутового шелкопряда в процессе его онтогенеза. — В сб.: Биохимия насекомых. М., 1975, вып. XVIII, с. 126—140а.
5. Сафонов В. И., Сафонова М. П. Исследования белков и ферментов растений методом электрофореза в поликарбамидном геле. — В сб.: Биохимические методы в физиологии растений. М.: Наука, 1974.
6. Талышинский Г. М. Белковые фракции листьев исходных сортов и полученных из них экспериментальных три- и тетраплоидных форм шелковицы. — Изв. АН АзССР. Сер. биол. наук, 1975, № 5, с. 54—60.
7. Талышинский Г. М. Активность и изоэнзимный состав некоторых дегидрогеназ в белковых фракциях листьев шелковицы различной степени плойдности: Тр./О-во генетиков и селекционеров Азербайджана. — Баку: Элм, 1979, т. 3, с. 151—159.
8. Hirano H. Evaluation of the heterosis effect in cotton. — In: Proceedings of the International Conference on Cotton Breeding and Genetics, Baku, 1979, p. 151—159.

on of affinities in mulberry and its relatives by peroxidase Isozyme technique.—JARG, 1977, 11, № 4, p. 228—233. 9. Hirano H., Naganuma K. Inheritance of peroxidase Isozymes in mulberry (*Morus spp.*).—Euphytica, 1979, 28, № 1, p. 73—79. 10. Pejov O., Hadlaezky L., Belka A. Electrophoretic Isoenzymes studies on the *Aegilops ovata* × *Triticum turgidum* ssp. *carthlicum* amphidiploid.—Acta agron. Acad. scient. hungar., 1976, № 3—4, p. 445—448.

Институт генетики и селекции АН АзССР

Поступило 18. II 1983

И. М. Талышински

**ПЛОИДЛИЛИК ДЭРЭЧЭСИ ИЛЭ ӨЛАГЭДАР ОЛАРАГ ТУТ БИТКИСИННИН  
МЕЙВЭЛЭРИНДЭ АМИЛАЗА ВЭ АЛАНИНДЕИДРОКЕНАЗА ФЕРМЕНТЛЭРИ-  
НИН ФЭАЛЛЫГЫНЫН ӨЈРЭНИЛМЭСИ**

Мэгэлэдэ полиплоид формалы тут биткисинний мејвэлэриндэ амилаза вэ аланиндеидрокеназа ферментлэрини фэаллыхынын өјрэнилмэсиндэн бэхс едилр.

Тэдгигат иэтчэснэдэ мүэjjэн олунмушдур ки, плойдликлэ өлагэдэр өјрэнэ. Энэ ферментлэрии иэнинки молекулжар формаларынын мигдарында, нэтта онларын фэаллыхыг дэрэчэснэдэ вэ нисби электрофоретик һэрэктэлэриндэ дэ мутэнасиб дэйшижилж кетмир.

G. M. Talishinsky

**A STUDY OF AMILASE AND ALANINDEHYDROGENASE ACTIVITY IN  
THE COLLECTIVE-FRUTS OF MULBERRY OF DIFFERENT PLOIDY LEVELS**

In the article the results of amilase and alaninidehydrogenase activity changes in collective-fruits of mulberry are given on different ploidy levels.

It is determined that proportional changes not only in the quantity of molecular forms but also in the degree of activity and REM (relative electrophoretic migration) of studied enzymes aren't observed in polyploidy.

АЗЭРБАЙЖАН ССР ЕЛМЛЭР АКАДЕМИЯСЫНЫН МЭРҮЗЭЛЭРИ

ДОКЛАДЫ АКАДЕМИИ НАУК АЗЕРБАЙДЖАНСКОЙ ССР

ТОМ XL ЧИЛД

№ 12

1984

АГРОХИМИЯ

УДК 631.41:631.811+631.452

Чл.-корр. АН АзССР А. Н. ГЮЛЬХАМЕДОВ, А. М. АЗИМОВ,  
Н. А. АГАЕВ, Т. М. АГАЕВА

**СОДЕРЖАНИЕ ПОДВИЖНОГО МАРГАНЦА В ПОЧВАХ  
ПОДГОРНОЙ РАВНИНЫ КАРАБАХСКОЙ СТЕПИ  
АЗЕРБАЙДЖАНСКОЙ ССР**

В почвах подгорной равнины Карабахской степи содержание доступных растениям форм микроэлементов изучено недостаточно. Для получения большего эффекта в проводимых исследованиях результаты анализов почв необходимо сопоставлять с данными по эффективности микробудобреий в вегетационных, полевых и производственных опытах.

Нами образцы для аналитических исследований с целью группировки почв изучаемого региона по содержанию в них подвижного марганца были собраны весной и летом 1980, 1981 и 1982 гг. по основным типам почв подгорной равнины Карабахской степи в пределах Агдамского района Азербайджанской ССР. Руководством в работе была почвенная карта, составленная М.П. Бабаевым (1966), и карта природных районов. Для рациональной организации всего процесса полевого исследования на отдельных доминирующих по площади типах почв нами заложено несколько разрезов. В основном же брались смешанные образцы из пахотного горизонта. Данные по содержанию подвижного марганца в основных типах почв подгорной равнины Карабахской степи в пределах Агдамского района приведены в табл. 1.

Как видно из таблицы, в исследуемом районе содержание марганца изменяется в зависимости от типов почв, а также от их географического расположения.

Слабо обеспечены подвижным марганцем горно-коричневые послелесные маломощные (5), горные серо-коричневые маломощные и неполноразвитые (9 и 12), горно-каштановые маломощные и неполноразвитые

Таблица 1

Содержание подвижного марганца в основных типах почв  
подгорной равнины Карабахской степи (в пределах Агдамского района)  
Азербайджанской ССР, мг/кг воздушно-сухой почвы

Почва	№ почвенной разности	Содержание марганца		Число точек
		пределы колебаний	Средн.	
1	2	3	4	5
Горно-лесные коричневые типичные	1	27,8—41,6	34,9	56
Горно-лесные коричневые карбонатные	2	0,8—7,4	6,1	60
Горно-коричневые послелесные мощные	3	48,8—59,4	53,3	68
Горно-коричневые послелесные среднемощные	4	11,6—21,6	18,4	44

Окончание табл. 1

1	2	3	4	5
Горно-коричневые послелесные мало-мощные	5	1,4—8,9	6,9	40
Горно-коричневые послелесные окультуренные	6	45,2—58,0	52,6	42
Горные серо-коричневые (коричневые карбонатные) мощные	7	26,6—40,4	34,9	45
Горные серо-коричневые среднемощные	8	12,1—23,0	18,9	31
Горные серо-коричневые маломощные	9	1,8—9,0	6,7	38
Горные серо-коричневые слитые	10	25,8—38,1	32,6	42
Горные серо-коричневые окультуренные	11	46,3—55,7	51,5	34
Горные серо-коричневые неполноразвитые	12	0,4—8,8	5,2	38
Горно-каштановые мощные	13	28,0—43,3	39,6	42
Горно-каштановые среднемощные	14	12,2—20,1	16,8	30
Горно-каштановые маломощные	15	0,1—8,8	5,7	54
Горно-каштановые солонцеватые	16	10,0—18,4	14,7	50
Горно-каштановые гипсонасные	17	25,4—38,8	32,4	39
Горно-каштановые перегнойно-сульфатные (гажевые)	18	10,4—20,5	17,2	46
Горно-каштановые окультуренные мощные	19	31,4—44,2	38,8	48
Горно-каштановые окультуренные среднемощные	20	28,4—44,1	37,5	42
Горно-каштановые окультуренные мало-мощные	21	2,9—10,0	8,6	35
Горно-каштановые окультуренные слитые	22	14,3—24,5	20,3	34
Горно-каштановые неполноразвитые	23	0,7—8,8	6,9	30
Коричневые светлые	24	25,1—38,4	34,3	46
Лугово-коричневые	25	46,4—56,6	52,8	44
Каштановые мощные	26	29,4—44,1	40,5	32
Каштановые среднемощные	27	25,1—41,6	38,1	26
Каштановые маломощные	28	13,3—24,5	20,9	27
Каштановые гипсонасные	29	25,0—40,6	36,3	30
Каштановые орошаляемые мощные	30	48,5—58,1	55,1	35
Каштановые орошаляемые серднемощные	31	29,4—45,0	39,9	32
Каштановые орошаляемые мало-мощные	32	15,2—22,0	17,0	28
Каштановые давноорошаляемые	33	45,4—54,1	52,2	54
Каштановые давноорошаляемые солончаковые	34	25,0—38,6	33,9	37
Каштановые давноорошаляемые слитые	35	28,1—41,4	37,1	30
Каштановые неполноразвитые	36	0,5—8,6	5,7	34
Обыкновенные серо-коричневые давноорошаляемые	37	14,4—25,0	21,6	37
Светло-каштановые давноорошаляемые солонцеватые	38	10,3—21,8	17,0	43
Лугово-каштановые давноорошаляемые	39	46,7—60,0	55,1	32
Лугово-каштановые давноорошаляемые среднемощные	40	27,1—43,5	36,7	27
Лугово-каштановые давноорошаляемые слитые	41	25,4—42,0	37,3	40

Таблица 2

## Группировка почв подгорной равнины Карабахской степи Азербайджанской ССР по содержанию подвижного марганца

Группы	Содержание марганца, мг/кг		Степень обеспеченности, мг/кг	Почвы	Рекомендуемая доза марганцевого микрourодобрения почвы, кг/га д. в.
	Пределы колебаний	Средн.			
I	0,1—10	8,9	Очень низкая	Горно-коричневые послелесные мощные, горно-каштановые солонцеватые, горно-каштановые перегнойно-сульфатные, горно-коричневые неполноразвитые, горно-каштановые исполноразвитые, горно-каштановые солонцеватые, горно-каштановые (гажевые), горно-каштановые окультуренные слитые, каштановые мало-мощные, каштановые орошаляемые мощные, каштановые давноорошаляемые солонцеватые, обыкновенные серднемощные, каштановые давноорошаляемые	5
II	10—20	20,4	Низкая	Горно-коричневые послелесные среднемощные, горно-каштановые мощные, горно-каштановые солонцеватые, горно-каштановые перегнойно-сульфатные, горно-коричневые (гажевые), горно-каштановые солонцеватые, горно-каштановые исполноразвитые, горно-каштановые (гажевые), горно-каштановые окультуренные слитые, каштановые мало-мощные, каштановые орошаляемые мощные, каштановые давноорошаляемые солонцеватые, обыкновенные серднемощные, каштановые давноорошаляемые	4
III	25—45	37,8	Средняя	Горно-коричневые типичные, горные серо-коричневые мощные, горные серо-коричневые окультуренные, горно-каштановые среднемощные, горно-каштановые мощные, горно-каштановые (гажевые), горно-каштановые окультуренные слитые, каштановые мало-мощные, каштановые орошаляемые мощные, каштановые давноорошаляемые солонцеватые, каштановые давноорошаляемые солонцеватые, каштановые давноорошаляемые	3
IV	45—60	56,5	Высокая	Горно-коричневые послелесные мощные, горные серо-коричневые окультуренные, лугово-коричневые, каштановые орошаляемые мощные, каштановые давноорошаляемые, лугово-каштановые давноорошаляемые	1

(15 и 23), каштановые неполиоразвитые (36), горно-каштановые окультуренные маломощные (21) и другого типа почвы, содержание этого элемента колеблется в них от 0,1 до 10,0 мг/кг.

По содержанию подвижного марганца почвы подгорной равнины Карабахской степи разбиты на четыре группы (табл.2.). Почвы, содержащие подвижный марганец в пределах от 0,1 до 10,0 мг/кг объединены в I группу с символом «очень низкая».

II группу составляют почвы с содержанием подвижного марганца 10—25 мг на 1 кг почвы — низко обеспеченные.

Обширную площадь занимают почвы с содержанием подвижного марганца в пределах 25—45 мг на 1 кг почвы. Эти почвы входят в III — среднеобеспеченную марганцем группу.

Как показали исследования Г. А. Алиева, А. Н. Гюльхмедова, Н. А. Агаева и других авторов, внесение марганцевых удобрений под сельскохозяйственные растения дает значительную прибавку урожая граната, винограда, озимой пшеницы, кукурузы, люцерны и других культур. На основании полевых опытов и анализов почв считаем, что для получения высоких и качественных урожаев внесение марганцевых удобрений в почвы III группы должно быть обязательным.

В IV группу вошли почвы с наибольшим содержанием подвижного марганца — от 45 до 60 мг/кг. Больше всего подвижного марганца среди этих почв в каштановых орошаемых мощных и лугово-каштановых давноорошаемых — в среднем 55,1 мг/кг. Однако, несмотря на сравнительно высокое содержание подвижного марганца в почвах IV группы, искусно вносимые небольшие количества марганцевых удобрений положительно сказываются на урожае многих сельскохозяйственных культур.

Представленные данные позволяют выделить в подгорной равнине Карабахской степи в пределах Агдамского района почвы с очень низким, низким, средним и высоким содержанием подвижного марганца. Установлена хорошая корреляция между содержанием в почве гумуса и марганца. С повышением гумусности почвы увеличивается содержание в ней марганца.

После проведения исследований нами рекомендованы дозы марганцевого микроудобрения для каждой группировки почв в отдельности.

Институт почвоведения и  
агрохимии АН АзССР

Поступило 6. III 1983

Э. Н. Күләһмәдов, А. М. Эзимов, Н. А. Агаев, Т. М. Агаева

### АЗЭРБАЙЧАН ССР ГАРАБАГ ДҮЗҮ ДАГӘТӘЈИ ДҮЗӘНЛИКИ ТОРПАГЛАРЫНДА МҮТӘНӘРРИК МАНГАНЫН МИГДАРЫ

Гарабаг дүзү дагәтәји дүзәнлиги торпаглары тәркибиндәки мүтәнәррик манганин мигдарына көрә дөрд группа белгүмүштүр.

I группа тәркибинде 0,1—10 мг/кг, II группа 10—25 мг/кг, III группа 25—45 мг/кг вә IV группа 45—60 мг/кг манган олан торпаглар дахил едилмиштir.

I группа мангайла «чох зәніф», II группа «зәніф», III группа «орта» вә IV группа исә «жүксәк» дәрәчәдә тә'мин олунмуш торпаглар дахил едилмиштir.

Торпаглардағы ғұмус маддәләри илә манган микроэлементи арасында әлагәнни олдуғу мүәжжін едилмиштir.

A. N. Gulakhmedov, A. M. Azimov, N. A. Agaev, T. M. Agaeva

### THE MOBILE CONTENT OF MANGANESE UNDER THE MOUNTAIN PLAIN OF THE KARABAKH STEPPE OF THE AZERBAIJAN SSR

The mobile content of manganese was studied in the main type of soil under the mountain plain of the Karabakh steppe in the course of three years (1978—1980) within the Agdam region of the Azerbaijan SSR.

The results of all analyses of soils are classified in four groups:

1. The mobile content of manganese within 0.1—10.0 mg/kg characterizes that the providing degree is very low.

2. The content of manganese within 10—25 mg/kg shows that the providing degree is low.

3. The III-rd group is characterized by the mobile form of manganese of middle degree which is 25 mg/kg in the content of every kg within soils.

4. High providing degree of manganese includes soils which contain 45—60 mg/kg in every kg of soils.

## ДОКЛАДЫ АКАДЕМИИ НАУК АЗЕРБАЙДЖАНСКОЙ ССР

ТОМ XL ЧИЛД

№ 12

1984

УДК 553.981/82(474.24)

## ГЕОТЕКТОНИКА

Г. Р. АЛИЕВ

ГЕОТЕРМИЧЕСКАЯ ХАРАКТЕРИСТИКА  
АПШЕРОНО-ПРИБАЛХАНСКОЙ ЗОНЫ МОРСКИХ ПОДНЯТИЙ

(Представлено академиком АН Азербайджанской ССР Ш. Ф. Мехтиевым)

Первые замеры температуры в нефтяных скважинах Апшеронского полуострова проведены Л. Ф. Бацевичем (1881 г.), затем Д. В. Голубятниковым (1906—1913 гг.) и М. В. Абрамовичем (1912 г.). С 1940 г. геотермическими исследованиями районов Азербайджана занимался Ш. Ф. Мехтиев [3, 4].

Разработка нефтегазовых месторождений Апшероно-Прибалханской зоны началась с 1947 г. (Гюргян-море), а температурные исследования— только с 1959 г. (б. Дарвина), и то в большинстве случаев лишь в пределах отдельных структур [1, 2, 5 и др.].

Нами предпринята попытка осветить результаты геотермических исследований по месторождениям Приапшеронской и Прибалханской подзоны как по каждой в отдельности, так и в региональном плане. С учетом того, что замеры по отдельным скважинам проводились на различных глубинах, полученные данные приведены на единой плоскости (2000 м). При этом использованы результаты глубинных замеров температур по структурам Песчаный-море, Бахар, Южная и б. Жданова.

Замеры температур осуществлялись как в отдельных точках (табл. 1), так и поинтервально — через каждые 500 м (табл. 2) в скважинах, расположенных в основном в пределах контура нефтеносности. Исследования проводились с целью выявления зависимости температуры от глубины, характера изменения ее по профилю продуктивных пластов, определения таких параметров температурного режима, как геотермическая ступень, геотермический градиент и др. Так как подавляющее большинство замеров относится к месторождению Песчаный-море, для наглядности распределения в нем пластовой температуры на основе результатов 115 замеров, представленных единой плоскостью—2000 м, построена карта изотерм (рис. 1). Но из-за недостаточности фактического материала по пластовой температуре месторождений Южная, б. Жданова и Бахар исследование проведено лишь по табличным данным (табл. 1).

Для полноты представления о тепловом режиме рассматриваемой области необходимо: 1) сравнение температур по определенным срезам глубины, которые легли в основу составления геотермической карты (рис. 1); 2) сравнение температур на одной и той же глубине по отдельным площадям (табл. 2).

При рассмотрении данных табл. 1 получаются довольно интерес-

№ скв.	Глубина замера, м	Т-ра, °C на глубине		№ скв.	Глубина замера, м	Т-ра, °C на глубине	
		замера	2000 м			замера	2000 м
<b>Песчаный-море</b>							
52	2090	72	70	338	3000	78	54
114	1950	69	70	350	3100	80	53
163	2100	74	72	364	2200	80	75
166	2600	75	60	368	1200	70	65
197	2100	74	72	387	2265	74	68
228	2600	77	62	512	3240	88	60
253	1725	66	73	407	3100	86	59
259	1240	67	85	409	3800	92	73
<b>Бахар</b>							
20	4230	92	49	45	3700	87	54
<b>Южная</b>							
5	2500	72	60	18	1500	60	61
9	3400	87	52	22	3400	85	50
12	4260	104	47	25	1500	57	58
16	3730	90	49	26	3320	91	57
<b>б. Жданова</b>							
4	3000	65	47	20	1500	64	73
4	3095	67	47	21	1500	52	61
5	3440	67	42	24	3400	75	72

Таблица 2

Площади	Южная			б. Жданова	
	Скв.	18	20	25	20
Дата замера	17. VII 1970	20. VIII 1970	20. VII 1970	6. X 1973	21. II 1976
<b>Глубина, м</b>					
		<b>Т-ра, °C</b>			
500	—	56	48	50	31
1000	51	66	51	59	44
1500	60	72	57	64	52
2000	70	78	67	73	61
2500	78	83	74	—	66
3000	85	88	82	—	76
3500	89	93	89	90	86

ные результаты: во-первых, минимальное ( $42^{\circ}\text{C}$ ) и максимальное ( $73^{\circ}\text{C}$ ) значения пластовых температур фиксируются лишь на месторождении б. Жданова; во-вторых, низкие значения температур, начиная с б. Жданова ( $42^{\circ}\text{C}$ ) в сторону Южной ( $49^{\circ}\text{C}$ ), Бахара ( $49^{\circ}\text{C}$ ) и Песчаного-моря ( $60^{\circ}\text{C}$ ), постепенно увеличиваются, а по повышенным значениям в том же направлении наблюдается обратная картина. Исключением является площадь Песчаный-море ( $70^{\circ}\text{C}$ ), где разница в темпе-

ратурах (по основной массе замеров), в отличие от б. Жданова ( $73^{\circ}\text{C}$ ), составляет всего  $3^{\circ}\text{C}$ , в то время как на площадях Южная и Бахар температуры не превышают соответственно  $61$  и  $54^{\circ}\text{C}$ .

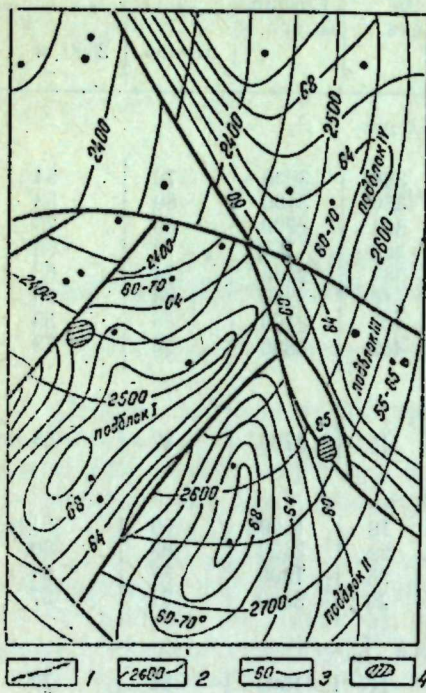
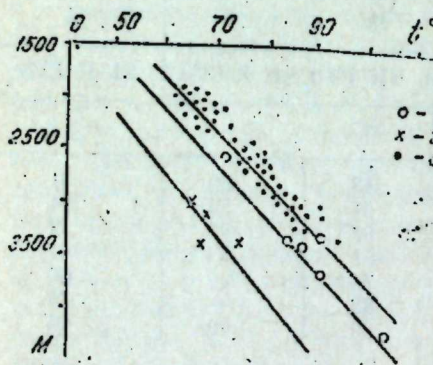


Рис. 1. Песчаный-море. Геотермическая карта горизонтального среза на глубине 2000 м:  
1 — тектонические разрывы; 2 — стратонизогипсы;  
3 — геоизотермы; 4 — аномальная зона температуры

Плавное нарастание пластовых температур с глубиной (рис. 2) позволяет предположить отсутствие интенсивного движения подземных вод, что свидетельствует о застойном характере гидродинамического бассейна Апшероно-Прибалханская зоны.



На карте среза 2000 м (рис. 1) пластовая температура на площади месторождения Песчаный-море изменяется в основном от  $60$  до  $70^{\circ}\text{C}$ . Вместе с тем на этой же глубине, по данным скв. 163, 259, 364, 409, наблюдается аномальная зона повышенной ( $72$ — $85^{\circ}\text{C}$ ) температуры, а в районе скв. 338, 350 — пониженной ( $50$ — $55^{\circ}\text{C}$ ).

Линии геоизотерм на III и IV подблоках протягиваются почти па-

раллельно осевой плоскости, но на IV к погружению крыльев они отходят в сторону падения пластов, а на I и II прорезают стратонизогипсы и осевую плоскость структуры под углом, изгибаясь то на юго-восток, то на северо-запад.

Наиболее прогретые зоны отмечаются в центральных частях подблоков. Участок, характеризующийся сравнительно низкими температурами, приурочен к разрезам, т. е. по мере удаления от центральных частей подблоков к разрывам, изолирующим их, пластовые температуры постепенно снижаются. Указанные явления, по-видимому, связаны, с одной стороны, с разрывами глубокого заложения, а с другой — с разуплотненностью как образований ПТ, так и подстилающих ее отложений.

С целью прослеживания изменения температур и геотермической ступени с глубиной по данным пяти скважин, в которых замер температур производился поинтервалю (табл. 2), составлены графики, представленные на рис. 3.

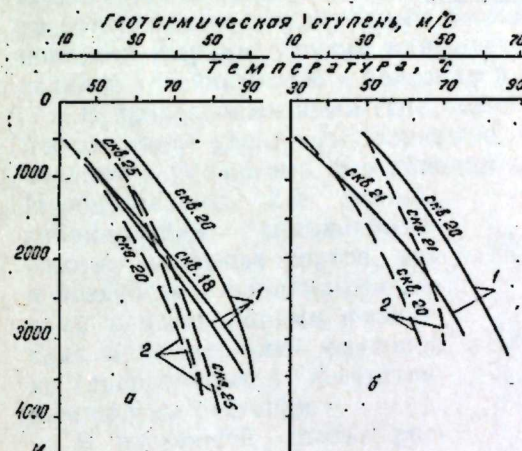


Рис. 3. Изменение с глубиной температуры (1) и геотермической ступени (2) на месторождениях Южная (а) и б. Жданова (б)

Как видно из рисунка, изменение температур до глубины 1500—2000 м подчиняется прямолинейному закону, а ниже градиент их нарастания несколько убывает; далее, по данным двух скважин (20-Южная и 20-б. Жданова), изменение геотермической ступени происходит строго параллельно изменению температур. В скв. 21 (б. Жданова), 18 и 25 (Южная) эта закономерность нарушается. Нами подобное явление объясняется раздробленностью зоны расположения этих скважин, где развиты крупноамплитудные разрывы, которые могли бы служить интенсивному теплопереносу не только вдоль продольного разрыва, но и по поперечным.

#### Литература

- Гумматов М. М. — АНХ, 1970, № 1, стр. 13—15.
- Мамедов М. К., Матвеев Е. М., Панахов И. А., Харитонов М. Ф. — Изв. вузов: Нефть и газ, 1968, № 10, с. 3—7.
- Мехтиев Ш. Ф.: Тр. Ин-т геологии АН АзССР, Баку, 1951, т. IV, с. 16—68.
- Мехтиев Ш. Ф., Буният-заде З. А., Нариманов А. А. — АНХ, 1981, № 9, с. 3—9.
- Панахов Г. З., Рустамов Р. И., Тагиев Ш. М. — АНХ, 1968, № 10, с. 1—3.

Институт геологии  
АН АзССР

Поступило 5. VII 1982

**АБШЕРОН-БАЛХАНДАНЫ ДӘНИЗ ГАЛХЫМЛАРЫ ЗОНАСЫНЫН  
КЕОТЕРМИК ХҮСУСИЙЈАТЛЭРИ**

Мәгәләдә гууларда дәринлик термометри илә апарылан өлчмәдән алымыш температур ма'луматларына вә 2000 м дәринлијү һесаблама иетиңләрниң эсасын тәдгигат рајонунун дәринлик үзә вә кениш планда кеотермик хүсусијјәтләри айданлашдырылып.

G. R. Aliyev

**GEOTHERMAL CHARACTERISTICS OF APSHERON-NEARBALKHAN ZONE  
OF SEA ELEVATIONS**

For the purpose of elucidation of presentation about the thermal regime of investigated region the article considers the temperature rate on 2000 m sections (pict. 1), temperature in one and the same depth on separate areas (pict. 2), changes with the depth of temperature and geothermal gradient in wells (pict. 3).

УДК 634,38,575,116

ГЕНЕТИКА

Лкад. АН АзССР И. К. АБДУЛЛАЕВ, М. О. АЛИЕВ

**ВЫСОКОПОЛИПЛОИДНЫЙ ПЛОДОВЫЙ СОРТ ХАР-ТУТ  
УЛУЧШЕННЫЙ**

Ягоды плодовой тути имеют важное пищевкусовое и лечебно-диетическое значение и широко используются населением. Особенно большую ценность представляют высокополиплоидные 308-хромосомные сорта, отличающиеся ежегодным высоким урожаем ягод, приспособленностью к жарким и сухим климатическим условиям Апшерона, сравнительной устойчивостью к болезням и вредителям.

В проведенных нами генетико-селекционных исследованиях серьезное внимание уделялось разработке наиболее эффективных методов получения и улучшения высокополиплоидных форм плодовой шелковицы. Использовались как методы гибридизации высокохромосомных исходных сортов, так и воздействие различными дозами и экспозициями физических и химических факторов на генеративные и вегетативные органы растения.

В настоящей статье рассматриваются биоморфологические и химико-технологические особенности новой высокополиплоидной 308-хромосомной плодовой шелковицы Хар-тут улучшенный.

В 1975 г. в результате воздействия на годичные побеги плодового сорта Хар-тут облучением в дозе 8 кР и окулировки глазками (почками) на подвое диплоидной шелковицы размножено и получено несколько измененных форм, из которых отобран наиболее перспективный мутант, названный нами Хар-тут улучшенный.

Изучение прохождения фенофаз показало, что у нового сорта сокодвижение начинается в начале апреля, распуска-

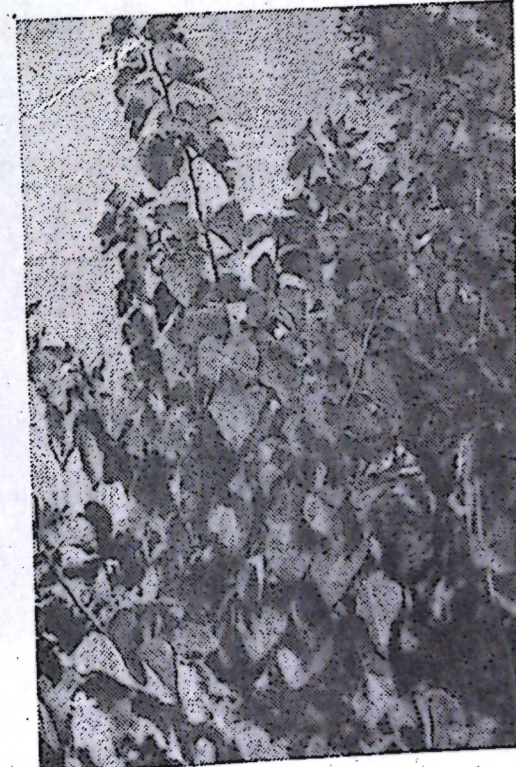


Рис. 1. Побеги сорта Хар-тут улучшенный

ние почек — в конце апреля, цветение — в первой декаде мая, созревание ягод — в начале июня, листопад — в конце ноября.

Хар-тут улучшенный имеет в соматической клетке 22 и -308 хромосом. Иногда встречаются и химерные разнопloidные соматические клетки.

**Вегетативные органы.** Крона хорошо развивается (рис. 1), более разветвлена. Кора толстая, с мелкими продольными трещинами, темно-коричневого цвета. Побеги имеют укороченные междуузлия длиной в среднем 4,5 см. Длина годичного побега 1,5 м, количество побегов на одном дереве — 38 шт. Молодые побеги покрыты крупными чечевицами. Почки крупные, широкотреугольной формы, темно-коричневого цвета, размером 10×7 мм. Почки прилегающие, клюковидной формы, приживаемость при окулировке высокая. Наилучшие сроки окулировки в условиях Апшерона — конец апреля — первая половина мая. Листья широкосердцевидные, плотные, кожистые, грубые, сверху — темно-зеленые, шершавые, снизу — светлые, крупнопильчатые. Форма вершинного зубца листа — короткоастренная. Тип зубцов листа — пильчатый, тип основания — с глубокой выемкой. Нервоструя сильная, 9 пар главных жилок. Листья в большинстве случаев цельные, но встречаются на некоторых ветках и лопастные. Размер листа 19,4×16,2 см (со средним весом 6,1 г), черешка — 3,1 см (рис. 2). Толстые опущенные цилин-



Рис. 2. Лист сорта Хар-тут улучшенный

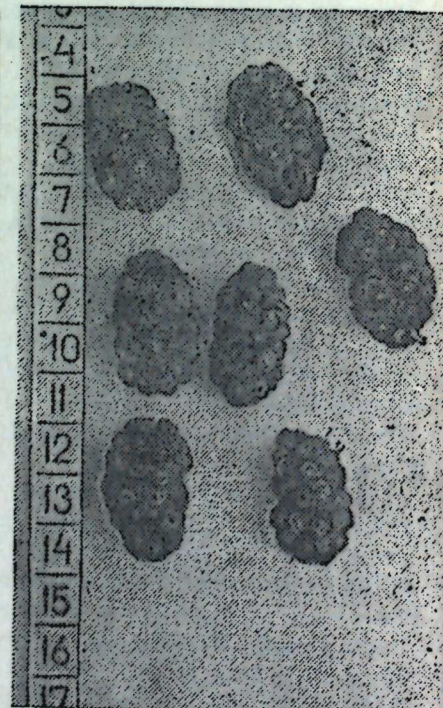


Рис. 3. Ягоды сорта Хар-тут улучшенный

дрические листья указанной формы устойчивы к заболеваниям, бактериозу и мучнистой росе, к апшеронским ветрам.

**Генеративные органы.** Дерево в основном женское, однако на ис-

которых побегах наблюдается появление в минимальном количестве мужских соцветий. Цветки собраны в соцветия. Женские соцветия короткие и толстые, плотные, стоячие, зеленого цвета; мужские — длинные, опадающие после цветения. Соплодия крупные, блестящие, широко-коудлиненной формы, автоцианового цвета; плотные, очень сочные, кисло-сладкие, винно-сладкие, ароматные. Созревшие соплодия не осыпаются, устойчивы к ветрам. Размер соплодий — от 3,5 до 4,5 см, ширина — от 2,0 до 2,5 см. Средний вес — 3,4—4,0 г, длина плодоножки — 0,2 см (рис. 3).

**Урожайность нового сорта:** урожай соплодий с одного дерева составляет 17,1—31,9 кг. Выход сока — 70,0%, сахара в свежих соплодиях — 17,0%, органических кислот — 0,90%, витамина С — 38 мг%. Изучение динамики накопления сахара в созревших соплодиях показало, что наиболее высокий процент его отмечается в период массового созревания соплодий — в начале августа.

Ягоды используются в свежем виде в течение двух месяцев (июль—август), из них приготовляют соки, компоты, варенье.

Приведенные в таблице данные показывают, что новый сорт по урожайности соплодия во все годы испытания значительно превосходит исходный сорт Хар-тут на 73,3—112,6%. С возрастом урожайность соплодия все больше повышается.

Год	Кол-во веток на дереве	Кол-во соплодий на 1 ветке	Средняя масса соплодия, г	Урожай соплодия		
				с 1 дерева, кг	с 1 га (из расчета 500 деревьев на 1 га), ц	Прибавка кг %
Сорт Хар-тут (контроль)						
1979	20	160	2,83	9,1	45,5	—
1980	26	180	2,88	13,5	67,5	—
1981	30	190	3,07	17,5	75,0	—
В среднем за 3 года	25,3	177,0	2,93	13,4	67,0	—
Сорт Хар-тут улучшенный						
1979	25	200	3,42	17,1	85,5	40,0
1980	30	205	3,80	23,4	117,0	49,5
1981	38	210	4,00	31,9	159,5	84,5
В среднем за 3 года	31,0	205,0	3,74	23,8	119,0	52,0
						77,6

Новый сорт Хар-тут улучшенный отличается от исходного Хар-тута более мощным ростом и развитием растения, большими темно-зелеными листьями, ежегодным высоким урожаем, крупными сочными и приятными на вкус ягодами и устойчивостью к болезням и экологическим условиям Апшерона, что делает его ценной плодоягодной культурой.

#### Литература

- Абдуллаев И. К. Естественная полипloidия у плодовой тути и ее значение в селекции. — Докл. АН АзССР, 1963, т. XIX, № 10. 2. Абдуллаев И. К. Методика экспериментальной полипloidии у шелковицы: Тр./Ин-т генетики и селекции. Баку, 1967.

т. В. З. Абдуллаев И. К. Полиплоидия в эволюции и селекции растений (на примере шелковицы *Morus*). — Вестн. АН СССР, 1972, № 1. 4. Алиев М. О. Использование радиации в селекции шелковицы рода *Morus*. — Изв. АН АзССР. Сер. биол. наук. 1977, № 3. 5. Алиев М. О. Влияние радиации на изменчивость разнопloidных форм шелковицы. — Субтропические культуры, 1979, № 3. 6. Алиев М. О., Пречистенский С. А. Плодовая шелковица. — Садоводство, 1978, № 2. 7. Махмудбекова Н. И. Изучение сортового состава плодовой тузы Апшерона. — Изв. АН АзССР. Сер. биол. наук. 1961, № 12.

Институт генетики и селекции  
АН АзССР

Поступило 31. III 1982

И. К. Абдуллаев, М. О. Элиев

### ЖҮКСӘК ПОЛИПЛОИДЛІ ЖАХШЫЛАШДЫРЫЛМЫШ ХАРТУТ МЕЙВӘЛИҚ ТУТ СОРТУ

Жени жүксәк полиплоидлы 308 хромосомалу жахышлашдырылмыш Хартут мејвәлик тут сорту 1975-чи илдә бириллик будагларын 8 кР шүа илә тә'сир едилмәсі ва өзүнде үсулу илә векеттаби чохалтма иәтишсендә алымышдыр.

Мејвәнин өлчүсү 3,5-дән 4,5 см-э гәдәр, орта чәкиси 3,4-дән 4,0 гр-а гәдәр, бир агадан мејва мәңсүлү 17,1-дән 31,9 кг-а гәдәр вә жаҳуд 77,6% әсас сорта көрә чохдур.

Ширә чыхымы 70,0%, тәзә јетишмиш мејвәләрни шәкәрлилиji 17,0%, үзви туршу 0,90%, витамин С-нин мигдары исә 38 мг%-дир.

Жени жахышлашдырылмыш Хартут сорту Хартут сортундан биткинин күчлү бој үзүннишифы, бөйүк түнд-јашыл жарпаглары, һәр ил јүксәк мәңсүлдарлығы, ири ширәлүү жахыш дада малик килемејвләрни вә хәсталија, Абшеронун экологи шараптиң давам-лылығы килемејвләрни даһа да гијмәтли етмәклә әналини тәзә мејва илә тә'мин олумасы учын бөйүк мараг көсб едир.

I. K. Abdullaev, M. O. Aliyev

### HIGHLY POLYPLOID FRUIT VARIETY KHAR-TUT IMPROVED

The new highly polyplloid 308 chromosomal variety of fruit mulberry Khar-tut improved was received in 1975 under irradiation influence on a year sprout in dose 8 kilorontgen and further vegetative reproduction by means of inoculation.

The dimensions of collective-fruit are 3.5–4.5 cm, the average weight is 3.4–4.0 g, the crop of the collective fruits of one tree is 17.1–31.9 kg, or 77.6 % more than initial variety. The yield of juice is 70.0 %, the content of sugar in fresh ripe collective fruits—17.0 %, organic acidity—0.90%, vitamin C—38 mg %.

The new variety Khar-tut Improved differs from initial Khar-tut by more powerful growth and development of plant, big dark-green leaves, yearly rich crop, large juicy and palatable berries and stability to diseases and ecological conditions of Apsheron, which makes it valuable fruit-berry crops and is of great interest for population's provision.

АЗЭРБАЙЧАН ССР ЕЛМЛӘР АКАДЕМИЈАСЫНЫН МӘРҮЗӘЛӘРИ

ДОКЛАДЫ АКАДЕМИИ НАУК АЗЕРБАЙДЖАНСКОЙ ССР

ТОМ XL ЧИЛД

№ 12

1984

УДК 616.12-008.331.1

МЕДИЦИНА

З. М. МУСАЕВ, Ю. И. СУВОРОВ

### ВОДНЫЕ ПРОСТРАНСТВА ОРГАНИЗМА У БОЛЬНЫХ ГИПЕРТОНИЧЕСКОЙ БОЛЕЗНЬЮ

(Представлено академиком АН Азербайджанской ССР М. Д. Джавад-заде)

В рамках исследований, направленных на изучение связи развития и стабилизации артериальной гипертензии с нарушениями водного гомеостаза, определенное значение придается перераспределению жидкости в организме с уменьшением объема циркулирующей плазмы (ОЦП) и накоплением ее в интерстициальном пространстве [4, 6, 11]. Между тем фактические данные, содержащиеся на этот счет в литературе, крайне противоречивы. Так, изучение общего содержания воды у больных гипертонической болезнью (ГБ) при отсутствии почечной и сердечной недостаточности не обнаружило достоверных отличий от нормы [4, 7, 12, 13, 15, 18]. Сведения об изменении объемов вне- и внутриклеточной жидкости на разных стадиях заболевания не позволяют выявить каких-либо существенных закономерностей. Отмечено уменьшение ОЦП при стабильной и длительно текущей артериальной гипертензии [4, 8, 11, 16]. Таким образом, сделать определенное заключение о роли задержки или перераспределения воды в механизме развития ГБ не представляется возможным.

Информация о состоянии водно-электролитного баланса у больных ГБ, представленная в литературе, часто не отражает ситуации, существующей при привычном для больных солевом режиме, так как перед исследованием в условиях стационара больные обычно переводятся на диету с ограничением поваренной соли и воды. Отсюда, как мы полагаем, имеет определенный интерес изучение водно-электролитного гомеостаза у здоровых лиц и больных ГБ, находящихся на привычном для них солевом и водном режиме.

В связи с этим цель нашей работы состояла в изучении водно-электролитного гомеостаза у больных ГБ со стабильным течением артериальной гипертонии, находившихся на привычном для них солевом и водном режиме; при этом предполагалось изучить взаимоотношение показателей водно-электролитного обмена и состояния ренин-ангиотензин-альдостероновой системы у этих больных.

#### МАТЕРИАЛ И МЕТОДЫ

Исследование проведено на 12 здоровых и 60 больных ГБ II-Б ст. неосложненного течения, без признаков сердечной и/или почечной недостаточности. Все обследованные — мужчины, в возрасте от 25 до 54 лет.

Обследование проведено на 1—3-й день пребывания в стационаре, на фоне привычного для исследуемого солевого и питьевого режима. О количестве принятой поваренной соли и жидкости судили по величинам суточного натрийуреза и диуреза. По меньшей мере, за месяц до начала обследования больные не получали диуретических препаратов, а за 2 недели — максимально уменьшалась гипотензивная терапия.

Продвигалось определение содержания общей воды тела (ОВТ) методом разведения радионуклида окиси трития [1, 2], объема внеклеточной жидкости (ОВЖ) с использованием метода разведения тиосульфата натрия [9] и объема циркулирующей плазмы (ОЦП) методом разведения индикатора Т-1824 [10]. Объемы внутриклеточной жидкости (ОВНЖ) и интерстициальной (ОИЖ) определялись расчетным путем. Полученные величины ОВТ выражали в мл/кг веса тела, в литрах на 1 м<sup>2</sup> площади тела (л/м<sup>2</sup>) и в процентах к ожидаемым нормальным величинам (% к ОНВ), рассчитанным по уравнениям регрессии [14]. ОВЖ, ОВНЖ, ОЦП и ОИЖ выражали в л/м<sup>2</sup>. Содержание электролитов (натрия и калия) в крови и моче исследовали методом пламенной фотометрии. Активность ренина в плазме крови (АРП) и концентрацию альдостерона в плазме (КАП) определяли радиоиммунологическим методом, используя наборы реактивов фирмы «Cea-Ige-Sorin» (Франция).

## РЕЗУЛЬТАТЫ И ИХ ОБСУЖДЕНИЕ

В целом по группе больных ГБ со стабильным течением гипертензии средние величины показателей состояния водных пространств организма не имели статистически достоверных различий по сравнению со здоровыми лицами. У больных ГБ отмечалась лишь тенденция к уменьшению ОЦП. Принимая во внимание то, что уровень артериального давления (АД) у больных данной группы имел довольно большой диапазон колебаний, их разделили на 2 группы. В первую с диастолическим АД менее 110 мм рт. ст. вошло 34 чел. (57% от общего числа обследованных больных), во вторую — с диастолическим артериальным давлением более 110 мм рт. ст. — 26 чел. (43% от всех больных). Проведенный анализ средних показателей состояния водных пространств организма также не выявил статистически достоверных различий как между выделенными группами, так и в сравнении с группой практически здоровых лиц. Тенденция к уменьшению ОЦП сохранялась в обеих группах больных ГБ.

Проведенный корреляционный анализ взаимоотношения показателей водных пространств организма и тяжести течения заболевания (по уровню диастолического артериального давления) опять-таки не выявил существенных коррелятивных связей. Полученные нами данные согласуются с результатами исследований большинства авторов [7, 12, 13, 15], не нашедших различий в состоянии водных пространств у больных ГБ со стабильной гипертензией по сравнению со здоровыми лицами. Приведенные выше результаты еще раз подтверждают сложившееся за последние годы мнение о малой эффективности принятых подходов к анализу состояния водного гомеостаза [8, 17]. Существующие клинико-патогенетические варианты течения ГБ подтверждают необходимость дифференцированного анализа фактического материала, в частности, с учетом привычки потребления поваренной соли и воды.

Анализ фактического материала показал (таблица), что среди боль-

Показатели водно-электролитного обмена у больных ГБ-II-Б ст. в зависимости от исходной величины потребления хлористого натрия

Показатели	Суточный натрийурез, мэкв				
	до 170		170—295		свыше 300
	Здоровые	Больные ГБ	Здоровые	Больные ГБ	Больные ГБ
	n=5	n=17	n=7	n=31	n=12
АД ср., мм рт.ст.	95±0,9 (93—98)	137±5,2 (110—167)	96±2,3 (92—97)	136±3,3 (117—183)	132±5,5 (110—167)
Вес тела, кг	82,8±4,59 (58,2—96)	83,5±3,86 (73,3—109)	80,3±6,9 (56—88,5)	86,5±3,6 (61,7—122,5)	80,6±2,62 (69,3—100,5)
ОВТ, мл/кг	652±98 (554—750)	608±15,5 (514—673)	556,8±49,9 (489—654)	587±13,8 (481—768)	625±27,3 (415—803)
ОВТ, % к ДНВ	114,3±2,5 (97,2—134,9)	113,4±2,7 (92,6—124,1)	108,2±8,2 (86,2—115,1)	112,5±2,05 (93,5—141,8)	117,8±5,1 (75,2—151,6)
ОВЖ, л/м <sup>2</sup>	6,06±0,19 (4,68—7,1)	6,01±0,19 (5,05—7,56)	5,76±0,16 (5,25—5,77)	5,8±0,11 (4,68—7,1)	5,55±0,13 (4,98—6,06)
ОНЖ, л/м <sup>2</sup>	20,1±0,57 (17,5—24,4)	20,4±0,6 (18,1—23)	20,46±1,6 (19,3—22,5)	20,2±0,43 (16,8—25,4)	21,1±1,09 (16,9—26,3)
ОЦП, л/м <sup>2</sup>	1,88±0,123 (0,95—2,13)	1,17±0,1 (0,78—1,77)	1,45±0,33 (0,93—2,06)	1,4±0,08 (0,92—2,13) <i>p</i> <sub>1</sub> <0,05	1,73±0,14 (1,03—2,49) <i>p</i> <sub>2</sub> <0,01
ОИЖ, л/м <sup>2</sup>	4,08±0,25 (3,0—5,87)	4,73±0,27 (3,3—6,3)	4,34±0,45 (3,19—4,84)	4,22±0,16 (3,0—5,87)	3,82±0,22 (2,89—4,32) <i>p</i> <sub>2</sub> <0,02
ОЦП/ ОИЖ	0,482±0,05 (0,162—0,67)	0,264±0,04 (0,16—0,54)	0,376±0,14 (0,19—0,65)	0,360±0,03 (0,16—0,67)	0,488±0,063 (0,202—0,85) <i>p</i> <sub>2</sub> <0,01

Примечание. *p*<sub>1,2</sub> — достоверное различие по сравнению с больными ГБ с натрийурезом до 170 мэкв/24 ч.

ных ГБ со стабильной гипертензией, употребляющих умеренное количество поваренной соли с пищей (суточный натрийурез до 170 мэкв), ОЦП был статистически достоверно уменьшен в сравнении со здоровыми лицами этой же подгруппы, а ОИЖ имел тенденцию к увеличению. Среди больных ГБ, находящихся на высоком солевом режиме (суточный натрийурез более 300 мэкв), отмечалось достоверное увеличение ОЦП и достоверное уменьшение ОИЖ (с повышением коэффициента ОЦП/ОИЖ) в сравнении с подгруппой больных, потребляющих умеренное количество поваренной соли. Вместе с тем следует подчеркнуть, что активность ренина в плазме и концентрация альдостерона у больных этих подгрупп достоверно не отличались как от показателей контрольных групп, так и между собой. Так, АРП в подгруппе больных, находящихся на низкосолевой диете, составляла 2,53±0,79 нг/мл/ч (у здоровых этой же подгруппы — 2,45±0,82 нг/мл/ч), КАП в этих подгруппах также

достоверно не отличались между собой и составляли соответственно  $141,6 \pm 20,5$  и  $161,3 \pm 4,2$  нг/мл. В подгруппе больных ГБ, употреблявших значительное количество поваренной соли, показатели АРП были  $2,17 \pm 0,68$  нг/мл/ч, а КАП составляла  $128,7 \pm 15,5$  нг/мл.

Ранее нами было установлено, что у здоровых и больных ГБ, потребляющих с пищей избыточное количество поваренной соли, по сравнению с лицами соответствующих контрольных групп имелись гемодинамические особенности: более высокое периферическое сопротивление кровотоку, снижение сердечного выброса и увеличение ОЦП [5]. Настоящее исследование показало, что увеличение ОЦП у лиц с высоким потреблением соли происходит в основном за счет перераспределения жидкости из интерстициального пространства во внутрисосудистое. В то же время возможность перераспределения жидкости из внутрисосудистого пространства в интерстициальное признается рядом авторов [4, 6] как приспособительный механизм, позволяющий за счет уменьшения ОЦП, сердечного выброса и работы сердца несколько снижать уровень артериального давления. Эта ситуация, вероятно, имеет место и при нормальной солевой диете.

При высоком потреблении поваренной соли артериальная гипертензия у больных ГБ протекает с гиперволемией, что, возможно, может являться фактором, отягчающим течение гипертензии у этих лиц. В литературе имеются сообщения о варианте течения ГБ со стабильной гипертензией с высоким внутрисосудистым объемом [3, 17]. Авторы работ, исследуя роль задержки жидкости в становлении «объемозависимой» формы гипертонии, считают, что у большинства больных вне периода лечения имеется избыток внутрисосудистого объема жидкости относительно емкости сосудистого русла, а у части больных это несоответствие абсолютное. Причем они подчеркивают, что гипергидратационно-гиперволемический вариант ГБ неотождествим с низкорениновой формой ГБ.

### Выводы

1. У больных ГБ II-Б ст. неосложненного течения, без признаков сердечной и/или почечной недостаточности величины водных пространств организма не отличаются от соответствующих показателей здоровых лиц.

2. Больные ГБ II-Б ст. с различным потреблением поваренной соли достоверно различаются между собой по характеру распределения внеклеточной жидкости: при низком потреблении хлористого натрия перераспределение внеклеточной жидкости характеризуется увеличением объема интерстициальной жидкости за счет уменьшения объема циркулирующей плазмы, а при высоком — наоборот.

### Литература

1. Балонов М. И., Жестко Т. В., Лихтаров И. А. — Мед. радиология, 1977, № 1, с. 29—33.
2. Касаткин Ю. Н., Кротов В. П., Романовская Л. Л. Изучение водного обмена с помощью препарата «тритиевая вода». Методические рекомендации. — М., 1977.
3. Кушаковский М. С., Иванова Н. В. Кардиология, 1982, № 9, с. 9—13.
4. Люсов В. А., Харченко В. И., Евсиков Е. М. — Тер. арх., 1981, № 6, с. 70—74.
5. Некрасова А. А., Газарян Г. А., Фатула М. И. и др. — В кн.: Артериальная гипертензия, М., 1980, с. 283—294.
6. Шеверда М. Г. — Врач. дело, 1961, № 7, с. 31—36.
7. Bauer J. H., Brooks C. S. — Am. J. Cardiol., 1979, v. 44, № 6, p. 1163—1170.
8. Bauer J. H., Brooks C. S. — Clinical Science, 1982, v. 62, № 1, p. 43—49.
9. Frank H. A., Carr M. H. — J. Lab. Clin. Med., 1957, v. 46, № 6, p. 973—976.
10. Gibson J. G., Evans W. A. — Clin. Invest., 1937, v. 16, N. 3, p. 301—316.
11. Ibsen H., Leth A. — Acta

- Med. Scand., 1973, v. 194, № 1, p. 93—96.
12. Ishii M., Ohno K. — Japan Circ. J., 1977, v. 41, № 3, p. 237—246.
13. Lousmann Poulsen H., Jensen H. L., Parving H. H. — Scand. J. Clin. Lab. Inv., 1977, v. 37, № 8, p. 691—696.
14. Moore F. D., Olesen K. H., McMurrey J. D. et al. The body cell mass and its supporting environment. — In: Body composition in health and disease. Philadelphia, 1953, p. 535.
15. Ralson J., Achimastos A., Bouthler J. et al. — Am. J. Cardiol., 1983, v. 51, N 1, p. 165—170.
16. Tarasi R. C., Dustan H. P., Frohlich E. D. — Circulation, 1969, v. 40, N 3, p. 357—365.
17. Tarasi R. C. — Circ. Res., 1976, v. 38, N 6, Suppl. 2, p. 73—83.
18. Winer B. M. — Circulation, 1958, v. 18, p. 800.

Всесоюзный кардиологический научный центр  
Академии медицинских наук СССР,  
Институт кардиологии им. А. Л. Милюкова

Поступило 4. VII. 1984

З. М. Мусаев, Ю. И. Суворов

### ГИПЕРТОНИЈА ТУТУЛМУШ ХЭСТЭЛЭРИН ОРГАНИЗМИНД СУ САҮЭЛЭРИ

Мүхтэлиф мигдарда натриум-хлорид гэбул стмиш гипертонија тутулмуш хэстэлэрийн организминд су саүэлэри өврэндлишидир. Мүэйжэн сийлмийшидир ки, нэмийн хэстэлийэд дучар олмуш хэстэлэр NaCl-у аз мигдарда гэбул етдикдэ дамардахили маежин азалмасы несабайна интестинал маежини нэчми артыр, чох мигдарда гэбул етдикдэ исэ буун экси мушаандэ олунур.

Z. M. Musaev, Yu. I. Suvorov

### BODY FLUID VOLUMES IN PATIENTS WITH ESSENTIAL HYPERTENSION

Body fluid volumes were investigated in essential hypertensive patients with different consumption of sodium chloride.

It is revealed that patients with low sodium chloride intake have a redistribution of extracellular water: increased interstitial and decreased intravascular volumes. Patients with high sodium chloride intake, on the contrary, have decreased interstitial and increased intravascular volumes.

## СӘБӘБ-НӘТИЧӘ ЭЛАГӘЛИ ТАБЕСИЗ МҮРӘККӘБ ЧҮМЛӘЛӘРИН БӘ'И ИНТОНАСИЯ ХҮСУСИЙЛӘТЛӘРИ

(алман вә Азәрбајҹан дилләринин материал эсасында)

(Азәрбајҹан ССР ЕА академики М. А. Ширәлиев тәзәфүндән тәгдим едилшишdir)

Дилчиликдә ән чох мубаһисә доғуран вә һәлә дә өз там һәллини тапмамыш мәсәләләрдән бири дә интонасија проблемидир.

Ф. J. Вејсэловун тә'бириңчә десәк, «Интонасија гыса вә јығчам тә'риф вермәк чәтиндир. Чүки гыса тә'рифдә интонасијаның ялныз бир тәрәфи—ја акустик, ја артикулјатор, ја да лингвистик хүсусијәти ифа-де олуначагдыр. Елә буна кәрә дә дүнјада интонасија ејни тә'риф вә-рән, икى дилчи тапмаг чәтиндир» [2, 3].

Мәгаләдә алман вә Азәрбајҹан дилләриндә сәбәб-нәтичә элагәли табесиз мүрәккәб чүмләләр эсасында бә'зи нәтичәләр шәрһ олунымушдур.

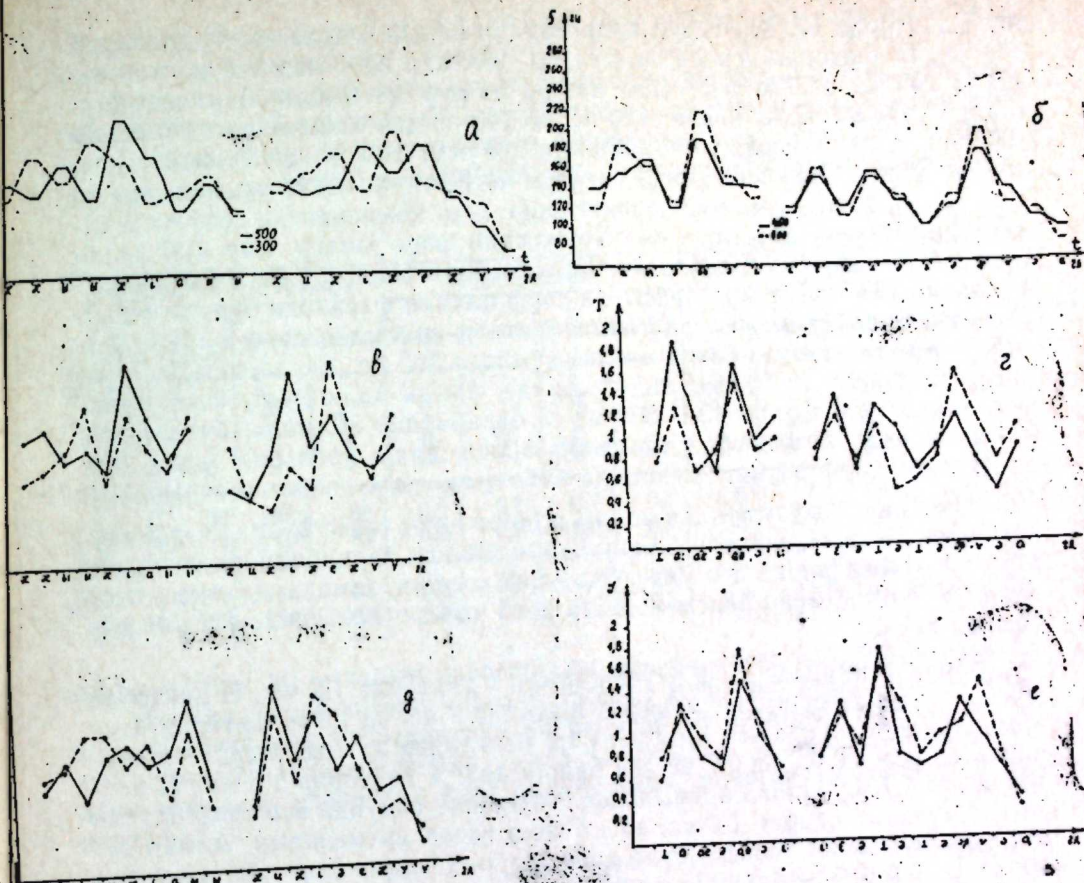
Интонасија хүсусилә синтаксисла сых бағылышы, чүки о ялныз чүмлә дахилиндә, мөвчуддур вә чүмләдән көнarda чыхыш едә билмир. Муасир дилчиликдә вә хүсусилә Азәрбајҹан дилчилийндә мүрәккәб чүмләләрин, о чүмләдән табесиз мүрәккәб чүмләләрин интонасијасы ән аз тәдгиг олунымуш саһәләрдәндир. Мөвчуд әдәбијатын тәһлили көстәрик, иәниңи мүрәккәб чүмләләрин интонасија гурулушу, һәтта интонасија проблеми дә Азәрбајҹан дилчилийндә һәртәрәфли тәдгиг олунымамышдыр. Интонасија проблеми илә Азәрбајҹан дилчилийндә ялныз 60-чы илләrin сонларындан мәшгүл олмага башланмышдыр.

Сон илләрдә мејдана кәлмиш эсәрләрдә фонетик аспект даһа чох апарычы рол ојнајыр. Лакин белә бир фикир сөјләмәк яныш оларды ки, куја һәр бир чүмләнин өзүнәмәхсүс интонасија структуру вар. Дикәр тәрәфдән ејни бир интонасија контуруну бир иечә чүмләјә аид етмәк дә дүзкүн олмазды.

Бу баҳымдан Азәрбајҹан дилинин интонасија системинин мүәյҗәнлашдирилмәсниндә дә фикир мұхтәлифији вардыр. Белә ки, Ф. J. Вејсэлов үч интонасија контурундан данышдыры һалда, З. М. Әһмәдова једди интонасија контуруну көстәрир. Лакин бунунла белә, чүмләнин сонунда тонун, бә'зән аз, бә'зән дә чох ашағы дүшмәси, яхуд суал чүмләләрindә аз вә ја чох јүксәлмәси иеч дә һәмин чүмләләри мұхтәлиф интонасија контурларына аид етмәjә эсас вермир.

Азәрбајҹан вә алман дилләриндәки «Нәнәгызын эли ачылды, мәктуб әлинидән јерә дүшдү. Күләк әсир вә дәниз ләпәләнирди; Их габ айнен лаут фон мир, ди елтери блиткен зих бедојтунгсфол ан. Их коните инхт компен, дени их вар кранк»,—чүмләләри синтактик типинә кәрә сәбәб-нәтичә элагәли табесиз мүрәккәб чүмләләрdir (Н. Бајрамов, Л. Р. Зиндер, Т. В. Стројева вә б.) [1, 4, 5], (шәкил a. б.)

Азәрбајҹан вә алман дилиндә сәбәб-нәтичә элагәли табесиз мүрәккәб чүмләләрин һәр икى компонентиниң әvvәли вә сону тонун галхыбы-



Нәнәгызын эли ачылды, мәктуб әлинидән јерә дүшдү; Их габ айнен лаут фон мир, ди елтери блиткен зих бедојтунгсфол ан—чүмләләриндә эсас тонун тезлиji, темпий вә интенсивлиjина кәрә графикләр:

a-b) эсас тонун тезлиji; a-c) темп; d-e) интенсивлик.  
I диктор—бүтөв хәтт; II диктор—гырыг хәтт.

енмәси баҳымындан, үмумијәтлә компонентләрин мелодик формасы эсаслы шәкилдә бир-бириндән фәргләнир. Һәр икى дилдә тон иккичи компонентин сонунда биринчинин сонуна иисбәтән хејли ашағы дүшүр, бу бә'зән 1,5 вә һәтта 2 дәфә чох олур.<sup>1\*</sup> Чүмләнин сону исә енән тонла тәләффүз олунымушдур. Азәрбајҹан дилиндә тон орта сәвијјәдән, I дикторда 220 hс, II дикторда 150 hс, II дикторда 138 hс-дән башлајараг I дикторда 220 hс-ә, II дикторда исә 190 hс-ә гәдәр јүксәлир вә биринчи компонентин сонунда демәк олар ки, ејни сәвијјәјә, 120 hс, вә 122 hс-ә гәдәр алчалыр. Иккичи компонент мұвағиғ оларағ 138 hс, вә 130 hс-дән башлајараг I дикторда 180 hс, II дикторда исә 190 hс-ә гәдәр галхыр вә чүмләнин сонунда һәр икى дикторда 80 hс-ә гәдәр ашағы дүшүр. Ејнилә дә алман дилиндә эсас-

<sup>1\*</sup>. Һәр икى дилин тәдгигат материалы дил дашиычылары ифасимда магнит лентинә жасылышын вә ССРИ-нин 50 иллиji адына АПХДИ-нин экспериментал фонетика лабораториясында осиллограммы алынышдыр. Алман дили материалы С. М. Қироз адына АДУ-нун һүгуг факультетинә тәһсил алан алман, Азәрбајҹан дили материалы исә ССРИ-нин 50 иллиji адына АПХДИ-дә тәһсил алан азәрбајҹанлы тәләбәләр тәзәфүндән охунымушдур. Ишин мәгсәди онларға изаһ олунымамышдыр. Дикторларын нити эсасын әдәби дил нормасына уйғуидур.

тон I дикторда 140 лс., II дикторда исә 120 лс-дән башлајараг I дикторда 180 лс., II дикторда исә 200 лс-э гәдәр јүксәлир вә 1-чи компонентин соңунда 138 лс. вә 120 лс-э гәдәр ашағы дүшүр. 2-чи компонент исә дикторлар үзрә мұвағиғ олараг 120 лс. вә 110 лс-дән башлајараг 180 лс. вә 190 лс-э гәдәр јүксәлир вә чүмләнниң соңунда 100 лс. вә 90 лс-э гәдәр ашағы дүшүр. Нәр ики дилдә бағлајычы иштирак едән чүмләләрдә дә әсас тәхминән ejni чүр һәрәкәт едир. 1-чи компонентин соңу вә 2-чиниң башланғычы арасында слә бир кәсқин фәрг жохдур. Нәр ики дилдә бу фәрг 20—30 лс-э бәрабәрdir. Кәсқин фәрг даһа чох өзүнү мүрәккәб чүмләнниң компонентләри арасында сәрф олунан фасиләдә бүрүз веरи. Белә ки, Азәрбајҹан дилиндә компонентләри арасында сәрф олунан фасилә һәр ики дикторда бағлајычылы чүмләдә 200 мс., бағлајычысыз чүмләдә исә 300 мс. вә 500 мс. олдугу налда, алман дилиндә бу фәрг мұвағиғ олараг 250 мс. вә 400—500 мс-јә бәрабәрdir. Демәли, бағлајычы, иштирак едән чүмләләрдә тәрәфләр арасында бағлылығ даһа сых олдуғундан сәрф олунан фасилә дә бағлајычысыза иисбәтән аздыр.

Чүмләнниң турулушундан асылы олараг онуң тәләффүзүнә сәрф олунан заманда мұхтәлиф олур. Буну һәр чүмләнниң тәркибиндәки сөзләрин айры-айры сәсләринин тәләффүзүнә сәрф олунан замана да аид етмәк олар. Бу һәмин сәсийиң һансы мәвгедә нечә чыхыш етмәснидәц асылыдыр (шәкил в. г).

Бириңи чүмләдә сәрф олунан заман I дикторда 1,2 мс., II дикторда исә 0,8 мс-дән башлајараг мұвағиғ шәкилдә 2 мс. вә 1,6 мс-јә гәдәр, 1-чи компонентин соңунда исә 1,3 мс., вә 1,4 мс-э гәдәр артмышдыр. 2-чи компонентдә исә 1,1 мс. вә 0,7 мс-дән башлајараг I дикторда 1,6 мс., II дикторда исә 1,7 мс-э гәдәр артмышдыр. Чүмләнниң соңунда исә сәрф олунан заман мұвағиғ олараг 1,2 мс. вә 1,5 мс-э гәдәр артмышдыр. Алман дилиндәки чүмләнниң тәләффүзүнә сәрф олунан заман һәр ики дикторда 0,8 мс. вә 0,9 мс-дән башлајараг бириңичидә 1,9 мс., иккىнчиидә исә 1,7 мс-э гәдәр 1-чи компонентин соңунда 1,3 мс. вә 1 мс-э гәдәр артмышдыр. 2-чи компонент исә 0,8 мс. вә 0,9 мс-дән башлајараг 1,4 мс. вә 1,7 мс., чүмләнниң соңунда исә мұвағиғ олараг 1 мс. вә 1,2 мс-э гәдәр артмышдыр. Бағлајычылы чүмләләрдә дә сәрф олунан заман тәхминән бу чүрдүр. Бу ганунаујғун налдыр, чүнки тәләффүзүн сүр'әти азалдыгча она сәрф олунан заман артыр.

Интенсивлик һәр ики чүмләнниң компонентләринин соңунда зәйфләјир (шәкил е, ә).

Интенсивлик бириңи чүмләдә 0,8 мм. вә 0,9 мм-дән башлајараг I дикторда 1,8 мм, II дикторда исә 1,5 мм-э гәдәр галхыр. 1-чи компонентин соңунда 0,8 мм. вә 0,6 мм-дәк, 2-чи компонентдә исә 0,6—0,7 мм-дән башлајараг мұвағиғ сурәтдә 1,7=1,5 мм-дәк јүксәлир вә кетдикчә зәйфләјәрек чүмләнниң соңунда 0,2—0,4 мм-дәк ашағы дүшүр. Алман дилиндә дә интенсивлик тәхминән ejni чүр һәрәкәт едир. Бүтүн чүмләләрдә интенсивлик 1-чи компонентин соңунда иккىнчијә иисбәтән аз зәйфләјир. Бу бәзән 2—3 дәфә аз олур. Буну онуна изаһ етмәк олар ки, 1-чи компонент там алчалан тонла тәләффүз олунмадығындан интенсивлик дә аз зәйфләмишdir.

Алынан нәтичәләрин иә дәрәчәдә дејиләнләрә уйғун олдуғуну экспе-

риментә чәлб олунмуш бүтүн материал үзрә алына орта гијметләр чед-вәлиндән дә көрмәк олар<sup>1\*</sup> (чәдәвәл).

Бурадан белә бир нәтичәје кәлмәк олар ки, сәбәб-нәтичә элагәли табесиз мүрәккәб чүмләләрин мүстәгиллији иисбидир. Экс налда һәр ики компонентин соңунда көстәричиләр бир-биринә уйғун кәләрди. Асылылыг гүвәтли олдуғча һәм компонентләр арасында көстәричиләр фәрг-

Чәдәвәл

Aldap Diktörda	Эсас топун тезлиji		Интенсивлик				Заман				eксис Ф	
	1-чи компон		2-чи компон		1-чи компон		2-чи компон		1-чи компон			
	ижеңе	сөй	ижеңе	сөй	ижеңе	сөй	ижеңе	сөй	ижеңе	сөй	ижеңе	
I	147	136	122	89	0,9	0,7	0,7	0,3	0,8	1,1	0,9	1,3
II	140	137	120	83	0,8	0,7	0,6	0,2	0,6	0,9	0,8	1,2
Aldap Diktörda	456	479										
I	151	140	125	86	0,9	0,6	0,7	0,4	0,7	1	0,8	1,4
II	141	130	128	85	0,9	0,7	0,7	0,3	0,6	1,1	0,9	1,5
Aldap Diktörda	333	344										

ли олур. Һәм дә онларын арасында фасилә фәрги азалыр вә эксинә.

Демәли, сәбәб-нәтичә элагәли табесиз мүрәккәб чүмлә мә'на, мәзмун вә синтактик чәһәтдән ики вә даһа артыг чүмләнниң бир-бири иләсих сурәтдә бағланмасындан әмәлә кәлмишdir. Чүмләнниң компонентләри арасында синтактик фәрг олдуғу кими, фонетик чәһәтдән дә фәрг вардыр.

### Әдәбијјат

1. Бајрамов һ. Муасир Азәрбајҹан дилиндә табесиз мүрәккәб чүмләләр.—Б., 1960.
2. Вейсалов Ф. Я. Завершающая интонация в немецком языке.—Канд. дис. Баку, 1970.
3. Вейсалов Ф. Я. Некоторые вопросы интонации азербайджанского языка.—Уч. зап., АГУ им. С. М. Кирова, 1976, № 3; Алман дилинниң фонетикасы.—Б., 1980. 4. Зиндер Л. Р., Строева Т. В. Современный немецкий язык.—М., 1957. 5. Зиндер Л. Р. Общая фонетика.—М., 1979.

ССРИ-нин 50 иллиji адына АПХДИ

Алынмышдыр  
20. II. 1984

Я. М. Муршудов

### НЕКОТОРЫЕ ИНТОНАЦИОННЫЕ ОСОБЕННОСТИ СЛОЖНОСОЧИНЕННЫХ ПРЕДЛОЖЕНИЙ С ПРИЧИННО-СЛЕДСТВЕННЫМИ ОТНОШЕНИЯМИ (на материале немецкого и азербайджанского языков)

Проблема интонации в языкоznании, будучи одной из важнейших, до сих пор полностью не изучена. В азербайджанском языкоznании ею стали заниматься только с конца 60-х годов.

В настоящей статье приводятся некоторые интонационные особенности сложносочиненных предложений с причинно-следственными отношениями

\* Орта гијмет һәр ики дилниң материалы дикторлар учун айрылыгда бу тун компонентләrin әввәлинчи вә соңунчу көстәричиләri һәм эсас топун тезлиji, һәм интенсивлик һәм дә сәрф олунан заман үзрә топланып бутун материалының үзүүни сајына бөлүнмәси нәтичәсендә алынмышдыр.

ченных предложений с причинно-следственными отношениями на материале азербайджанского языка в сопоставлении с немецким.

Компоненты сложносочиненных предложений с причинно-следственными отношениями оформляются на основе как семантико-синтаксических, так и интонационных признаков. Суть рассматриваемой нами интонационной связи между компонентами заключается в том, что интервал по всем физическим параметрам между концом первого компонента и началом второго всегда меньше, чем между концами обоих компонентов, что указывает на зависимость их друг от друга.

Ya. M. Murshudov

### SOME INTONATION PECULIARITIES OF COMPOUND SENTENCES WITH CAUSAL AND RESULTATIVE RELATIONS (on the basis of material from the German and Azerbaijani languages)

The problem of intonation is one of the central problems of linguistics which has been little studied. In Azerbaijani linguistics it was not the object of special research, but it has become the object of research since the end of the 60-ies.

The analysis of existing sources shows that in modern linguistics, especially in Azerbaijani, the intonation on composite sentences including compound ones is scarcely explored. That is, perhaps, why in description of the intonation system of the Azerbaijani language there exists disagreement, as it is postulated, that there are between three and seven intonation patterns in this language. However more or less fall or rise of tone at the end of a sentence is not necessarily a reason to ascribe these changes as different patterns.

The author of the present article endeavours to give some intonation peculiarities of compound sentences with causal and resultative relations based on experimental facts in the Azerbaijani language in comparison with the German language.

Components of complex sentences are built up not only on the basis of semantic-syntactical features but also on the basis of intonation. Intonational connections between the components of compound sentences with causal and resultative relations are manifested on the fact that the interval to all physical parameters between the end of the first and the beginning of the second components is usually less than between the ends of both components. This in its turn highlights the dependence of components upon each other.

АЗЭРБАЙЧАН ССР ЕЛМЛЭР АКАДЕМИДЫНЫН МЭРҮЗЭЛЭРИ

### ДОКЛАДЫ АКАДЕМИИ НАУК АЗЕРБАЙДЖАНСКОЙ ССР

ТОМ XL ЧИЛД

№ 12

1984

УДК 530.26

АРХЕОЛОГИЯ

М. Дж. ХАЛИЛОВ

### ФРАГМЕНТЫ КАМЕННЫХ ИЗВАЯНИЙ ИЗ НАФТАЛАНА

(Представлено академиком АН Азербайджанской ССР З. М. Буниятовым)

В октябре 1982 г. приблизительно в 3—4 км южнее главного корпуса санатория г. Нафталана случайно были обнаружены фрагменты каменных изваяний<sup>1</sup>. Иконографические черты обломков указывают на то, что они принадлежали антропоморфным изваяниям (рисунок).

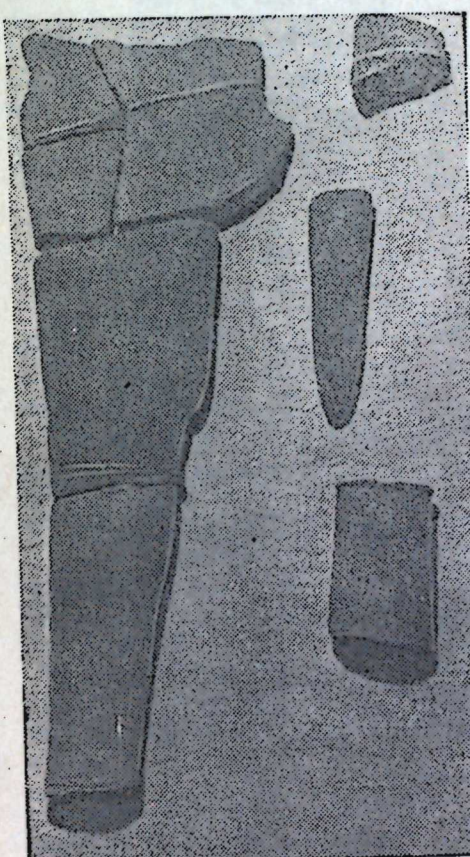
Зафиксировано восемь обломков. Три из них, составляющие целое, — это, по-видимому, фрагмент поясницы изваяния. Высота 20 см, ширина 24—25 см, толщина 2,5—3 см. В средней части поясница опоясана выпуклой линией. Изгибы ее в некоторой степени асимметричны (таблица, 1—3).

4 — изображение бедра, нижняя часть которого окаймлена двумя узкими параллельными выпуклыми линиями (таблица, 4). Четко отмечен изгиб нижней части. Высота 23 см, ширина 11—17 см, толщина 3,8—4,2 см.

5 — изображение голени. Высота 24 см, ширина 8—11 см, толщина 3,8—3,9 см (таблица, 5).

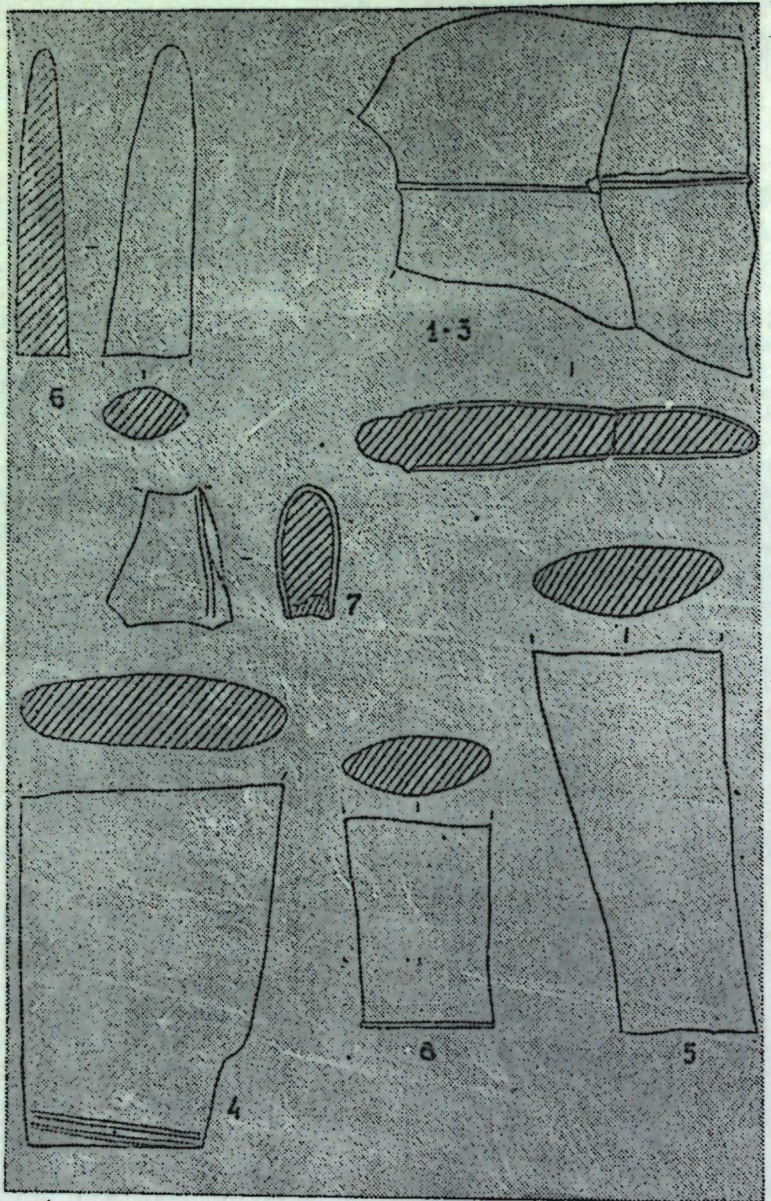
6 — фаллосоподобный фрагмент (таблица, 6). Высота 19,5 см, толщина 3,0—5,5 см.

7 — этот обломок также окаймлен одной выпуклой линией (таблица, 7). К какой части корпуса изваяния он принадлежит, определить трудно. Одна из сторон фрагмента обработана. Учитывая это, можно с уверенностью сказать, что он примыкал к корпусу с боковой стороны.



<sup>1</sup> Эти фрагменты обнаружил и прислал в адрес Института истории АН Азербайджанской ССР житель г. Алма-Аты Василий Николаевич Яковенко, который в указанное время находился на отдыхе в санатории г. Нафталана. Пользуясь случаем, мы выражаем ему свою искреннюю признательность.

Основываясь на том, что обломов окаймлен одной линией, как поясница, а не двумя, как бедро, можно предположить, что он, во всяком случае, не является нижней частью бедра. Высота 3,0—7,5 см, ширина 7,5—8 см, толщина 3,5—4,5 см.



8 — можно предположить, что это — обломок нижней или верхней (?) конечности (таблица, 8). Высота 12,5 см, ширина 8 см, толщина 4,0—4,5 см (ввиду отсутствия грудной части корпуса изваяния невозможно установить способ изображения рук, изображались ли они рельефом на грудной поверхности или же выделялись из общей массы скульптуры).

Несоответствие фрагментов друг другу указывает на то, что они

принадлежали не одному, а нескольким однотипным изваяниям. Принимая во внимание их размеры, можно с уверенностью сказать, что это были произведения монументальной скульптуры.

Как отмечалось, толщина обломков колеблется от 2,5 до 4,5 см. Уплощенная до такой степени фигура едва ли смогла устоять в вертикальном положении без массивного пьедестала. Маловероятно, что подобные изваяния прислонялись к стене или вкапывались в землю. Даже на пьедестале эта фигура была бы маловыразительной. Не исключена возможность, что изваяния такого типа укладывались в горизонтальном положении в специальных культовых помещениях.

Так как поверхность фрагментов с обеих сторон по способу обработки почти одинакова, различить их лицевую и тыльную стороны трудно, не помогают даже изображения бедра и голени, которые как бы вывернуты в сторону. Неизвестно, были ли ноги вывернуты в одну или же в разные стороны. Если допустить, что обе ноги были направлены в одну сторону, то тогда, естественно, изваяние изображает человеческую фигуру в движении в профиль. Асимметричность изгибов поясницы также наводит на мысль о том, что фигура изображена в профиль. Один из этих изгибов может означать переход поясницы в тазовую часть. Допустимо и то, что ноги были вывернуты в разные стороны. В таком случае изваяние изображает человеческую фигуру в статичной позе.

Определенный интерес представляют выпуклые линии, окаймляющие бедро и поясницу. Вероятно, эти линии толщиной 0,5 см являются изображением ремней. На ремне, окаймляющем талию, следов крепления других предметов не обнаружено. Такие узкие ремни, видимо, не служили для подвешивания каких-либо предметов. Набедренные ремни (поножи) чаще всего изображались на половецких каменных изваяниях<sup>2</sup>. Но ремни нафталанского фрагмента отличаются от половецких. На половецких изваяниях набедренные ремни спереди пристегивались к поясу. Служили они в основном для натягивания мягких голенищ на ноги. Один конец их прикреплялся наглухо или пряжкой-кольцом к поясу, другой — опять-таки пряжкой или крючком цеплялся к наколеннику выступу сапога. Ремни поножей чаще всего широкие, некоторые орнаментированы. Попадаются и узкие ремешки, видимо, наглухо пристегнутые к поясу и голенищам<sup>3</sup>. На нафталанском фрагменте бедра ремни не пристегнуты к поясу, они очень узкие. Следует отметить, что на половецких изваяниях встречаются и дополнительные ремни, которые плотно обхватывают бедра (в одних случаях они просунуты под поножи, в других перекрывают их). Такие ремни не пристегивались к поясу. Возможно, эти набедренные ремни поддерживали на ногах половецких воинов длинные чулки<sup>4</sup>. Таким образом, можно предположить, что набедренные ремни нафталанского фрагмента также могли поддерживать сапоги или чулки. Точно установить это ввиду фрагментарности изваяний не представляется возможным. Можно только сказать, что если это — сапоги, то они были высокими (выше колен), а если чулки, то длинными (выше колен), как у половецких изваяний.

Антropоморфное каменное изваяние, уплощенное до такой степени, на территории Азербайджанской ССР встречается впервые. Однако, несмотря на это, все отмеченные особенности позволяют отнести найденное

<sup>2</sup> С. А. Плетнева. Половецкие каменные изваяния. — М., 1974, с. 32.

<sup>3</sup> Там же, с. 36.

<sup>4</sup> Там же, с. 37.

денные фрагменты к произведенным местных мастеров. Стремление к полному сходству скульптуры с фигурой человека, отличная шлифовка указывают на то, что изваяния такого типа являются творением рук профессионального ваятеля.

Институт истории  
АН АзССР

Поступило 27. IV 1983

М. Ч. Хэлилов

НАФТАЛАНДАН ТАПЫЛМЫШ ДАШ НЕЙКЭЛ  
ФРАГМЕНТЛЭРИ

Мэголдэ Нафталандан тэсадүфэн ашкар өдилмиш даш нейкэл фрагментлэриндэй бэхс өдилтир. Бу гырыгларын иконографик чизкилэри онларын антропоморф нейкэллэрэй мэхсүс олдууну кестэрийр. Фрагментлэрин өлчүлэрийн кэрэ тэсдиг өтмэк олар ки, бу нейкэллэр монументал нейкэлтэрэшлыг нүүмнэлэри олуб, хүсүс ибадэткаһларда јерлэшдирлирди.

M. J. Khalilov

THE FRAGMENTS OF STONE SCULPTURES FROM NAPHTALAN

The article reports about the accidentally found fragments of stone sculptures in Naphtalan. The iconographic features of these fragments indicate that they belong to anthropomorphic sculptures. Judging by their dimensions the found sculptures were monumental ones. Probably, such sculptures were housed in special cult constructions.

АЗЭРБАЙЧАН ССР ЕЛМЛЭР АКАДЕМИЯСЫНЫН МЭРҮЗЭЛЭРИ

ДОКЛАДЫ АКАДЕМИИ НАУК АЗЕРБАЙДЖАНСКОЙ ССР

ТОМ XL ЧИЛД

№ 12

1984

УДК 91(014)

Г. А. ГЕЙБУЛЛАЕВ

ТОПОНИМИКА

К ВЫЯСНЕНИЮ ЭТНИЧЕСКОЙ ПРИНАДЛЕЖНОСТИ  
НЕКОТОРЫХ ПЛЕМЕН В КАВКАЗСКОЙ АЛБАНИИ

(силвы, лбины, джигбы)

(Представлено академиком АН Азербайджанской ССР З. М. Буниятовым)

Среди многочисленных племен древней Кавказской Албании античными и раннесредневековыми источниками упоминаются также силвы, лубены (лбины) и джигбы, этническая принадлежность которых, насколько известно, до сих пор остается невыясненной. Племя силв упоминает Плиний Старший (I в.) [Plin., 10, 26]. По его сообщению, «силвы живут за пределами Албании по всему белугор» [Plin., 10, 26]. Судя по армянским источникам, силвы входили в число албанских племен. В этих источниках данный этоним зафиксирован в различных фонетических формах: шилб [11, 15], шил (вариант шиб) [2, 37] и чилб [9, 92]. Согласно античным и древнеармянским источникам силвы, или чилбы, или шилбы, проживали в верховьях Андийского Койсу [14, 21].

Что касается этнической принадлежности носителей этого этонима, то, по нашему мнению, их следует считать предками части современных аварцы [1, 13]. Таким образом, силв, солу, сули, сул следует считать, чечены и ингушки называют сули или соли, а область верховьев реки Андийское Койсу — сулийин мохи — земли страны сули [5, 182]. Жители одного из аварских обществ в Дагестане в прошлом назывались сул. С ними, по мнению В. И. Абаева, следует связывать осетинское солу — аварцы [1, 13]. Таким образом, силв, солу, сули, сул следует считать, фонетическими вариантами одного этонима, правильная форма которого, по нашим полевым данным, собранным среди аварцев северо-западного Азербайджана, — это цилб.

Этоним силв (цилб) отразился в наименовании древнего села Цулипан в Кайтагском районе Дагестанской АССР, выходцы из которого образовали села Цилбан (Закатальский район) и Цолбан (Белоканский район) в северо-западном Азербайджане<sup>1</sup>. Можно также предположить, что к этому этониму восходит и наименование албанского города Тилбиду у Птолемея [Ptol., V, 11, 7].

Плиний упоминает в Албании также племя лубен, которое живет ниже силвов [Plin., 10, 26]. Этот этоним в древнеармянских источниках имеет форму лбин и ллин [6, 78; 10, 87, 191]. Местожительство лоин назы-

<sup>1</sup> В. Ф. Минорский писал, что в наименованиях аварских селений Цилбан и Цолбан отражен древний этоним силва (Минорский В. Ф. История Ширвана и Дербента. — М., 1963, с. 28). Однако он не учел того, что ойконимы Цилбан и Цолбан перенесены из Цулипана, который находится в Дагестане.

валось Лпник. Как считают ряд исследователей [3,58; 6,304; 7,55; 14,48], лбины жили на левобережье реки Алазань в Албании. Это мнение подтверждается тем, что река Малая Алазани (Иори) в древнеармянских источниках именуется Лопнас [9, 76] или Лубнас [10, 87]<sup>2</sup>, а в средние века — Лабан [6, 304]. В этих названиях отражен этоним лбин (лпни) в различных фонетических вариантах.

Однако этническая принадлежность лбин до сих пор не определена. По нашему мнению, носителями этого этнонима являлись предки части современных аварцев северо-западного Азербайджана, а этоним лбин следует считать фонетической разновидностью этнонима *halbi*, которым аварцы именуются среди некоторых соседних народов Дагестанской АССР [12, 70]. Следует учесть, что этонимы лубен, лбин, лпни и *halbi* — это инонаименования в различных языковых передачах, и нам неизвестно, как звучал этоним среди его носителей. Кроме того, лбины, как сказано выше, обитали в долине реки Алазани, там, где и в настоящее время живут аварцы, смешанные с азербайджанцами, ингилойцами и цахурами. Река Иори<sup>3</sup> (от *Ior* и грузинского суффикса *i*), которая в форме Ивер упомянута еще Плинием [Plin., 10, 29]<sup>4</sup>, восходит к аварскому *or* «река», «вода» [12, 305]. Это же слово составляет вторую часть ряда гидронимов — названий озер Алазанской долины: Ур, Рахниор, Хинзиор, Кудоор и др. Можно предположить, что указанный этоним сохранился в современных ойконимах *Лапниани* (Лагодехский район), *Лабанкури* (Телавский район) и *Лапаниаткари* (Душетский район) на востоке Грузинской ССР.

В древнеармянских источниках в Албании упоминаются также этонимы чигб [11, 15], джигб [10, 30] и тчигб [2, 37], которые, безусловно, следует считать древнеармянской передачей этнонима *йихъбы*<sup>5</sup> — самоназвание современных цахуров. Проживание предков цахуров — джигбов в Албаниикосвенно подтверждается тем, что река Ханес в Албании, упоминаемая Страбоном [Страбон, III, 2], восходит к цахурскому *хайн* «вода», «река». Этот гидроним до сих пор сохранен азербайджанцами в форме Ганых, которой они именуют часть реки Алазаны, служащую границей между Азербайджаном и Грузией.

<sup>2</sup> Гидроним *Лопнас*, или *Лубнас*, происходит от этонима *лубен*, *лбин*, *лпни* и древнеармянского суффикса *ac*, означающего происхождение [14, 142].

<sup>3</sup> Плиний отмечает, что страна москов (т. е. грузин) простирается до реки Ивер, притока Куры [Plin., 10, 26].

<sup>4</sup> Как выяснилось, протекающая по границе Грузии и Азербайджана часть реки Иори среди азербайджанцев называется Габырры (Гейбуллаев Г. А. К происхождению некоторых гидронимов Азербайджана. — Изв. АН АзССР. Сер. истории, философии и права, 1983, № 2) — искаженное от Камб-Иори, т. е. Иори, протекающую по местности Камб. Компонент Камб (с добавлением фонемы б после м), в свою очередь, восходит к наименованию пограничной области Албании и Иберии между Алазанью и Курай — Камбисене в античных источниках (Страбон, X, IV, 5): «Проход из Иберии в Албанию идет через безводную и неровную Камбисену к реке Алазанию», Камбечан в древнеармянских [2, 40] и древнегрузинских (Меликsetбеков Л. М. Обзор источников по истории Азербайджана: Источники грузинские. — Баку, 1939), Камбезан в арабских [4, 5], которое образовалось от кам «пасты», «рот», «ущелье», «проход» и суффикса *ич*, *еч* в среднеиранских языках. К этому топониму восходят и названия реки Камбис в античных источниках (у Плиния, Помпона Мела, Диона Кассия, Клавдия Элиана) в Албании, под которой, по К. В. Тревер, античные авторы подразумевали современную реку Иори [14, 97, 226].

<sup>5</sup> Цахуры получили свое название по древнему селению Цахур в Дагестанской АССР. Они называют себя также цахи (среди азербайджанцев — захи). К этому названию, вероятно, восходит и топоним Загатала — от цахи, т. е. захи и азерб. *тала* «полина».

Таким образом, предки современных аварцев и цахуров — силвы, лбины (лбины) и джигбы являлись коренными кавказоязычными племенами Кавказской Албании.

## Литература

1. Абаев В. И. Историко-этимологический словарь осетинского языка. — М.—Л., 1967, т. II.
2. Армянская география VII века по Р.Х. — СПб., 1877.
3. Артамонов М. И. История хазар. — Л., 1962.
4. Баладзори. Книга завоевания стран/Пер. П.К. Жузе.—Баку, 1927.
5. Волкова Н. Г. Из северокавказской этнографии.—В кн.: Ономастика Кавказа. Махачкала, 1976.
6. Еремян С. Т. Социальный и экономический строй Албании III—VII вв.—В кн.: Очерки истории СССР, М., 1958.
7. Еремян С. Т. Армения по «Ашхарацуйцу». — Ереван, 1953/на арм. яз.
8. Еремян С. Т. Страна «Махелония» надписи Кааба- и Зардышт. — ВДИ, 1967, № 4.
9. Егише. О Вардане и войне армянской/Пер. с древнеарм. И. А. Орбели. — Ереван, 1971.
10. История агван Монсея Каганатации/Пер. П. К. Патканояна. — СПб., 1861.
11. История Армении Фавста Бузанда/Пер. с древнегреч. М. А. Геворгяна. — Ереван, 1953.
12. Марр Н. Я. — Избр. работы. — М.—Л., 1953, т. V.
13. Тревер К. В. Очерки по истории и культуре Кавказской Албании. — М.—Л., 1959.
14. Туманян Е. М. Древнеармянский язык. — М., 1971.

Поступило 1. II 1984

Институт истории  
АН АзССР

Г. Э. Гейбуллаев

## ГАФГАЗ АЛБАНИЈАСЫНЫН БӘЗИ ТАЙФАЛАРНЫНЫ ТИПИК МӘНСУБИЛЛӘТИНИН АЙДЫНЛАШДЫРЫЛМАСЫНА ДАИР

Антик вә гәдим өрмәни мәнбәләриндә Албания әразисинде силв, лбин вә джигб тайфаларның адлары да гәјд олунур. Ахтарышлар иәтичесинде мүәјҗән едилимишdir, һәмни тайфалар Азәрбайҹаның шимал-ғәрб зонасында јашајан аварларын вә сахурлары гәдим өждадлары олмушшур.

G. A. Geibullaev

## TO ELUCIDATION OF ETHNIC BELONGING OF SOME TRIBES IN CAUCASUS ALBANY (SILVES, LBINS, DJIGBS)

According to the sources it is obtained, that the tribes Silves, Lbins and Djigbs are ancestors of modern Avars and Tsakhurs.

## УКАЗАТЕЛЬ

статьей, опубликованных в журнале «Доклады АН Азербайджанской ССР» в 1984 году

### Математика

Аджалова Н. А. Исследование обобщенного решения многомерной смешанной задачи для одного класса полилинейных параболических уравнений четвертого порядка с граничными условиями типа Рикье, № 1, стр. 6.

Алиев Р. Д. Обобщенная задача Пуанкаре (Неймана) для параболитических уравнений в нецилиндрических областях с негладкой границей, № 12, стр. 12.

Алиев Ф. А. Периодическая оптимизация стохастических систем с дискретным временем для сингулярного случая, № 4, стр. 6.

Алиев Я. Э., Алиев Г. Ф. О приближении решений краевых задач для нелинейных дифференциальных уравнений нейтрального типа, № 7, стр. 3.

Аллахвердиев Дж. Э., Баширов А. Э. О двойственности между задачами управления и интерполяции, № 6, стр. 3.

Аллахвердиев Дж. Э., Джабарзаде Р. М. О кратной полноте собственных векторов некоторой несамосопряженной двупараметрической системы операторов, № 5, стр. 7.

Ахмедов А. М. Об одном возмущении компактных спектральных операторов, № 8, стр. 10.

Аль Кади. Решение одной смешанной задачи для уравнения колебаний стержня, № 12, стр. 17.

Гамидов А. А. Об устойчивом методе сходимости интегралов Фурье с возмущенной подынтегральной функцией, № 11, стр. 8.

Гусейнов Г. Ш., Аскеров Ф. А. Задача рассеяния для несамосопряженного разностного уравнения второго порядка на оси, № 6, стр. 11.

Джабраилов А. Д., Мамедов Р. Ш. К вопросу о неравенствах между весовыми нормами частных производных функций многих переменных определенных в области, № 10, стр. 13.

Искендеров А. Д. Регуляризация одной многомерной обратной задачи и ее оптимизационной постановки, № 9, стр. 11.

Исламов Ф. А., Мустафаев Л. Г. Суперрассоциативные алгебры гомоморфизмов, № 8, стр. 7.

Керимов Т. М. О поведении на бесконечности решения задачи Зарембы для эллиптического уравнения высокого порядка в полуцилиндре, № 3, стр. 3.

Леонов К. Я., Гусейнов З. А. Разрешимость в целом первой начально-краевой задачи для одного класса квазилинейных гиперболических уравнений, № 2, стр. 3.

Магомедов А. Р., Набиев Г. М. Принципы усреднения для дифференциальных уравнений с максимумами, № 2, стр. 17.

Мамедов А. Р., Набиев Г. М. Теоремы о нелокальной разрешимости начальной задачи для систем дифференциальных уравнений с максимумами, № 5, стр. 14.

Мамедгусейнов Р. К. О регулярности граничных точек для вырождающихся квазилинейных параболических уравнений 2-го порядка, № 9, стр. 3.

Мамедханов Дж. И., Салаев В. В. Локальные свойства сингулярных интегралов, № 6, стр. 15.

Мухамед Абдул Магин. О спектральных свойствах общей эллиптической краевой задачи с разрывными коэффициентами, № 4, стр. 3.

Мурадов В. М. О наилучшем полиномиальном приближении аналитических функций многих комплексных переменных, № 3, стр. 11.

Мухтаров Ф. Ш. Восстановление бесконечной несамосопряженной матрицы Якоби по данным рассеяния, № 10, стр. 10.

Набиев Г. М. Некоторые вопросы теории устойчивости решения дифференциальных уравнений с максимумами, I, № 8, стр. 14.

Набиев Г. М. Некоторые вопросы теории устойчивости решений дифференциальных уравнений с максимумами, № 9, стр. 16.

Намазов Г. К. Стабилизация решения смешанной задачи для параболического уравнения с разрывными коэффициентами, № 10, стр. 6.

Напалков В. В., Ибадов И. В. Системы уравнений свертки в одном классе аналитических функций, № 5, стр. 10.

Нахметов В. А. О некоторых классах мерооморфных функций представимых рядами по рациональным дробям, № 4, стр. 11.

Рагимов М. Б. О спектре Тейлора бесконечного числа коммутирующих наборов операторов, № 10, стр. 3.

Рагимов М. Б., Гусейнов З. И. О функциональном исчислении отображений топологического пространства в алгебру эндоморфизмов банахова пространства и его приложения, № 3, стр. 7.

Рустамов А. С. Решение смешанной задачи для уравнения составного типа и оценка погрешности приближенного решения, № 9, стр. 7.

Садыхов И. Р. Об одном методе расчета гибких пологих оболочек переменной толщины из нелинейно-упругого материала на ЭВМ с учетом нелинейной деформируемости контурных элементов, № 7, стр. 12.

Садыгов М. А. О некоторых необходимых и достаточных условиях минимума для дифференциальных включений, № 2, стр. 6.

Файнштейн А. С. Фредгольмовость и индекс функции от операторов правого и левого умножения, № 11, стр. 3.

Филиппов В. Н. О неоднородных системах уравнений свертки в пространстве гомоморфных функций, № 7, стр. 8.

Халилова Л. Г. Асимптотика функции распределения собственных частот оболочки вращения, заполненной жидкостью, № 1, стр. 3.

Шарифов Т. А. Исследование обобщенного решения одномерной краевой задачи в конечной области для одного класса дифференциальных уравнений в частных производных третьего порядка с нелинейной операторной правой частью, № 2, стр. 10.

Шахмурев В. Б. Теоремы о ядерности оператора вложения в абстрактных анизотропных пространствах, № 11, стр. 11.

Шахмурев В. Б. Теоремы о непрерывности и компактности оператора вложения в абстрактных анизотропных пространствах, № 12, стр. 7.

Эфендиев Р. О. Об условиях сходимости линейных операторов к производным, № 12, стр. 3.

Юсупов В. Ш. Полугруппы гомеоморфных отображений бикомпактов, № 6, стр. 7.

Якубов Я. С. Исследование резольвенты оператора порожденного нерегуляризованными краевыми условиями и обыкновенными дифференциальными выражениями, № 8, стр. 3.

### Механика

Абдуллаев А. И. Уточненный расчет зубчатых передач на контактную прочность, № 12, стр. 21.

Амирасланов И. А. Об одной задаче теории потенциала, № 9, стр. 22.

Джаббаров М. Д., Кулев Г. Г. Исследование устойчивости стенок скважин с учетом анизотропии горных пород, № 3, стр. 20.

Ильясов М. Х., Курбанов Н. Т. К решению интегро-дифференциального уравнения свободных колебаний вязкоупругих систем, № 5, стр. 21.

Ильясов М. Х., Насибов Т. А., Нуриев Б. Р. Распространение продольных волн по нелинейно-упругой оболочке, заполненной жидкостью, № 7, стр. 17.

Керимов М. З. Напряженное состояние зубьев клиньевых захватов, № 5, стр. 26.

Кулев Г. Г., Гюльмамедов Ш. Б. Устойчивость стенок скважины с учетом несжимаемости материала среды, № 1, стр. 13.

Максудов Ф. Г., Леонов К. Я. О кручении и опрокидывании неоднородной двухтавровой балки, № 11, стр. 15.

Талыбыл Л. Х. К соотношениям терно-вязкопластичности при циклических нагрузках, № 6, стр. 19.

Хайиров З. Б. Разработка эффективных методов решения гидродинамических задач о движении жидкости по эксцентрическому кольцу, № 10, стр. 17.

### Нефтепромысловая механика

Велиев Ф. Г. Экспериментальное исследование кинетики фазового перехода, № 2, стр. 34.

Саттаров Р. М., Бахтизин Р. Н. Оценка гидродинамических характеристик среды при нелинейном законе трения, № 4, стр. 49.

### Небесная механика

Мамедов М. А., Радзиевский В. В. О статистической проверке гипотезы межзвездного происхождения комет, № 1, стр. 17.

## Прикладная механика

Амирасланов И. А. О распространении скачков концентрации в смеси жидкости с твердыми частицами, № 4, стр. 25.

## Геомеханика

Багир-заде Ф. М., Амензаде Р. Ю. О проблемах создания и эксплуатации подземных хранилищ газа, № 6, стр. 53.

## Гидромеханика

Амензаде Р. Ю., Насибов В. Г. О волновом решении уравнений гидродинамики неоднородной идеальной жидкости, № 9, стр. 62.

## Физика полупроводников

Абдинов Д. Ш., Новрузова Ф. М., Эль. Ю. Салаев, Сеидли Г. С., Абдинов А. Ш. Рекомбинация неравновесных носителей тока в  $Cd_xHg_{1-x}Te$  при  $0,54 < x < 0,92$ , № 3, стр. 33.

Абдуллаев М. И., Имамов Р. М., Маслов А. В., Нуриев И. Р., Пашаев Э. М., Салаев Э. Ю. Фотоэффект при дифракции рентгеновских лучей в Брэгг—Лауз-геометрии, № 10, стр. 25.

Абдуллаев А. Г., Ханджанов С. К., Фуфаева Т. Г., Касимова Г. Н. Исследование электронной структуры InSe методом рентгеновской фотоэлектронной спектроскопии, № 3, стр. 29.

Алиев И. М., Гаджиев А. Р., Мамедов Г. М., Тагиев Б. Г. Влияние подсветки лазерным лучом на экситонное и примесное электропоглощение в GaSe, № 5, стр. 34.

Алиев М. И., Даивов А. З., Оганова И. Г. Поперечный эффект Нериста-Эттингегаузена в эпитаксиальных пленках антимонида индия, № 2, стр. 25.

Алиев М. И., Даивов А. З., Оганова И. Г. О подвижности носителей заряда в эпитаксиальных пленках антимонида индия, № 4, стр. 18.

Алиев М. И., Сафаралиев Г. И. Рассеяние носителей тока на потенциальных неоднородностях в компенсированном  $I - GaSb$ , № 3, стр. 24.

Алиев М. И., Халилов Х. А. Изменение запрещенной зоны в сплавах  $Ga_xIn_{1-x}As$  (при  $x < 0,1$  и  $x > 0,95$ ), № 8, стр. 20.

Алиев М. И., Халилов Х. А. Поглощение ИК-излучения свободными носителями в кристаллах  $Ga_{1-x}In_xAs$  ( $x < 0,05$ ), № 10, стр. 30.

Алиева М. Х., Абдуллаева С. Г., Гусейнов Г. Д., Алиев Т. И. Глубокие рекомбинационные центры в монокристаллах  $GaSe_xTe_{1-x}$  и связанная с ними излучательная рекомбинация, № 1, стр. 22.

Алиев Р. А., Гусейнов Г. Д., Сардарлы Р. М. Структурный фазовый переход в системе твердых растворов  $TlGa_xIn_{1-x}Se_2$ , № 7, стр. 23.

Горшков А. В., Заитов Ф. А., Исаев Ф. К. Механизм быстрой диффузии меди, серебра, золота и  $Cd_{0,2}Hg_{0,8}Te$ , № 4, стр. 14.

Горшков А. В., Заитов Ф. А., Исаев Ф. К., Шаляпина Г. М., Шангин С. Б., Асатурова И. С. Диффузия акцепторных примесей в  $Cd_{0,2}Hg_{0,8}Te$ , № 2, осн. 29.

Горшков А. В., Заитов Ф. А., Исаев Ф. К., Шаляпина Г. М., Шангин С. Б., Асатурова И. С. Механизмы миграции и внедрения олова в  $Cd_{0,2}Hg_{0,8}Te$ , № 3, стр. 4d.

Гусейнов А. Г., Аббасов А. С., Кульев А. А., Азизов Т. Х. Термодинамические свойства теллуридов гадолиния  $Gd_3Te_4$  и  $GdTe$ , № 5, стр. 31.

Гусейнов Г. Д., Багирзаде Э. Ф., Турсункулов Т. М., Джурраев Н. Д. Дифференциальные спектры поглощения и отражения монокристаллов  $TlInS_2$ , № 11, стр. 29.

Гусейнов Д. А., Керимов И. Г., Велиев Р. К., Садыхов Р. З., Алджанов М. А. Тепловые и упругие свойства  $CdInS_4$ , № 2, стр. 21.

Салаев Э. Ю., Абдинов Д. Ш., Мулана Л. Н., Новрузова Ф. М., Сеидли Г. С. Электрические свойства монокристаллов  $p-Cd_xHg_{1-x}Te$  при  $0,54 < x < 0,92$ , № 1, стр. 27.

Гусейнов Э. К., Казиев Ф. Н., Мамедов А. К., Салаев Э. Ю., Сеидли Г. С. Влияние магнитного поля на фотопроводимость монокристаллов  $Cd_xHg_{1-x}Te$ , № 7, стр. 32.

Джамалов Н. А., Бархалов Б. Ш., Фейзиев Я. С., Абдинов Д. Ш. Исследование адгезионных и электрических явлений на границе раздела монокристаллов твердого раствора с некоторыми контактными материалами, № 3, стр. 36.

Искендер-заде З. А., Бадалов А. З., Масимов А. З., Исмаилов Г. М., Джабарова Э. А., Алиханова Ш. А. Влияние электрического поля на фоточувствительность МДПДМ-структур, № 8, стр. 23.

Мамедов А. К., Салаев Э. Ю., Сеидли Г. С. Магнитоконцентрационный эффект в монокристаллах  $Cd_xHg_{1-x}Te$  ( $0,25 < x < 0,3$ ), № 3, стр. 32.

Нифтюев Г. М., Абушов С. А., Тагиев Б. Г. Особенности фотопроводимости легированных монокристаллов  $GaSe < Sn >$ , № 6, стр. 24.

Пашаев А. М., Аджалов А. Р., Асланов Г. А. Влияние поверхностных состояний на характеристики контакта алюминий—кремний, № 11, стр. 18.

Салаев Э. Ю., Алиев Т. Д., Джабарова Р. А. Экситонное поглощение йодидов пропилзамещенных аммония, № 9, стр. 31.

Салаев Э. Ю., Мамедов В. К., Джалилова Х. Д., Курбанова Э. И., Абдинов А. Ш. Разогрев носителей тока в эпитаксиальных пленках  $n = Pb_{0,82}Sn_{0,18}Te$  сильным электрическим полем СВЧ, № 7, стр. 28.

Шахтахтинский М. Г., Гусейнов Б. А., Курбанов М. А., Газарян Ю. Н., Гулиев А. Ю. Пироэлектрические свойства композита полизтилен—ЦТС, № 10, стр. 34.

Шахтахтинский М. Г., Мустафаев Н. Б. Диэлектрическая проницаемость и плазменные частоты сплавов  $Bi_{1-x}Sb_x$ , № 9, стр. 26.

## Физика полупроводников и диэлектриков

Бакиров М. Я., Гезалов Х. Б., Керимов М. К., Тихова Е. И., Исмайлова Р. С. Образование и накопление свободных радикалов в натуральном шелке под действием частичных разрядов, № 8, стр. 34.

Бакиров М. Я., Ухин Н. А., Абиеев А. К., Аббасов Ш. М., Гасумов Г. М. Действие электронного облучения на электрофизические свойства твердых растворов германия с кремнием, № 7, стр. 35.

Иванов-Омский В. И., Рустамов Р. Б., Смирнов В. А., Юлдашев Ш. У. Когерентное излучение с оптической накачкой в  $Cd_xHg_{1-x}Te$  на связанным экситоне, № 6, стр. 36.

Иванов-Омский В. И., Рустамов Р. Б., Смирнов В. А., Юлдашев Ш. У. Исследование фотолюминесценции в  $Cd_xHg_{1-x}Te$  с использованием связанных экситонов, № 7, стр. 39.

Салаев Э. Ю., Абдинов А. Ш., Аскеров К. А., Мамедов Ф. И., Сеидли Г. С. Электрические свойства облученных быстрыми электронами монокристаллов  $n = Cd_xHg_{1-x}Te$ , № 6, стр. 29.

Салаев Э. Ю., Джалилова Х. Д., Курбанова Э. И., Гусейнов Э. К. Структура и фотоэлектрические свойства эпитаксиальных слоев  $Pb_{1-x}Sn_xTe$  ( $0,15 < x < 0,3$ ), легированных индием, № 12, стр. 30.

Салаев Э. Ю., Сулейманов Р. А., Абдуллаев Н. А., Беленъкий Г. Л. Особенности электрон-фотонного взаимодействия в слоистом полупроводнике  $GaS$ , № 11, стр. 22.

## Физика магнитных явлений

Сеидов Ю. М., Гусейнов М. Б., Гусейнов Н. Г. Энергетический спектр анизотропного ферромагнетика с учетом мультиплетности атомных состояний, № 7, стр. 45.

Сеидов Ю. М., Гусейнов М. Б., Гусейнов Н. Г. Связанные состояния спиновых волн в одномерном ферромагнетике с учетом мультиплетности атомных состояний, № 8, стр. 28.

Сеидов Ю. М., Гусейнов М. Б., Гусейнов Н. Г. Одномагнитное и двумагнитное поглощения в изинговом ферромагнетике с биквадратным обменом, № 9, стр. 34.

Султанов Г. Д., Ибрагимов С. Г., Керимов И. Г., Алиев Н. Г. Ядерный гамма-резонанс в  $CoGaFeO_4$ , № 1, стр. 30.

## Физика твердого тела

Азизов Т. Х., Гарагашов А. А. Электрические и механические свойства монокристаллов селенида галлия, № 11, стр. 26.

Алиев А. М., Жернов А. П., Пашаев Х. М. Расчет микроконтактных функций магния, № 7, стр. 42.

## Теория твердого тела

Сеидов Ю. М., Сулейманов А. М. К теории двухмагнитного света в синглет-триплетных антиферромагнетиках, № 10, стр. 38.

Розенберг В. М. Трехфазная фильтрация многокомпонентной смеси, содержащей химреагент, в нефтяном пласте, № 8, стр. 62.

## Органическая химия

Алиев В. С., Ахундов А. А., Ризаев Р. Г., Гаджи-Касумов В. С., Талышинский Р. М., Баширов Н. А. Оптимизация адиабатического селекционированного реактора в процессе окислительного дегидрирования изопентан-изоамиленовых смесей, № 7, стр. 61.

Дашдамирова А. А., Мамедов Ф. М., Садыхова Х. И., Касумов Ш. Г., Шахтахтинский Т. Н. Каталитическое окисление в жидкой фазе изомеров метилциклогексена кислородом воздуха, № 7, стр. 58.

Камбаров Ю. Г., Алиев Р. М., Ахундова Р. Р., Таиров А. З. Исследование кинетики процесса получения бензола термической гидрогенизационной переработкой ароматических концентратов, № 1, стр. 40.

Мовсумзаде М. М., Алиев А. К., Алиев Н. Д., Гаджиева О. Б., Караев С. Ф. Синтез и исследование antimикробных свойств N-замещенных 4-амино-2-бутиниловых эфиров циклогексанола, № 8, стр. 43.

Муганлинский Ф. Ф., Гусейнов М. М., Умудов Т. А., Мона Али Юсеф Табит, 5,5-диметокситетрахлорцикlopентадиена с аллиловым эфиром о-хлорбензойной кислоты, № 1, стр. 45.

Мурсакулов И. Г., Касумов Н. К., Байрамов А. А., Самошин В. В., Гусейнов М. М., Зефиров Н. С., Гулиева К. А. Конформационный анализ бутиленкеталей 2-замещенных циклогексанонов, № 12, стр. 48.

Насиров А. Б., Рзаев Б. З., Кулев Р. Ю. Синтез фенил- и параметилфенилэтиленгликоловых эфиров стибовой кислоты, № 6, стр. 51.

Рзаев А. С., Гасымова Я. Д., Алексперов Р. К. Синтез и исследование некоторых производных  $\beta$ -алоксиметоксиэтилметакрилатов, № 10, стр. 43.

Рзаев А. С., Гасымова Я. Д., Алексперов Р. К. Синтез и исследование некоторых производных 2,3-дибром-1,4-бутандиола, № 12, стр. 43.

Рустамов М. И., Ибрагимова С. М., Худиев А. Т., Фархадова Г. Т. Влияние условий осаждения геля на свойства цеолитсодержащих катализаторов, полученных на его основе, № 3, стр. 47.

Садых-заде С. И., Кулев Л. Г., Мустафаев Р. М., Мамедов С. М. Каталитическое присоединение диорганиосилианов к диметилацетилкарбинолу, № 5, стр. 41.

Хабиб Рахман Тухи, Караев С. Ф., Гусейнов Ш. О., Мовсумзаде М. М. 1- $\beta$ -бромфенил-3-бутин-1-ол и его производные, № 2, стр. 38.

Шахгельдинев М. А., Алиев И. А., Агаев Э. А. Электронные эффекты в ароматических соединениях элементов VI группы. Электродонорные свойства сelenоэфиров, № 6, стр. 47.

Шахтахтинский Т. Н., Алиева Т. С., Шик Г. А., Гаджиева О. Б., Самедов А. С. Исследование antimикробной активности ароматических нитрилов и их производных, № 12, стр. 50.

Шихалиев Ш. М., Зейналов Ф. К., Новрузов С. А., Ибрагимов Н. Ю. Синтез и исследования аминометильных производных сложных эфиров оксибензойных кислот, № 8, стр. 48.

## Неорганическая химия

Аннагиев М. Х., Зульфугаров З. Г., Джавадов М. Н., Насибов М. М., Сардарлы А. М. Очистка этиленового спирта от сернистых соединений адсорбентами, приготовленными на основе природных цеолитов, № 12, стр. 53.

Зульфугарлы Дж. И., Агаев А. Б., Азадалиев Р. А., Алиева У. Р. Получение и исследование некоторых электрофизических свойств твердых растворов системы CdTe-Gd<sub>2</sub>Te<sub>3</sub>, № 10 стр. 48.

Фам Ван Нъеу, Бабанлы М. Б., Кулев А. А. Фазовые равновесия в системе Tl<sub>4</sub>GeS<sub>4</sub>-Tl<sub>4</sub>SnS<sub>4</sub>, № 9, стр. 47.

Шахтахтинский Г. Б., Ахмедов М. М., Агаев А. И. Исследование процесса высокотемпературного восстановления сернистого ангидрида метаном в присутствии водяного пара, № 11, стр. 45.

Шахтахтинский Г. Б., Шакаров Г. А., Гейдаров А. А. Исследование условий извлечения галлия при гидрохимической переработке цинкового кека, № 4, стр. 30.

## Физическая химия

Абдуллаев А. Г., Гусейнова М. С., Ибрагимов Т. Д. Математическая модель процесса электрохимического осаждения CdHgTe, № 6, стр. 40.

## Теоретическая физика

Гаджиев Б., Гашимзаде Ф. М. Ренорм-групповой анализ фазового перехода в системе с двухкомпонентным параметром порядка, № 4, стр. 22.

## Молекулярная физика

Абилова Т. С., Данг Суан Хай, Алиев Р. Э., Ахмедов Р. М. ИК-спектры и нормальные колебания конформационных изомеров  $\beta$ -диметиламиноизобутиронитрила (ДМАИБН) и  $\beta$ -диметиламинообутиронитрила (ДМАОН), № 9, стр. 38.

## Молекулярная спектроскопия

Абилова Т. С., Данг Суан Хай, Алиев Р. Э. Конформационные изомеры и ИК-спектры молекул  $\beta$ -аминообутиронитрила и  $\beta$ -аминоизобутиронитрила, № 1, стр. 34.

## Астрономия

Цирульник Л. Б. Магнитогидродинамическая модель некоторых нестационарных явлений на Солнце, № 3, стр. 15.

## Радиоастрономия

Аббасов А. Р., Гусейнов Ш. Ш. Спектрально-временной анализ радиоизлучения Солнца на длине волн  $\lambda$ -3 см, № 11, стр. 35.

## Астрофизика

Сейдов З. Ф. Движение свободной частицы во Фридмановском мире, № 7, стр. 51.

## Квантовая электроника

Карамалиев Р. А., Дао Суан Хай. Автомодуляция добротности и генерация коротких импульсов в лазерах с распределенной обратной связью, № 8, стр. 31.

## Кибернетика

Кадымов Я. Б., Мамедов А. И., Рахманов Ф. Г. Расчет переходных процессов в сложных системах магистральных газопроводов, № 1, стр. 10.

Ханмамедов О. К. Об управляемости робототехнической системы № 5, стр. 3.

## Техническая кибернетика

Каджаров М. В. Классификация систем обеспечения живучести со структурным резервированием, № 12, стр. 27.

Мамедов А. И., Гашимов Э. А. Численный метод расчета переходных процессов в промысловом газопроводе при различных режимах, № 10, стр. 21.

## Энергетика

Кулев З. Я. Алгоритмы формирования уравнений переменных состояния электрических цепей с распределенными параметрами, № 9, стр. 44.

## Электротехника

Гасанов Э. И. Обобщенный тестово-дифференциальный алгоритм повышения точности информационно-измерительных систем, № 6, стр. 32.

## Кристаллография

Аманов А. З., Нашивили Д. А., Шнулин А. Н., Гусева Н. И., Ахундова А. А., Порай-Кошиц М. А. О кристаллической и молекулярной структуре ди-йода-бис-(2-амино-пиридина)-цинка (II), № 7, стр. 55.

Гусейнов Г. Г., Амирзов А. С., Амиррасланов И. Р., Мамедов Х. С. Кристаллическая структура CuSmS<sub>2</sub>, № 10, стр. 62.

Гусейнов Г. Г., Амиррасланов И. Р., Юсифов Ю. Г., Мамедов Х. М. Кристаллическая структура DyCr<sub>3</sub>S<sub>6</sub>, № 11, стр. 40.

**Алиев И. Я., Мустафаев Ф. М., Багирова С. Д., Аббасов А. С.** Термодинамическое исследование системы  $\text{Cr}_2\text{S}_3$ — $\text{Cd}_2\text{S}_3$ , № 12, стр. 37.

**Багиров А. И., Нуриев А. Н., Рустамов С. М.** Регенерация анионитовых колонн, насыщенных тетраборат-ионом, № 4, стр. 34.

**Багирова С. Д., Аббасов А. С., Мустафаев Ф. М., Алиев И. Я.** Термодинамические свойства твердых сплавов  $\text{Ag}_2\text{Te}_x\text{Se}_{1-x}$ , № 8, стр. 39.

**Гусейнов М. М., Зейналов Б. Э., Велиева К. У., Масталиева Х. А.** О соотношении кинетических параметров при ингибированном окислении с использованием модельной реакции, № 11, стр. 54.

**Гусейнов М. М., Зейналов Э. Б., Трифель Б. Ю., Керимова В. А.** О применении модельных цепных реакций для количественного анализа антиоксидантов в полимерах, № 10, стр. 51.

**Мусаева Н. Ф., Гасanova А. А., Салахов М. С.** Кинетика и механизм реакции дисновой конденсации гексахлорциклогептадиена с циклическими дисенофилами, № 3, стр. 44.

**Мусаева Н. Ф., Салахов М. С., Сулайманов С. Н., Байрамов А. А.** Комплексы с переносом заряда в реакции  $\pi 4s + \pi 2s$  циклоприсоединения гексахлорциклогептадиена к N-арилимидам 1,2-дикарбоновых кислот, № 5, стр. 37.

**Салахов М. С., Мусаева Н. Ф., Салахова Р. С., Мамедов Э. Ш.** Полярографическое исследование кинетики процесса растворения четыреххлористого селена в ацетоне, № 6, стр. 43.

**Тагиев, Д. Б., Гасымов Г. О., Зульфугаров З. Г.** Исследование кинетики окислительного дегидрирования этилбензола на магнийсиликателе, № 11, стр. 59.

**Ханкишиев Р. Р., Мир-Гашимов Ф. М., Алиев Б. М., Кулиев А. Д., Алиев Ф. В., Шахтахтинский Т. Н.** Спектрофотометрическое исследование магнийферритсодержащего катализатора, № 12, стр. 39.

### Химия нефти и нефтехимический синтез

**Рахими М. С., Мехтиев С. И., Тагиев Р. Б., Шихализаде П. Д.** Получение N-(додецил)-метакриламида, № 1, стр. 50.

**Ризаев Р. Г., Гаджи-Касумов В. С., Талышинский Р. М., Азизов А. Г., Гусейнов Э. М.** Кинетический анализ суммарного стехиометрического уравнения каталитического одностадийного окислительного дегидрирования n-бутиана в дивинил, № 8, стр. 58.

**Садыхов К. И., Агаев А. Н., Велиева С. М., Акчурна Т. Х., Гусейнзаде С. М.** Исследование термической стабильности сульфонатных присадок, № 11, стр. 64.

**Талышинский Р. М., Гаджи-Касумов В. С., Ризаев Р. Г., Ахундов А. А., Гусейнов Э. М.** Инверсия базиса итоговых маршрутов сложных химических реакций, № 10, стр. 59.

### Геохимия нефти

**Бабаев Ф. Р.** К геохимии нефти морских месторождений Азербайджана, № 8, стр. 55.

### Химия нефти

**Гусейнов М. М., Зейналов Э. Б., Трифель Б. Ю., Велиева К. У., Масталиева Х. А.** Исследование ингибирующей активности нефтяных антиоксидантов Бибиэйбатского месторождения, № 4, стр. 39.

### Химия высокомолекулярных соединений

**Кулиев А. М., Ахмедов А. И., Левшина А. М.** Сополимеризация децилметакрилата с малениновым ангидридом, № 9, стр. 56.

**Мамедов Б. А., Рагимов А. В., Гусейнов С. А., Лиогонький Б. И.** Радикальные процессы, протекающие при окислении олигогидрохинона в щелочной среде, № 7, стр. 65.

**Рагимов А. В., Мамедов Б. А., Гусейнов М. М., Гусейнов С. А.** Синтез и исследование полирадикалов нафтосильного типа, № 12, стр. 57.

**Садыхов З. А., Кулиева С. Р., Бадалов А. Б.** Влияние фенолов на термоокислительную деструкцию полизобутилена, № 5, стр. 46.

### Химия полимеров

**Алигулиев Р. М., Оганян В. А., Хитеева Д. М., Ахундова Ф. А., Джумашудов Ф. И., Бабаханов Р. А.** Математическое описание деформационных свойств эластомерных композитов в широком интервале растяжения, № 9, стр. 51.

## Нефтехимия

**Дадашев Б. А., Сарыджанов А. А., Кадырова А. А., Мехралиева Л. А.** Превращение толуола на CO-форме цеолита типа Y, модифицированной переходными элементами, № 9, стр. 59.

**Мехтиев С. Д., Алимарданов Х. М., Дамиров М. М.** Окислительное дегидрирование метилциклогептана в присутствии алюмомедного катализатора, № 2, стр. 47.

### Геохимия

**Гаврилюк П. С., Магриби А. А., Агакишиев А. М.** О сeleno- и telluroносности халькопирита в медных рудах Кызылбулагского месторождения (Малый Кавказ), № 2, стр. 42.

**Дадашев А. М., Галант Ю. Б.; Мамедова С. А.** Газоносность Кацаагского колчанико-полиметаллического месторождения (южный склон Большого Кавказа), № 3, стр. 51.

**Дадашев Ф. Г., Дадашев А. М., Галант Ю. Б., Мамедова С. А., Брескина Г. Л.** Поиски тектонических нарушений в районе строительства Вайхирского водохранилища Нахичеванской АССР № 9, стр. 66.

### Агрономия

**Гюльхамедов А. Н., Агаев Н. А., Азимов А. М.** Распространение цинка в почвах подгорной равнины Карабахской степи Азербайджанской ССР, № 10, стр. 65.

**Гюльхамедов А. Н., Агаев Н. А., Халилова А. А.** Влияние йода и селена на урожай и качество винограда в условиях Ханларского района (Малый Кавказ) Азербайджанской ССР, № 6, стр. 56.

**Гюльхамедов А. Н., Азимов А. М., Агаев Н. А., Агаева Т. М.** Содержание подвижного марганца в почвах подгорной равнины Карабахской степи Азербайджанской ССР, № 12, стр. 65.

### Химическая кинетика

**Абаскулиев В. А., Абилов А. Г., Писаренко В. Н.** Об одном методе нелинейного оценивания параметров в задачах химической кинетики, № 10, стр. 55.

### Аналитическая химия

**Джафарова Э. З., Шабанов А. П.** Экстракционно-атомно-абсорбционное определение серебра с 1-бензил-1-аза-4-оксациклооктаном, № 11, стр. 68.

### Геология

**Абдуллаев Р. Н., Мустафаев Г. В., Багирбекова О. Д., Мустафаев М. А.** К эволюции интрузивного магматизма Шамхорского поднятия (Малый Кавказ), № 3, стр. 56.

### Геология нефти

**Агамирзоева Э. А., Гусейнова Т. А., Рагимова Г. Х.** Окислительно-восстановительный потенциал и водородный показатель нефти площади Сиазань — Нардарай, № 2, стр. 53.

**Салаев С. Г., Авербух Б. М., Чиковани Э. В.** Геологические условия формирования неструктурных ловушек в палеоген-миоценовых отложениях междууречья Куры и Иори, № 1, стр. 55.

### Палеонтология и стратиграфия

**Алиюлла Х., Бабаев Ш. А., Кошкарлы Р. О., Шихлинский С. А.** Расчленение разреза за Парадаш (Нах. АССР), № 2, стр. 55.

**Асланов Ш. Б.** К стратиграфическому расчленению аптских отложений юго-восточного окончания Большого Кавказа, № 5, стр. 54.

### Геофизика

**Раджабов М. М.** Возможные скоростные модели среды, вызывающие аномалию амплитуд преломленных волн, № 4, стр. 45.

## Литология

Султанов А. Д., Набиев М. Г., Меликова А. И., Салимова Ш. М. Характеристика и распределение малых химических элементов в эоценовых отложениях Нахичеванской АССР, № 4, стр. 53.

## Тектоника

Будагов Б. А., Микаилов А. А., Ализаде Э. К., Алиев А. С. Морфоструктурные особенности района распространения Баскальского покрова, № 1, стр. 61.

## Геотектоника

Алиев Г. Р. Геотермическая характеристика Апшероно-Прибалханская зоны морских поднятий, № 12, стр. 70.

## Гидрометеорология

Мамедов М. А. Анализ пространственной корреляционной функции суточного максимума осадков Кавказа, № 5, стр. 49.

## Почвоведение

Алиев С. А., Аббасов Ф. Г., Гаджиев Д. А. Микробиологическая характеристика серо-бурых почв Апшерона в севообороте, № 3, стр. 65.

Мусаев Б. Т. Сравнительное рассмотрение температурного режима характерных типов почв Азербайджанской ССР, № 4, стр. 58.

Нуриева З. Н. К позиции национального капитала в промышленности г. Баку в начале XX века, № 11, стр. 91.

Пономарев Д. Г., Надиров Ф. Т., Акперов И. А. Уравнение теплового обмена почвы, № 11, стр. 86.

## Агрохимия

Гюльхмедов А. Н., Агаев Н. А., Халирова А. А. Влияние цинка и кобальта на урожай и качество клубней картофеля в условиях Шамхорского района Азербайджанской ССР (Малый Кавказ), № 5, стр. 57.

Гюльхмедов А. Н., Азимов А. М., Агаев Н. А., Агаева Т. М. Применение цинка под кукурузу на светло-каштановых почвах, № 11, стр. 75.

## Мелиорация почв

Гусейнов Г. Г. Модуль дренажного стока в условиях ленкоранской Мугани, № 10, стр. 68.

Сулейманов Н. Р. О методе определения дозы внесения полимеров в целях улучшения водно-физических свойств трудномелиорируемых глинистых солончаков, № 7, стр. 78.

## Физиология растений

Абуталыбов М. Г., Али-заде В. М., Ганиев В. М. Участие кальция в регуляции электротенеза растительных клеток, № 3, стр. 70.

Алиев Д. А., Адыгезалов В. Ф., Рагимов В. И. Влияние интенсивности света и ингибиторов фотосинтетических процессов на фотонизуированные биоэлектрические потенциалы и интенсивность фотосинтеза листьев высших растений, № 4, стр. 62.

Алиев Д. А., Гулиев Н. М., Азизов И. В. Влияние иона бикарбоната на активность фотохимических реакций изолированных хлоропластов из листьев пурпур, № 8, стр. 73.

Али-заде М. А., Галустян Д. С., Мамедова А. Д. Показатели гетерозисного эффекта у гибридов первого поколения томатов и содержание ДНК в соматической клетке, № 2, стр. 69.

## Растениеводство

Алиев С. А., Шихов М. А., Захидова Б. Б. Влияние минеральных удобрений на формы азота, качественный и количественный состав связанных аминокислот в надземной части люцерны, № 8, стр. 69.

## Систематика растений

Аскеров А. М. *Phegopteris FEE* — новый род папоротников для флоры Азербайджана, № 8, стр. 79.

## Генетика

Абдуллаев И. К., Алиев М. О. Высокополиплоидный плодовый сорт Хар-тут улучшенный, № 12, стр. 75.

Абдуллаев И. К., Ширалиева Л. А., Велиева Т. З. Изучение вегетативных и генеративных органов новых 168-хромосомных форм Тозхар-тура, № 3, стр. 60.

Алиев С. А., Алекперов У. К., Аскеров И. Т., Меджидов М. М., Рзаева С. А., Велиев Н. М. Действие гуминовой кислоты на миготическую активность клеток меристем корешков *Al fistulosum L.*, № 1, стр. 66.

Мехти-заде Э. Р., Нагиева Д. Н., Алекперов У. К. Цитогенетическая активность ауксина, № 2, стр. 59.

Раси-заде Г. М. Цитогенетический анализ эгилопсово-пшеничного гибрида в  $F_1$  и  $F_2$ , № 6, стр. 66.

## Цитогенетика

Межлумов Ф. К., Мамедов М. И. Цитогенетическое исследование пшеничино-ржаных гибридов, № 7, стр. 70.

## Ботаника

Аббасова В. С. К структурной специализации проводящей системы папоротников Талыша, № 6, стр. 72.

Асадов К. С. Некоторые редкие деревья и кустарники Нахичеванской АССР, № 11, стр. 83.

Ахмед-заде Ф. А., Гусейнова Н. А. Сравнительно морфолого-эмбриологическое разви-

тие женского гаметофора некоторых представителей рода *Teucrium L.*, № 2, стр. 62.

Курбанов М. Р. Рентгенографическая оценка качества семян хеномелеса, формирующихся в сухих субтропических условиях Апшерона, № 10, стр. 72.

Курбанов М. Р. Изменчивость качества семян бересклета японского в зависимости от места формирования их на материнском растении, № 11, стр. 79.

Майлар А. И., Атамов В. В. Кормовая ценность и емкость типов пастбищ Азербайджана, № 2, стр. 65.

Новрузов В. С. Реликты во флоре лишайников Большого Кавказа (в пределах Азербайджана), № 5, стр. 72.

## Прикладная ботаника

Касумов М. А. Новые пищевые красители для масложировой, бисквитной, кара-

мельной и ликероводочной промышленности, № 1, стр. 69.

Касумов М. А. Красный краситель из шток-розы и его использование в пищевой промышленности, № 6, стр. 76.

## Молекулярная биология

Ахундов В. Ю., Асадуллаев М. Б., Абдуллаев Ф. И., Абдуллаев М. М., Лазымова З. А. Изучение действия селенита натрия на репродукцию вируса гриппа (сообщение 1), № 5, стр. 62.

## Микробиология

Ахундов В. Ю., Гусейнов М. М., Велиев М. Г., Мейбалиев Т. М., Мамедов Э. Ш. Антимикробная активность новых полихлорбициклических соединений ацетиленового ряда и возможность применения их в медицине, № 9, стр. 74.

## Биохимия

Новрузов Э. Н., Асланов С. М. Некоторые данные о химическом составе зрелых плодов Бузины травянистой, № 6, стр. 61.

Талышинский Г. М. Изучение активности амилазы и аланиндеидрогеназы в плодиках шелковицы различной степени пloidности, № 12, стр. 61.

## Биофизика

Курбанов К. Б., Касумов К. М.: Индукция флуоресценции у листьев пшеницы, отличающейся по урожайности, № 11, стр. 71.

## Зоология

Султанов Э. Г. Песня птиц как маркер популяций, № 9, стр. 70.

## Паразитология

Садыхов И. А., Чобанов Р. Э., Сафиева Л. А. Обнаружение нематоды *Strongyloides* в кишечнике человека, № 5, стр. 67.

Фархадов К. Т. Моллюски и их роль в распространении протостронгилиозов в Нахичеванской АССР, № 7, стр. 74.

## Медицина

Алиева З. А., Шульпина Н. Б., Грачева Г. В. Клинические особенности и лечение хронической иридоцилиарной дистрофии, № 3, стр. 74.

Курбанов Я. З., Аширов М. Г., Субботина С. М., Бабаев А. З. Влияние лития карбоната на перекисное окисление липидов крови и печени, № 1, стр. 75.

Мусаев З. М., Суворов Ю. И. Водные пространства организма у больных гипертонической болезнью, № 12, стр. 79.

## Литературоведение

Абадзаде М. И. Типологическое сопоставление «Расказа о Бамсы-Бейреке, сыне Кан-Буры» из азербайджанского эпоса «Китаби Деде-Коркут» и гомеровской «Одиссии», № 1, стр. 77.

Габибов И. Еще об одном современнике Джалила Мамедкулизаде, № 2, стр. 72.

Гафар Кендли, Хагани Ширвани и Ходжа Имададдин Имад, № 4, стр. 70.

Зейналов А. Об одной странице из истории издания «Экинчи», № 4, стр. 66.

Юсубова Т. Некоторые особенности творчества Окюмы Биллури, № 8, стр. 85.

## Языковедение

Абдуллаева К. М. К членению предложения в азербайджанском языке, № 1, стр. 81.

Каргаманова Г. В., Зейналова З. С. Семантико-синтаксическая валентность азербайджанского глагола «кэтиrmək», № 2, стр. 77.

Муршудов Я. М. Некоторые интонационные особенности сложносочиненных предложений с причинно-следственными отношениями (на материале немецкого и азербайджанского языков), № 12, стр. 84.

## Архитектура

Байрамов Р. М. О многофункциональности в пределах единой объемно-пространственной структуры (на примере караван-сарай, хана, медресе, больницы), № 11, стр. 95.

## Философия

Агаев И. А. К вопросу об антикреационистской направленности космологии и антропологии «Братьев чистоты» (ихван ас-сафа'), № 3, стр. 81.

## Топонимика

Гейбуллаев Г. А. К происхождению этнонима «кингилой», № 3, стр. 84.

Гейбуллаев Г. А. К выяснению этнической принадлежности некоторых племен в Кавказской Албании (сильы, лбины, джигбы), № 12, стр. 92.

Керимов С. К. Об ойконимах Зар, Папы и Гаджигервенд, № 10, стр. 85.

## История

Бадирбейли Р. Три польских источника о внешней политике Узун-Хасана, № 10, стр. 77.

Байрамов З. Х. Даруга в сефевидском государстве и роль его в системе городского управления, № 6, стр. 80.

Мирзоева Э. Г. К изучению института Хиеба (Мухтасибата) (по сочинению Дия ад-Дина Мухаммада ал-Кураши «Ма'алим ал-курба фи ахкам ал-хисба»), № 5, стр. 76.

Шабанов Ф. Ш., Дадашев Т. П. Публикация трудов туркологов Азербайджана в зарубежной печати, № 10, стр. 82.

## Археология

Алиев А. А., Кошкарлы К. О. Первичные сведения о памятнике Джанахар, № 5, стр. 81.

Алиев Т. Р. Предварительное сообщение о поселении Рустапе, № 6, стр. 85.

Ахундов Т. И., Аразова Р. Б. Поселение Кучумхантепе в Кусарском районе, № 9, стр. 78.

Ибрагимов В. И. Нововыявленный мавзолей XII в. в Хараба-Гилане, № 7, стр. 87.

Рамазанов Г. Х. Фрагмент китайской фарфоровой чаши из Кабалы, № 9, стр. 83.

Халилов М. Дж. Фрагменты каменных изваяний из Нафталана, № 12, стр. 88.

## Текстология

Ругия Ганбар кызы. О научно-критическом издании дивана Муджиреддина Бейлакани, № 7, стр. 82.

## История науки

Алиева Л. Г. Из истории употребления мышьяка в XII веке (по материалам Хубайша Тифлиси и др.), № 4, стр. 74.

Алиева Л. Г., Селимханов И. Р. О меди в трудах Хубайша Тифлиси «Байан ас-сан'a'at» и ее употреблении, № 9, стр. 87.

## Этнография

Ахмедова В. А. О некоторых обычаях и обрядах, связанных с хлебом, в Азербайджане, № 8, стр. 82.

## Биокимја

*Н. Т. Талышински.* Плондиллик дәрәчеси илә элагәдар олараг тут биткисинин мејвәләриндә амилаза вә аланиндеңидрокеназа ферментләринин фәаллығының өјрәнилмәси

61

## МҮНДӘРИЧАТ

### Ријазијјат

*Р. О. Эфандиев.* Хәтти операторларын төрәмәје јығылмасы шәртләри нағында

3

*В. Б. Шаймурев.* Абстрак анизотроп фәзларда дахилолма операторуның кәсилмәлини вә компактлығы нағында теоремләр

7

*Р. Д. Элијев.* Һамар олмаян сорһадлы гејри-силиндрик областларда парabolик тәнилләр учун үмумиләшмиш Пуанкарә (Нејман) мәсәләси

12

*А. Е. Кади.* Чубугун рәгс тезлији учун гојулмуш бир гарышыг мәсәләнин һәлли

17

### Механика

*А. И. Абдуллајев.* Дишли чарх өтүрмәснин контакт меңкәмлијинә дәгиг-ләшдирилмиш һесабы

21

### Техники кибернетика

*М. В. Гачаров.* Јашамасы тә'мин едилән структур резервли системләрин тәснифаты

27

### Јарымкечиречиләр физикасы

*Е. І. Салајев, Х. Д. Чәлилова, Е. И. Гурбанова, Е. К. Һүсејнов.* Pb<sub>1-x</sub>Sn<sub>x</sub>Te (0,15 < x < 0,3) спитаксиал тәбәгәснин гурулушу вә фотоелектрик ҳассәләри

30

*Ч. Ш. Абдинов, Ф. М. Новрузова, Ел. І. Салајев, Һ. С. Сейидли, Э. Ш. Абди-нов.* Cd<sub>x</sub>Hg<sub>1-x</sub>Te (0,54 < x < 0,9) монокристалларында гејри-тараз јүкдашыјы-чыларын рекомбинасијасы

33

### Физики кимја

*И. І. Элијев, Ф. М. Мустафајев, С. Д. Бағырова, А. С. Аббасов.* Cr<sub>2</sub>S<sub>3</sub>—Cd<sub>2</sub>S<sub>3</sub> системинин термодинамик тәдгиги

37

*Р. Р. Ханкишиев, Ф. М. Мирхәшилов, Б. М. Элијев, А. Д. Гулијев, Ф. В. Элијев, Т. Н. Шаңтахтински.* Магнезиум-феррит тәркибли катализаторун спектро-фотометрик тәдгиги

39

### Үзви кимја

*Ә. С. Рзајев, Й. Ч. Гасымова, Р. Г. Әләкәров.* 2,3-дибром-1,4-бутандиолун бә'зи төрәмәләринин синтези вә тәдгиги

43

*И. И. Мурсагулов, Н. Г. Гасымов, А. Э. Бајрамов, В. В. Самошин, М. М. Һү-сејнов, Н. С. Зефироев, К. А. Гулијева.* 2-әвәзолуимуш сиклохексанларын бутилен кеталларынин конформасија анализи.

48

### Физики кимја

*М. Х. Әннағыјев, З. Һ. Зулфугаров, М. Н. Чавадов, М. М. Нәсибов, А. М. Сәрдарлы.* Табии сеолит әсасында һазырланимыш адсорбентләр үзәриндә етил спирттинн күкүрд бирләшмәләриндән тәмизләнмәси

53

### Јүксәмлекујар бирләшмәләрин кимјасы

*Ә. В. Рәhimов, Б. Э. Мәммәдов, М. М. Һүсејнов, С. Э. Һүсејнов.* Нафтоксил типли полирадикалларын синтези вә тәдгиги

57

## Агрокимја

*Ә. Н. Құләһмәдов, А. М. Әзимов, Н. А. Агајев, Т. М. Агајева.* Азәрбајҹан ССР Гарабағ дүзү дағәтәји дүзәнлији торпагларында мүтәһәрrik манганины мигдары

65

## Кеотектоника

*Г. Р. Элијев.* Абшерон-Балханъяны дәнiz галхымлары зонасының қеотермик хүсусијјотләри

70

## Кенетика

*И. К. Абдуллајев, М. О. Элијев.* Јүксәк полиплондли јахышлашдырылмыш харттурт мејвәллик тут сорту

75

## Тибб

*З. М. Мусајев, Й. И. Суворов.* Һипертонија тутулмуш хәстәләрин организминдә су саһәләри

79

## Дилчилик

*Ж. М. Муршүдов.* Сәбәб-иәтичә элагәли табесиз мүрәккәб чүмләләрин бә'зи интонасија хүсусијјатләри

84

## Археолокија

*М. Ч. Хәлилов.* Нафталандан тапылмыш даш һејкәл фрагментләри

89

## Топонимика

*Г. Э. Гејбуллајев.* Гафгаз Албанијасының бә'зи тајфаларының типик мәнсүбийјетиниң ајдылашдырылмасына дайр

93

## Биохимия

Г. М. Талышинский. Изучение активности амилазы и аланиндинегидрогеназы в соплодиях шелковицы различной степени пloidности . . . . . 61

## Агрономия

А. Н. Гюльхамедов, А. М. Азимов, Н. А. Агаев, Т. М. Агаева. Содержание подвижного марганца в почвах подгорной равнины Карабахской степи Азербайджанской ССР . . . . . 65

## Геотектоника

Г. Р. Алиев. Геотермическая характеристика Апшероно-прибалханской зоны морских поднятий . . . . . 70

## Генетика

И. К. Абдуллаев, М. О. Алиев. Высокополиплоидный плодовый сорт Хар-тут улучшенный . . . . . 75

## Медицина

З. М. Мусаев, Ю. И. Суворов. Водные пространства организма у больных гипертонической болезнью . . . . . 79

## Языкоизучение

Я. М. Муршудов. Некоторые интонационные особенности сложно-сочиненных предложений с причинно-следственными отношениями . . . . . 84

## Археология

М. Дж. Халилов. Фрагменты каменных изваяний из нафталана . . . . . 89

## Топонимика

Г. А. Гейбуллаев. К выяснению этнической принадлежности некоторых племен в Кавказской Албании . . . . . 93

## СОДЕРЖАНИЕ

### Математика

Р. О. Эфендиев. Об условиях сходимости линейных операторов к производным . . . . .

3

В. Б. Шахмурров. Теоремы о непрерывности и компактности оператора вложения в абстрактных анизотропных пространствах . . . . .

7

Р. Д. Алиев. Обобщенная задача Пуанкаре (Неймана) для параболических уравнений в цилиндрических областях с негладкой границей . . . . .

12

А. Эль Кади. Решение одной смешанной задачи для уравнения колебаний стержня . . . . .

17

### Механика

А. И. Абдуллаев. Уточненный расчет зубчатых передач на контактную прочность . . . . .

21

### Техническая кибернетика

М. В. Каджаров. Классификация систем обеспечения живучести со структурным резервированием . . . . .

27

### Физика полупроводников

Э. Ю. Салаев, Х. Д. Джалилова, Э. И. Курбанова, Э. К. Гусейнов. Структура и фотоэлектрические свойства  $(Pb_{1-x}Sn_xTe)$  ( $0,15 < x < 0,3$ ) легированного индием . . . . .

30

Д. Ш. Абдинов, Ф. М. Новрузова, Эль. Ю. Салаев, Г. С. Сеидли, А. Ш. Абдинов. Рекомбинация неравновесных носителей тока в  $Cd_xHg_{1-x}Te$  при  $0,54 < x < 0,92$  . . . . .

33

### Физическая химия

И. Я. Алиев, Ф. М. Мустафаев, С. Д. Багирова, А. С. Аббасов. Термодинамическое исследование системы  $Cr_2S_3-Cd_2S_3$  . . . . .

37

Р. Р. Ханкишиев, Ф. М. Мир-Гашимов, Б. М. Алиев, А. Д. Кулев, Ф. В. Алиев, Т. Н. Шахтахтинский. Спектрофотометрическое исследование магнийферрита содержащего катализатора . . . . .

39

### Органическая химия

А. С. Рзаев, Я. Д. Гасымова, Р. К. Алекперов. Синтез и исследование некоторых производных 2,3-дигром-1,4-бутандиола . . . . .

43

И. Г. Мурсакулов, Н. К. Касумов, А. А. Байрамов, В. В. Самошин, М. М. Гусейнов, Н. С. Зефиров, К. А. Гулиева. Конформационный анализ бутеникеталей 2-замещенных циклогенсанонов . . . . .

48

### Физическая химия

М. Х. Аннагиев, З. Г. Зульфугаров, М. Н. Джазадов, М. М. Насибов, А. М. Сардарлы. Очистка этилового спирта от сернистых соединений адсорбентами, приготовленными на основе природных цеолитов . . . . .

53

### Химия высокомолекулярных соединений

А. В. Рагимов, Б. А. Мамедов, чл.-корр. АН АзССР М. М. Гусейнов, С. А. Гусейнов. Синтез и исследование полирадикалов нафтоксильного типа . . . . .

57

9. Текст статьи печатается на белой бумаге через два интервала на одной странице листа стандартного размера, с полями с левой стороны (не более 28 строк на одной странице по 58—60 знаков в строке). В тексте нельзя делать рукописные вставки и вклейки.

Статьи, напечатанные на портативной машинке, не принимаются.

10. Текст статьи должен быть изложен кратко, тщательно отредактирован и подписан авторами в печать. В математических статьях желательно избегать доказательств теорем, лемм и т. п. При использовании в тексте сокращенных названий (кроме общепринятых) необходимо давать их расшифровку.

11. Математические и химические формулы и символы в тексте должны быть написаны четко. Следует избегать громоздких обозначений, применяя, например, дробные показатели степени вместо радикалов, а также  $\exp$ . Записываемые формулы обязательно выключаются в красную строку, номер формулы ставится у правого края страницы. Желательно нумеровать лишь те формулы, на которые имеются ссылки. Подстрочные и надстрочные индексы и степени следует отмечать карандашом, дугами сверху и снизу:

$\alpha^n$ ,  $\tau_0$

Греческие буквы нужно обводить (в кружок) красным карандашом. Буквы готического шрифта и рукописные в рукописях не использовать, векторные величины — подчеркивать черным, буквы латинского рукописного шрифта следует отметить на полях (например,  $H$  рукоп.).

Во избежание ошибок следует четко обозначать прописные (заглавные) и строчные буквы латинского алфавита, имеющие сходное начертание ( $Cc$ ;  $Kk$ ;  $Pp$ ;  $Oo$ ;  $Ss$ ;  $Uu$ ;  $Vv$ ; и т. д.), буквы  $I(i)$  и  $J(j)$  букву  $I$  и римскую единицу  $I$ , а также арабскую цифру  $I$  и римскую  $I'$  (вертикальная черта),  $I$  и штрих в индексах,  $I$  (латинскую эль) и  $e$ . Прописные буквы подчеркивают карандашом двумя черточками снизу (С), а строчные — сверху (с.).

Следует избегать знаков типа  $\sim$  (волна),  $\odot$ ,  $\oplus$ ,  $\otimes$ ;  $\square$  |  $\Sigma$ ,  $\phi$ ,  $\vee$   $\wedge$

(крышки) над и под буквами, а также знаков:

$\hbar$   $\times$   $\in$ ,  $\int$ ,  $\oint$ ,  $\oint$ ,  $\pm$

Латинские названия вписываются на машинке.

Слова «теорема», «лемма», «следствие», «определение», «замечание» и т. п. следует подчеркивать штриховой чертой, а текст утверждений типа теорем — волнистой чертой (исключая математические символы).

При выборе единиц измерения рекомендуется придерживаться международной системы единиц СИ.

12. При описании методики исследования следует ограничиваться оригинальной ее частью. При элементном анализе приводить только усредненные данные.

13. Необходимо тщательно проверить написание местных географических названий.

14. Цитированная литература проводится общим списком на отдельной странице: ссылки в тексте даются порядковым номером в круглых скобках над строкой (например, !). Список литературы оформляется следующим образом:

для книг: инициалы и фамилии авторов, полное название книги, место и год издания;

для журнальных статей: инициалы и фамилии авторов, название журнала, номер тома, номер выпуска, страница и год издания.

Ссылки на неопубликованные работы не допускаются.

15. Все статьи должны иметь резюме на английском языке, кроме того статьи написанные на русском и азербайджанском языках должны иметь резюме на азербайджанском и на русском соответственно.

Публикация статьи в «Докладах» не препятствует напечатанию расширенного ее варианта в другом периодическом издании.

Сдано в набор 7. 12. 84. Подписано к печати 15. 03. 85. ФГ 00190. Формат бумаги 70×108<sup>1/16</sup>. Бумага типографская № 1. Гарнитура шрифта литературная. Печать высокая. Усл. печ. лист 9,1. Усл. кр.-отт. 9,1. Уч.-изд. лист 8,3. Тираж 620. Заказ 1654. Цена 70 коп.

Издательство „Элм“.

370143 Баку-143, проспект Нариманова, 31, Академгородок, Главное здание Типография „Красный Восток“ Государственного комитета Азербайджанской ССР по делам издательства, полиграфии и книжной торговли. Баку, ул. Ази Асланова, 80